

(12)



OFICINA ESPAÑOLA DE PATENTES Y MARCAS

ESPAÑA



(1) Número de publicación: 2 687 786

51 Int. Cl.:

TRADUCCIÓN DE PATENTE EUROPEA

C12N 15/62 (2006.01)
A61K 38/46 (2006.01)
C12N 9/16 (2006.01)
A61P 19/08 (2006.01)

A61P 19/08

Т3

96 Fecha de presentación y número de la solicitud europea: 21.04.2005 E 11000196 (3) 97 Fecha y número de publicación de la concesión europea: 25.07.2018 EP 2348114

(54) Título: Conjugados para administración ósea y procedimiento de uso de estos para dirigir proteínas al hueso

(30) Prioridad:

21.04.2004 US 563828 P 23.07.2004 US 590347 P 04.10.2004 US 614984 P

Fecha de publicación y mención en BOPI de la traducción de la patente: 29.10.2018

(73) Titular/es:

ALEXION PHARMACEUTICALS, INC. (100.0%) 100 College Street New Haven, CT 06510, US

(72) Inventor/es:

CRINE, PHILIPPE; BOILEAU, GUY; LEMIRE, ISABELLE y LOISEL, THOMAS P.

(74) Agente/Representante: PONS ARIÑO, Ángel

DESCRIPCIÓN

Conjugados para administración ósea y procedimiento de uso de estos para dirigir proteínas al hueso

5 CAMPO DE LA INVENCIÓN

La presente invención se refiere a ácidos nucleicos codificantes de conjugados para administración ósea.

Se describen composiciones para administración ósea que comprenden motivos peptídicos, modificados dentro de 10 la estructura de una proteína a través de tecnología de ADN recombinante para promover la unión a la matriz ósea.

ANTECEDENTES DE LA INVENCIÓN

Los avances tecnológicos en biología molecular, la producción de proteínas recombinantes y la purificación de proteínas a gran escala han permitido la producción de grandes cantidades de proteínas que ahora se utilizan como productos biofarmacéuticos. Por ejemplo, los anticuerpos monoclonales y las formas solubles del receptor TNF-α se han utilizado en el tratamiento de enfermedades autoinmunes, tales como la enfermedad de Crohn o varias formas de psoriasis (1). Otro ejemplo de uso de proteína recombinante es la terapia de reemplazo enzimático (ERT). La ERT se ha utilizado para tratar enfermedades de almacenamiento lisosómico. Este grupo de trastornos genéticos se caracteriza por la pérdida de la función de las enzimas lisosómicas, lo que produce patologías somáticas, y a veces neuronales, graves. En la ERT para estas enfermedades, los pacientes reciben una infusión con grandes dosis de enzimas normales. Estas enzimas infundidas después se interiorizan desde la circulación a través de los receptores de la superficie celular (receptor de manosa-6 fosfato) e ingresan en la vía endocítica en el camino hacia el sitio de acción, el lisosoma. No todos los intentos de tratar los trastornos genéticos a través de la ERT han resultado exitosos.

La hipofosfatasia es un tipo raro y hereditario de raquitismo u osteomalacia que ocurre con una incidencia de 1 por cada 100.000 nacimientos para la forma más grave de la enfermedad. Las formas más leves son más frecuentes. En este defecto del metabolismo innato, las mutaciones inactivan el gen que codifica la isoenzima no específica del 30 tejido de la fosfatasa alcalina. Se caracteriza bioquímicamente por una actividad subnormal de la fosfatasa alcalina en suero. La deficiencia de fosfatasa alcalina en los osteoblastos y condrocitos deteriora la mineralización esquelética, lo que produce raquitismo u osteomalacia.

Existe una gama muy amplia de expresividad de la hipofosfatasia, que va desde una forma perinatal que a menudo causa el nacimiento de bebés muertos debido a un esqueleto sin mineralizar, hasta una forma más suave que solo presenta la pérdida prematura de los dientes. Los bebés y los niños gravemente afectados heredan la hipofosfatasia como un rasgo autosómico recesivo. Existen cuatro formas principales de la enfermedad: perinatal, infantil, de la niñez y adulta. La hipofosfatasia perinatal se manifiesta durante la gestación y la mayoría de los recién nacidos afectados sobreviven por poco tiempo. La hipofosfatasia infantil se manifiesta clínicamente antes de los 6 meses de edad. Aproximadamente el 50 % de los pacientes muere en un año. La hipofosfatasia de la niñez varía enormemente en cuanto a la gravedad, pero la mayoría de estos pacientes sufrirán síntomas esqueléticos a lo largo de su vida. La hipofosfatasia en adultos aparece durante la mediana edad, con síntomas tales como fracturas dolorosas por esfuerzos recurrentes que tienen una curación deficiente.

45 Los osteoblastos y los condrocitos son normalmente ricos en fosfatasa alcalina no específica del tejido donde se adhiere a la superficie celular. En la hipofosfatasia, la falta de actividad de la fosfatasa alcalina provoca la acumulación extracelular de tres compuestos de fósforo que se cree que son sustratos de la enzima: fosfoetanolamina (PEA), pirofosfato inorgánico (PPi) y piridoxal 5'-fosfato (PLP). El PPi es un inhibidor del crecimiento de cristales de hidroxiapatita, y la acumulación de PPi en la enfermedad explica el deterioro de la mineralización esquelética. En consecuencia, el suministro de enzimas activas a los pacientes que sufren de hipofosfatasia disminuye los niveles de PPi extracelular y mejora la mineralización esquelética.

Actualmente, no existe una terapia médica establecida para la hipofosfatasia. Los ensayos de reemplazo de enzimas mediante infusiones intravenosas de fosfatasa alcalina han fracasado. Parece que la actividad de la fosfatasa 55 alcalina se debe aumentar no en la circulación sino en el esqueleto mismo. Esta hipótesis se confirmó recientemente por el trasplante de médula ósea. Lamentablemente, los beneficios del trasplante solo duraron un período corto debido a un injerto deficiente.

Por lo tanto, es necesario proporcionar un enfoque de terapia de reemplazo enzimático para proporcionar enzimas 60 activas al esqueleto de los pacientes que sufren hipofosfatasia.

Las proteínas dirigidas a los huesos podrían ser útiles no solo para el tratamiento o la prevención de la hipofosfatasia (pérdida de la función de la fosfatasa alcalina), sino también para el tratamiento o la prevención de otras enfermedades genéticas caracterizadas por una actividad enzimática defectuosa implicada en el metabolismo 5 óseo, tal como raquitismo hipofosfatémico ligado a X (XLH) (pérdida de la función del gen regulador del fosfato con homología a endopeptidasas en el cromosoma X (PHEX)).

El XLH es la más prevalente de las hipofosfatemias familiares (OMIM 307800, 307810). Se caracteriza por una reducción de la reabsorción de fosfato en el riñón, hipofosfatemia, normocalcemia, niveles plasmáticos de 1,25-10 dihidroxivitamina D3 (1,25(OH)2D, calcitriol) de normales a bajos, función normal de la glándula paratiroides y actividad elevada de la fosfatasa alcalina plasmática. Estos cambios están asociados con el retraso del crecimiento, la deformidad de las extremidades inferiores, la evidencia radiológica e histomorfométrica del raquitismo y la osteomalacia. Esta enfermedad parece ser el resultado de la combinación de defectos renales en la reabsorción de fosfato tubular y el metabolismo de la vitamina D, así como un trastorno funcional en los huesos y los dientes. El 15 XLH es el resultado de la inactivación de mutaciones en el gen PHEX, un miembro de la familia de la metalopeptidasa de zinc de las glicoproteínas de membrana integral tipo II. Estas mutaciones impiden la expresión de una enzima PHEX funcional en la superficie celular de los osteoblastos. Hasta ahora, el tratamiento de los pacientes con XLH se limita a la suplementación con complementos de fosfato inorgánico (Pi) orales en cuatro o cinco dosis divididas por día, y la coadministración de 1,25(OH)2D para compensar la síntesis inadecuada de 20 1,25(OH)2D. Estas altas dosis de fosfato con frecuencia provocan intolerancias gastrointestinales, particularmente diarrea, lo que lleva al incumplimiento del paciente. Por un lado, la carga de fosfato conlleva el riesgo de provocar un hiperparatiroidismo secundario (que puede ser lo suficientemente grave como para requerir una paratiroidectomía) mientras que, por otro, la administración de un exceso de 1,25(OH)2D puede provocar hipercalciuria, hipercalcemia y nefrocalcinosis.

Por lo tanto, la ERT útil para el XLH trataría de reemplazar la enzima PHEX defectuosa en pacientes con XLH por una enzima funcional obtenida a través de tecnología de ADN recombinante. Como la enzima PHEX normal está anclada en la membrana plasmática de los osteoblastos por un péptido hidrofóbico, la forma natural de PHEX no puede ser producida y purificada en cantidades suficientes para su uso en un preparado farmacéutico. Para evitar el problema, se diseñó y se produjo una forma soluble de PHEX recombinante (o sPHEX) en cultivos celulares, se purificó y se formuló para administración intravenosa (IV) (WO 00/50580). sPHEX se inyectó posteriormente en ratones *Hyp*, un modelo de ratón para el XLH, tal como se describe en la solicitud estadounidense pendiente de aprobación n.º 10/362.259. Se observó una mejora de diversos parámetros séricos relacionados con el hueso, incluida una reducción de los niveles anormalmente altos de fosfatasa alcalina sérica. Aunque estos experimentos fueron exitosos, se creyó que la eficacia del sPHEX terapéutico podría aumentar si la proteína recombinante se modificaba para promover su unión a los minerales óseos.

Por lo tanto, se necesitan medios para dirigir con éxito las proteínas a la matriz ósea.

- 40 Se sabe que los bifosfonatos presentan una unión de afinidad alta con la hidroxiapatita (HA), y se han utilizado para dirigir moléculas pequeñas (4) y proteínas (5) a los huesos. Sin embargo, esta estrategia requiere modificaciones químicas de las proteínas purificadas y presenta varias desventajas, entre ellas una posible interferencia con la actividad de las proteínas y etapas de purificación adicionales.
- 45 Otra estrategia para dirigir moléculas pequeñas a los huesos ha sido conjugar estas entidades con péptidos ácidos como el poli-Asp (6). Esta estrategia se desarrolló tras la observación de que diversas proteínas sintetizadas por osteoblastos, las células formadoras de huesos, se unen a la matriz ósea a través de secuencias particularmente ricas en residuos de aminoácidos ácidos (Asp y Glu). Este es el caso de la osteopontina (7) y la sialoproteína ósea, dos proteínas no colagenosas. Por lo tanto, se utilizaron péptidos ácidos (E₂₋₁₀ y D₂₋₁₀) para dirigir moléculas pequeñas (es decir, metotrexato, FITC, Fmoc, biotina, estradiol) a la hidroxiapatita *in vitro*. Se utilizaron péptidos ácidos (E₆ y D₆₋₁₀) para dirigir moléculas pequeñas (es decir, FITC, Fmoc, estradiol) a la hidroxiapatita *in vitro*. Por último, se demostró que E₆ confiere a BSA, hemoglobina y IgG la capacidad de unirse a la hidroxiapatita *in vitro*. En todos los casos anteriores, la unión de la secuencia ácida se realizó químicamente.
- 55 WO 98/35703 A2describe procedimientos y composiciones para la administración de agentes terapéuticos, que incluyen proteínas, al tejido óseo empleando conjugados de oligómeros peptídicos cargados negativamente.

Oda K y col. (1999; Journal of Biochemistry 126(2): 694-699) describe la purificación de una forma soluble de fosfatasa alcalina no específica de tejidos humanos (TNSALP).

La presente invención busca abordar estas y otras necesidades.

RESUMEN DE LA INVENCIÓN:

10

15

50

5 La presente invención muestra que las moléculas grandes y complejas, como las proteínas, pueden fusionarse con péptidos ácidos para dirigirse con éxito al hueso *in vivo*.

La presente invención se refiere a una molécula de ácido nucleico aislada que comprende una secuencia de polinucleótidos seleccionada del grupo que consiste en:

a. un polinucleótido que comprende la secuencia de nucleótidos como se presenta en la SEQ ID NO: 7;

b. un polinucleótido codificante de un polipéptido que comprende una secuencia de aminoácidos como se presenta en la SEQ ID NO: 8;

c. una secuencia de nucleótidos completamente complementaria con cualquiera de las secuencias de nucleótidos en a) o b); y

d. una secuencia de nucleótidos que se puede hibridar en condiciones de rigurosidad elevada con la secuencia de nucleótidos en c), donde las condiciones de rigurosidad alta comprenden: prehibridación e hibridación en 6 x SSC, 5 x reactivo de Denhardt, SDS al 0,5 % y 100 mg/ml de ADN de esperma de salmón fragmentado desnaturalizado a 68 °C; y lavados en 2 x SSC y SDS al 0,5 % a temperatura ambiente durante 10 min; en 2 x SSC y SDS al 0,1 % a temperatura ambiente durante 10 min; y en 0,1 x SSC y SDS al 0,5 % a 65 °C tres veces durante 5 min; donde dicha molécula de ácido nucleico codifica una fosfatasa alcalina soluble activa que comprende en el extremo C una 25 secuencia de poliaspartato Dn, donde n=10 a 16.

Se describe un conjugado para administración ósea que tiene una estructura seleccionada del grupo que consiste en: A) X-Dn-Y-proteína-Z; y B) Z-proteína-Y-Dn-X, donde X está ausente o es una secuencia de aminoácidos de al menos un aminoácido; Y está ausente o es una secuencia de aminoácido; Z está ausente o es una secuencia de aminoácidos de al menos un aminoácido; y Dn es un poli aspartato donde n = 10 a 16. También se describe que la proteína en el conjugado para administración ósea es un gen regulador de fosfato soluble con homología para las endopeptidasas en el cromosoma X (sPHEX). También se describe que la estructura del conjugado es: X-Dn-Y-sPHEX-Z. Se describe que sPHEX tiene una secuencia seleccionada del grupo que consiste en los aminoácidos 46 a 749 de la figura 10; 47 a 749 de la figura 10; 48 a 749 de la figura 10; 49 a 749 de la figura 10; 50 a 749 de la figura 10; 51 a 749 de la figura 10; 52 a 749 de la figura 10; 53 a 749 de la figura 10; y 54 a 749 de la figura 10.

Se describe que, en estos conjugados para administración ósea, n es 10. Además, se describe que, en este conjugado para administración ósea, n es 11. Además, 40 se describe que, en este conjugado para administración ósea, n es 12. Además, se describe que, en este conjugado para administración ósea, n es 13. Además, se describe que, en este conjugado para administración ósea, n es 14. Además, se describe que, en este conjugado para administración ósea, n es 16.

45 Además, se describe que el sPHEX consiste en la secuencia de aminoácidos 46 a 749 de la figura 10 y n=10.

Se describe que la proteína en el conjugado es una fosfatasa alcalina soluble (sALP).

Se describe que la estructura del conjugado es: Z-sALP-X-Dn-Y.

Se describe que sALP está codificado por la secuencia como se presenta en la figura 16A. Además, se describe que sALP tiene la secuencia como se presenta en la figura 16B. Se describe que, en estos conjugados para administración ósea, n es 10. Se describe que, en este conjugado para administración ósea, n es 11. Se describe que, en este conjugado para administración ósea, n es 12. Se describe que, en este conjugado para administración ósea, n es 13. Se describe que, en este conjugado para administración ósea, n es 15. Se describe que, en este conjugado para administración ósea, n es 16. Además, se describe que n=10.

Se describe una molécula de ácido nucleico aislada que comprende una secuencia de polinucleótidos seleccionada 60 del grupo que consiste en: un polinucleótido codificante de un polipéptido que comprende una secuencia de aminoácidos como se presenta en la figura 8; un polinucleótido codificante de un polipéptido que comprende una secuencia de aminoácidos como se presenta en la figura 11; un polinucleótido que comprende la secuencia de nucleótidos como se presenta en la figura 7; una secuencia de nucleótidos completamente complementaria con cualquiera de las secuencias de nucleótidos en (a), (b) o (c); y una secuencia de nucleótidos que se puede hibridar 5 en condiciones de rigurosidad elevada con cualquiera de las secuencias de nucleótidos en (a), (b), (c) o (d), donde las condiciones de rigurosidad alta comprenden: prehibridación e hibridación en 6XSSC, 5Xreactivo de Denhardt, SDS al 0,5 % y 100mg/ml de ADN de esperma de salmón fragmentado desnaturalizado a 68 °C; y lavados en 2XSSC y SDS al 0,5 % a temperatura ambiente durante 10 min; en 2XSSC y SDS al 0,1 % a temperatura ambiente durante 10 min; y en 0,1XSSC y SDS al 0,5 % a 65 °C tres veces durante 5 minutos.

También se proporciona un vector recombinante que comprende dicha secuencia. También se proporciona una célula hospedadora recombinante que comprende dicho vector.

La invención se refiere a una molécula de ácido nucleico aislada que comprende una secuencia de polinucleótidos seleccionada del grupo que consiste en: un polinucleótido que comprende la secuencia de nucleótidos como se presenta en la figura 17A; un polinucleótido codificante de un polipéptido que comprende una secuencia de aminoácidos como se presenta en la figura 17B; una secuencia de nucleótidos completamente complementaria con cualquiera de las secuencias de nucleótidos en (a) o (b); y una secuencia de nucleótidos que se puede hibridar en condiciones de rigurosidad elevada con la secuencia de nucleótidos en (c), donde las condiciones de rigurosidad alta comprenden: prehibridación e hibridación en 6XSSC, 5Xreactivo de Denhardt, SDS al 0,5 % y 100mg/ml de ADN de esperma de salmón fragmentado desnaturalizado a 68 °C; y lavados en 2XSSC y SDS al 0,5 % a temperatura ambiente durante 10 min; en 2XSSC y SDS al 0,1 % a temperatura ambiente durante 10 min; y en 0,1XSSC y SDS al 0,5 % a 65 °C tres veces durante 5 minutos; donde dicha molécula de ácido nucleico codifica una fosfatasa alcalina soluble fisiológicamente activa que comprende en el extremo C una secuencia de poliaspartato Dn, donde n 25 = 10 a 16.

También se describe una molécula de ácido nucleico aislada codificante de PHEX soluble funcional que comprende una secuencia de polinucleótidos seleccionada del grupo que consiste en: un polinucleótido codificante de un sPHEX que comprende los aminoácidos 54 a 749 como se presenta en la figura 10; un polinucleótido codificante de 30 un sPHEX que comprende los aminoácidos 53 a 749 como se presenta en la figura 10; un polinucleótido codificante de un sPHEX que comprende los aminoácidos 52 a 749 como se presenta en la figura 10; un polinucleótido codificante de un sPHEX que comprende los aminoácidos 51 a 749 como se presenta en la figura 10; un polinucleótido codificante de un sPHEX que comprende los aminoácidos 50 a 749 como se presenta en la figura 10; un polinucleótido codificante de un sPHEX que comprende los aminoácidos 49 a 749 como se presenta en la figura 35 10; un polinucleótido codificante de un sPHEX que comprende los aminoácidos 48 a 749 como se presenta en la figura 10; un polinucleótido codificante de un sPHEX que comprende los aminoácidos 47 a 749 como se presenta en la figura 10; un polinucleótido codificante de un sPHEX que comprende los aminoácidos 46 a 749 como se presenta en la figura 10; una secuencia de nucleótidos completamente complementaria con cualquiera de las secuencias de nucleótidos en (a) a (i); y una secuencia de nucleótidos que se puede hibridar en condiciones de rigurosidad elevada 40 con cualquiera de las secuencias de nucleótidos en (a) a (j), donde las condiciones de rigurosidad alta comprenden: prehibridación e hibridación en 6XSSC, 5Xreactivo de Denhardt, SDS al 0,5 % y 100mg/ml de ADN de esperma de salmón fragmentado desnaturalizado a 68 °C; y lavados en 2XSSC y SDS al 0,5 % a temperatura ambiente durante 10 min; en 2XSSC y SDS al 0,1 % a temperatura ambiente durante 10 min; y en 0,1XSSC y SDS al 0,5 % a 65 °C tres veces durante 5 minutos. Además, se describe que la molécula de ácido nucleico aislada además comprende 45 en su extremo 5', un polinucleótido codificante de un poli-aspartato seleccionado del grupo que consiste en D₁₀ a

También se describe un polipéptido de sPHEX aislado que comprende una secuencia seleccionada del grupo que consiste en: aminoácidos 54 a 749 como se presenta en la figura 10; aminoácidos 53 a 749 como se presenta en la figura 10; aminoácidos 51 a 749 como se presenta en la figura 10; aminoácidos 51 a 749 como se presenta en la figura 10; aminoácidos 50 a 749 como se presenta en la figura 10; aminoácidos 48 a 749 como se presenta en la figura 10; aminoácidos 47 a 749 como se presenta en la figura 10; y aminoácidos 46 a 749 como se presenta en la figura 10.

55 Se describe una composición para administración ósea que comprende un conjugado para administración ósea y un vehículo farmacéuticamente aceptable.

También se describe un procedimiento para administrar una proteína a tejido óseo de un mamífero que comprende administrar a dicho mamífero una cantidad efectiva de un conjugado para administración ósea tal como se describió.

60

También se describe un procedimiento para administrar sPHEX a tejido óseo de un mamífero que comprende administrar a dicho mamífero una cantidad efectiva de un conjugado para administración ósea.

También se describe un procedimiento para administrar ALP a tejido óseo de un mamífero que lo necesita que 5 comprende administrar a dicho mamífero una cantidad efectiva de un conjugado para administración ósea.

También se describe un procedimiento para tratar una afección o enfermedad relacionada con un defecto óseo caracterizado por una falta de o una cantidad insuficiente de gen regulador de fosfato funcional con homología para las endopeptidasas en el cromosoma X (PHEX) que comprende administrar a un mamífero que lo necesita un 10 conjugado, donde dicho conjugado se encuentra en un vehículo farmacéuticamente aceptable. Se describe que la afección o la enfermedad es raquitismo hipofosfatémico ligado a X (XLH).

Se describe un procedimiento para tratar una afección o enfermedad relacionada con un defecto óseo caracterizado por una falta de o una cantidad insuficiente de fosfatasa alcalina funcional que comprende administrar a un mamífero que lo necesita un conjugado, donde dicho conjugado se encuentra en un vehículo farmacéuticamente aceptable. Se describe que la afección o la enfermedad es hipofosfatasia.

Se describe un conjugado para administración ósea para administrar una proteína al tejido óseo de un mamífero.

- 20 Se describe un uso de un conjugado para administración ósea para tratar una afección o enfermedad relacionada con un defecto óseo caracterizado por una falta de o una cantidad insuficiente de gen regulador de fosfato funcional con homología para las endopeptidasas en el cromosoma X (PHEX), donde dicho conjugado se encuentra en un vehículo farmacéuticamente aceptable.
- 25 También se describe un uso de un conjugado para administración ósea en la fabricación de un medicamento para tratar una afección o enfermedad relacionada con un defecto óseo caracterizado por una falta de o una cantidad insuficiente de gen regulador de fosfato funcional con homología para las endopeptidasas en el cromosoma X (PHEX). Se describe que la afección o la enfermedad es raquitismo hipofosfatémico ligado a X (XLH).
- 30 También se describe un uso de un conjugado para administración ósea para tratar una afección o enfermedad relacionada con un defecto óseo caracterizado por una falta de o una cantidad insuficiente de fosfatasa alcalina funcional, donde dicho conjugado se encuentra en un vehículo farmacéuticamente aceptable.
- También se describe un uso de un conjugado para administración ósea de la presente invención en la fabricación de 35 un medicamento para tratar una afección o enfermedad relacionada con un defecto óseo caracterizado por una falta de o una cantidad insuficiente de fosfatasa alcalina funcional, donde dicho conjugado se encuentra en un vehículo farmacéuticamente aceptable. Se describe que la afección o la enfermedad es hipofosfatasia.
- También se describe un procedimiento para evaluar péptidos para uso en un conjugado de proteína-péptido para 40 administración ósea que comprende las etapas de: fusionar un péptido candidato con una proteína indicadora para formar un conjugado de proteína-péptido; poner en contacto el conjugado con tejido óseo o la fase mineral del hueso; y donde el péptido candidato se selecciona cuando la presencia de la proteína indicadora en el tejido óseo o la fase mineral del hueso es mayor cuando se conjuga con el péptido candidato que cuando no lo hace.
- 45 Se describe un conjugado para administración ósea de una proteína fusionada a un péptido seleccionado del grupo que consiste en deca-aspartato (D₁₀) a hexadeca-aspartato (D₁₆).

Se describe que

50 el sPHEX está fusionado en su extremo N a D₁₀. Se describe que el sPHEX está fusionado en su extremo N a D₁₁. Se describe que el sPHEX está fusionado en su extremo N a D₁₂. Se describe que el sPHEX está fusionado en su extremo N a D₁₃. Se describe que el sPHEX está fusionado en su extremo N a D₁₄. Se describe que el sPHEX está fusionado en su extremo N a D₁₅. Se describe que el sPHEX está fusionado en su extremo N a D₁₆,

Se describe que en los conjugados

60 el sALP está fusionado en el extremo C a D₁₀. Se describe que

el sALP está fusionado en el extremo C a D₁₁. Se describe que el sALP está fusionado en el extremo C a D₁₂. Se describe que el sALP está fusionado en el extremo C a D₁₃. Se describe que el sALP está fusionado en el extremo C a D₁₄. Se describe que el sALP está fusionado en el extremo C a D₁₅. Se describe que el sALP está fusionado en el extremo C a D₁₆.

sPHEX

10 Tal como se usa en la presente, sPHEX significa cualquier fragmento biológicamente activo soluble de PHEX o muteína de este. Los expertos en la técnica pueden preparar construcciones de expresión diferentes de las que se describen expresamente en la presente para la producción óptima de **sPHEX** en líneas celulares adecuadas transfectadas con este. Además, los expertos pueden diseñar fragmentos de ADNc codificantes de fragmentos biológicamente activos adecuados y muteínas de PHEX de origen natural que poseen la misma actividad biológica o 15 similar que la enzima de longitud completa de origen natural.

Para crear una fuente recombinante para sPHEX, se puede construir y evaluar una amplia serie de vectores de expresión en cuanto a la expresión de un ADNc de PHEX. Basándose en los experimentos de transfección transitoria, así como en las transfecciones estables, se puede identificar una construcción de expresión que 20 proporcione un nivel particularmente alto de expresión.

Se describe cualquier sPHEX que comprende al menos una porción de ectodominio de PHEX natural que comienza con la cisteína en la posición 54 de la secuencia presentada en la figura 10.

25 Los conjugados invención por lo tanto son cualquier sPHEX que comprende este fragmento de 54-749 del PHEX natural, o el fragmento natural 53-749, o el fragmento natural 52-749, o preferentemente el fragmento natural 51-749, o el fragmento natural 50-749 o el fragmento natural 49-749 o el fragmento natural 48-749, o el fragmento natural 47-749, o el fragmento natural 47-749, o el fragmento natural 46-749, junto con un poli-aspartato seleccionado del grupo que consiste en D₁₀ a D₁₆ fusionado inmediatamente corriente arriba de este fragmento.

El conjugado además puede comprender opcionalmente uno o más aminoácidos adicionales 1) corriente arriba del poli-aspartato; y/o 2) entre el poli-aspartato y el fragmento natural o el equivalente funcional. Estos aminoácidos pueden ser cualquier aminoácido. Se pueden seleccionar de forma independiente del grupo que consiste en cualquier aminoácido excepto la cisteína, la prolina y el triptofano, a saber, los aminoácidos que se sabe que 35 inducen la formación de enlaces disulfuro o cambios en la conformación.

Estos aminoácidos pueden estar presentes en el conjugado cuando, por ejemplo, la estrategia de clonación utilizada para producirlo los introduce en estas ubicaciones.

40 De acuerdo con las estrategias de clonación específicas, los aminoácidos ubicados corriente arriba del poli-aspartato en el PHEX escindible recombinante se pueden seleccionar de acuerdo con parámetros conocidos para proporcionar un sustrato adecuado para enzimas específicas de la vía de secreción (p. ej., furina o peptidasa señal) de la célula hospedadora que se utilizará para escindir los PHEXs escindibles recombinantes producidos en un sPHEX dirigido a huesos secretado. La probabilidad de que una secuencia diseñada sea escindida por la peptidasa 45 señal de la célula hospedadora se puede predecir mediante un algoritmo informático apropiado como el descrito enBendtsen y col. (J Mol Biol. 16 de julio de 2004;340(4):783-95) y que está disponible en la Web en http://www.cbs.dtu.dk/services/SignalP/ que considera parámetros incluidos los siguientes: los aminoácidos en la posición -3 y -1 del sitio de escisión por la peptidasa señal tienen de forma deseable cadenas laterales pequeñas y no cargadas. Preferentemente, en la posición -1: Ala, Ser, Gly, Cys, Thr y, a veces, Gln, Pro y Leu. De forma similar, 50 aquellos en la posición -6 y -4 del sitio de escisión son de forma deseable aquellos capaces de inducir la formación de residuos de giro beta (tal como Pro).

Se describen conjugados que comprenden aminoácidos adicionales que se pueden seleccionar basándose en la estrategia de clonación utilizada para producir un PHEX recombinante escindible. Por lo tanto, el PHEX recombinante escindible descrito en los ejemplos 3 y 4 abajo contiene dichos aminoácidos adicionales corriente arriba del poli-aspartato y entre el poli-aspartato y la secuencia de ectodominio natural. Además, se describe un conjugado que comprende la secPHEX descrita en la solicitud copendiente n.ºWO 02/15918preparada mediante la fusión del fragmento de extremo N NL-1 que comprende un sitio de furina para el ectodominio natural de PHEX con 60 el vector pCDNA3/RSV/NL-1-PHEX, y un secPHEX que comprende un fragmento de inmunoglobulina en el extremo

- N. Más específicamente, la figura 12 presenta esquemáticamente la estructura de secPHEXs que comprenden aminoácidos adicionales corriente arriba del fragmento del ectodominio de 46-749 PHEX natural. Las construcciones n.º 1 a 3 y 5 se pueden fusionar a un poli-aspartato y utilizarse como conjugados.
- 5 La construcción n.º 4 constituye un conjugado: comprende un poli-aspartato D₁₀ y un fragmento de ectodominio natural.

Los conjugados también abarcan adicionalmente sPHEXs que comprenden eliminaciones en el extremo C que no afectan su actividad enzimática.

Además, se describen conjugados donde el poli-aspartato estaría unido en el extremo C del fragmento de ectodominio de PHEX natural.

<u>sALP</u>

15

25

10

ALP es una proteína unida a membrana anclada a través de un glicolípido a su extremo C. Este anclaje de glicolípido (GPI) se agrega postraduccionalmente después de la eliminación de un extremo C hidrofóbico que actúa como anclaje de membrana transicional y como una señal para el agregado de GPI. Por lo tanto, el sALP utilizado en el ejemplo 6 en la presente está constituido por un ALP donde el primer aminoácido de la secuencia de extremo C hidrofóbica, a saber, alanina, es reemplazado por un codón de parada. El ALP soluble formado de este modo contiene todos los aminoácidos de la forma natural y, por lo tanto, anclada activa de ALP.

Los conjugados de sALP descritos son cualquier sALP junto con un poli-aspartato seleccionado del grupo que consiste en D_{10} a D_{16} fusionado inmediatamente corriente abajo de este fragmento.

El conjugado además puede comprender opcionalmente uno o más aminoácidos adicionales 1) corriente arriba del poli-aspartato; y/o 2) entre el poli-aspartato y el fragmento de sALP natural o el equivalente funcional. Este es el caso, por ejemplo, cuando la estrategia de clonación utilizada para producir el conjugado de direccionamiento óseo introduce aminoácidos exógenos en estas ubicaciones. Sin embargo, los aminoácidos exógenos se deben seleccionar de modo que no proporcionen un sitio de transaminación adicional. La probabilidad de que una secuencia diseñada sea escindida por la transaminasa de la célula hospedadora se puede predecir según lo descrito porlkezawa (Biol Pharm. Bull. 2002, 25(4) 409-417).

Los conjugados descritos también abarcan adicionalmente sALPs que comprenden eliminaciones en el extremo N 35 que no afectan su actividad enzimática.

Además, se describen conjugados donde el poli-aspartato estaría unido en el extremo N del fragmento anclado a ALP natural o su fragmento biológicamente activo.

- 40 El término "proteína recombinante" se utiliza en la presente para hacer referencia a una proteína codificada por un ácido nucleico manipulado genéticamente insertado en una célula hospedadora procariota o eucariota. El ácido nucleico se ubica generalmente dentro de un vector, tal como un plásmido o un virus, según sea adecuado para la célula hospedadora. Aunque *E. coli* se ha utilizado como un hospedador para expresar los conjugados descritos en los ejemplos presentados en la presente, un experto en la técnica comprenderá que se puede usar una serie de otros hospedadores para producir proteínas recombinantes de acuerdo con los procedimientos que son rutina en la técnica. Se describen procedimientos representativos enManiatis y col. Cold Springs Harbor Laboratory (1989). "Proteína escindible recombinante", según se usa en la presente, se refiere a una proteína recombinante que se puede escindir por una enzima del hospedador para producir una proteína secretada/soluble. I
- 50 El término "fragmento de ectodominio" significa en la presente, cuando se utiliza con relación a PHEX, el fragmento de PHEX que se ubica fuera de la membrana celular cuando se encuentra en su forma natural.

La expresión "tejido óseo" se utiliza en la presente para referirse a un tejido sintetizado por osteoblastos compuesto por una matriz orgánica que contiene mayoritariamente colágeno y mineralizada por el depósito de cristales de 55 hidroxiapatita.

Las proteínas de fusión comprendidas por los conjugados para administración ósea son útiles para el tratamiento terapéutico de las afecciones de defectos óseos porque proporcionan una cantidad efectiva de la proteína de fusión al hueso. La proteína de fusión se proporciona en forma de una composición farmacéutica en cualquier vehículo farmacéuticamente aceptable estándar, y se administra mediante cualquier procedimiento estándar, por ejemplo,

mediante inyección intravenosa.

La expresión "vehículo farmacéuticamente aceptable" se utiliza en la presente para hacer referencia, cuando se elige la administración parenteral como vía de administración, a disolventes, suspensiones o emulsiones acuosas o no acuosas estériles farmacéuticamente aceptables. Algunos ejemplos de disolventes no acuosos son el propilenglicol, el polietilenglicol, el aceite vegetal, el aceite de pescado y los ésteres orgánicos inyectables. Los disolventes acuosos incluyen agua; soluciones de agua-alcohol; solución salina fisiológica; vehículos parenterales médicos amortiguados que incluyen solución de cloruro de sodio, solución de dextrosa de Ringer, solución de dextrosa más cloruro de sodio, regeneradores de fluidos y nutrientes; regeneradores de electrolitos; solución de Ringer que 10 contiene lactosa o aceites fijos.

El término "cantidad efectiva" se utiliza en la presente para hacer referencia a la cantidad mínima de una composición farmacéutica que se debe administrar a un mamífero para lograr un efecto terapéutico significativo. Las dosificaciones dependerán de muchos factores, incluido el modo de administración. Típicamente, la cantidad de proteína presente dentro de una dosis única será una cantidad que impida, retrase o trate de forma efectiva una afección no deseada relacionada con los huesos sin inducir toxicidad significativa. En particular, una cantidad efectiva del conjugado y las composiciones comprenderá una cantidad de proteína de fusión que provocará un alivio significativo de los síntomas clínicos de la afección.

20 La cantidad efectiva se puede proporcionar por día, por semana, por mes o fracciones de estos. Típicamente, se puede administrar una composición farmacéutica en una cantidad de entre aproximadamente 0,001 mg y aproximadamente 500 mg por kg de peso corporal por día (p. ej., 10 mg, 50 mg, 100 mg o 250 mg). Las dosificaciones se pueden proporcionar en un régimen de dosificación única o múltiple. Por ejemplo, en algunas realizaciones, la cantidad efectiva es una dosis en el intervalo de entre aproximadamente 1 mg y aproximadamente 25 gramos del conjugado que se va a dirigir al hueso por día, entre aproximadamente 50 mg y aproximadamente 10 gramos del conjugado que se va a dirigir al hueso por día, aproximadamente 1 gramo del conjugado que se va a dirigir al hueso por día, entre aproximadamente 25 gramos del conjugado que se va a dirigir al hueso por semana, entre aproximadamente 50 mg y aproximadamente 10 gramos del conjugado que se va a dirigir al hueso por semana, entre aproximadamente 100 mg y aproximadamente 5 gramos del conjugado que se va a dirigir al hueso cada dos días y aproximadamente 100 mg y aproximadamente 5 gramos del conjugado que se va a dirigir al hueso cada dos días y aproximadamente 1 gramo del conjugado que se va a dirigir al hueso cada dos días y aproximadamente 1 gramo del conjugado que se va a dirigir al hueso cada dos días y aproximadamente 1 gramo del conjugado que se va a dirigir al hueso cada dos días y aproximadamente 1 gramo del conjugado que se va a dirigir al hueso cada dos días y aproximadamente 1 gramo del conjugado que se va a dirigir al hueso cada dos días y aproximadamente 1 gramo del conjugado que se va a dirigir al hueso cada dos días y aproximadamente 1 gramo del conjugado que se va a dirigir al hueso cada dos días y aproximadamente 1 gramo del conjugado que se va a dirigir al hueso cada dos días y aproximadamente 1 gramo del conjugado que se va a dirigir al hueso cada dos días y aproximadamente 1 gramo del conjugado que se va a dirigir al hueso cada dos días y aproximad

Esto es solo una guía, ya que la dosis real debe ser seleccionada cuidadosamente y titulada por el médico tratante 35 basándose en los factores clínicos exclusivos para cada paciente. La dosis diaria óptima será determinada por los procedimientos conocidos en la técnica y se verá afectada por factores tales como la edad del paciente y otros factores clínicamente pertinentes. Además, los pacientes pueden estar tomando medicamentos para otras enfermedades o afecciones. Los otros medicamentos se pueden continuar durante el tiempo que la proteína para administración al hueso se proporcione al paciente, pero es aconsejable, en particular, en dichos casos, comenzar 40 con dosis bajas para determinar si se experimentan efectos secundarios adversos.

La expresión "condiciones de rigurosidad elevada" se refiere a condiciones que permiten secuencias con una homología alta para la unión. Sin limitarse en ese sentido, se enumeran ejemplos de dichas afecciones en el manual "Molecular cloning, a laboratory manual, segunda edición de 1989 de Sambrooky col.: 6XSSC o 6XSSPE, con o sin reactivo de Denhardt, SDS al 0,5 % y la temperatura utilizada para obtener condiciones de rigurosidad elevada suele ser de aproximadamente 68 °C (véanse las páginas 9.47 a 9.55 de Sambrook) para el ácido nucleico de 300 a 1500 nucleótidos. Aunque la temperatura óptima que se va a utilizar para una sonda de ácido nucleico específica se puede calcular empíricamente, y aunque existe la posibilidad de alternativas en las condiciones del amortiguador seleccionadas, dentro de estos intervalos de condiciones muy conocidos, el ácido nucleico captado no variará significativamente. De hecho, Sambrook indica claramente que la "elección depende en gran medida de la preferencia personal" (véase la página 9.47). Sambrook especifica que la fórmula para calcular la temperatura óptima que varía de acuerdo con la fracción de guanina y citosina en la sonda de ácido nucleico y la longitud de la sonda (10 a 20 °C inferior que T_m donde T_m= 81,5 °C + 16,6(log₁₀[Na⁺]) + 0,41(fracción G+C)-0,63 (% de formamida -(600/l)) (véanse las páginas 9,50 y 9,51 de Sambrook).

BREVE DESCRIPCIÓN DE LOS DIBUJOS

En los dibujos adjuntos:

60 La figura 1 presenta el estado de pureza de las proteínas GST y GST-D₁₀ en un gel de poliacrilamida SDS después

de la cromatografía de CL-4B;

- La figura 2 muestra la estimulación de la unión de GST al hueso por los motivos peptídicos D₆, D₁₀ y D₁₆ a través del porcentaje de la dosis inyectada de GST recombinante que se encuentra asociado con tejidos específicos;
- La figura 3 proporciona una representación esquemática del plásmido pCDNA3-RSV- D₁₀sPHEX-vector NEO; 5 La figura 4 presenta un perfil cromatográfico de la detección a 280 nm del flujo de PHEX para SP-Sepharose™ HP
 - (A) y blue-Sepharose HP (B). La línea recta representa la proporción de amortiguador; La figura 5 presenta un análisis de SDS-PAGE teñido Sypro-ruby™ de las diferentes fracciones recolectadas a través del procedimiento de purificación de D₁₀sPHEX;
- La figura 6 muestra la variación en los niveles de fosfatasa alcalina sérica (ALP) observados en ratones Hyp 10 inyectados diariamente con dosis i.v. de sPHEX y D₁₀-sPHEX durante 14 días. Los valores U/I representan la disminución observada entre el día 3 (correspondiente en la gráfica a 0 U/I) y el día 15 del régimen de inyección y son el promedio de las medidas realizadas en 6 animales;
 - La figura 7 muestra la secuencia de nucleótidos de una secuencia de ADN recombinante codificante de una proteína escindible para producir D₁₀-sPHEX (SEQ ID NO: 1);
- 15 La figura 8 muestra la secuencia de aminoácidos codificada por D₁₀-sPHEX de la figura 7 (SEQ ID NO: 2); La figura 9 compara la unión a la fase mineral del hueso de las proteínas (A. GST B. sPHEX) con el de sus contrapartes fusionadas a deca-aspartato;
 - La figura 10 muestra la secuencia de nucleótidos de un PHEX natural (o unido a membrana) (SEQ ID NO: 3);
- La figura 11 muestra la secuencia de aminoácidos (SEQ ID NO: 4) de un conjugado de D₁₀-sPHEX producido 20 mediante la escisión de la proteína escindible recombinante de la figura 8;
- La figura 12 ilustra esquemáticamente la estructura y las actividades de diversas construcciones de secPHEX;
 - La figura 13 ilustra gráficamente a través de medición fluorimétrica la actividad de la fosfatasa alcalina en el extracto celular soluble y el medio usado de HEK293 transfectadas transitoriamente con los vectores de expresión codificantes de sALP-D₁₀ y sALP;
- 25 La figura 14 ilustra gráficamente la detección de sALP y sALP-D₁₀ por análisis de transferencia Western con el anticuerpo B4-78 específico en los medios usados y el extracto celular de HEK-293 después de la transfección transitoria. (Panel A: tinción roja de Ponceau; Panel B: análisis de transferencia α-B4-78). A la izquierda se muestran los tamaños de los marcadores de peso molecular;
- La figura 15 muestra gráficamente la unión a la fase mineral ósea de un deca-aspartato fusionado a la fosfatasa 30 alcalina secretada;
 - La figura 16 muestra A. la secuencia nucleotídica (SEQ ID NO: 5) de una fosfatasa alcalina soluble; y B. la secuencia de aminoácidos (SEQ ID NO: 6) de esa fosfatasa alcalina soluble;
 - La figura 17 muestra A. la secuencia nucleotídica (SEQ ID NO: 7): codificante de un conjugado de la presente invención, a saber, sALP-D₁₀; y B. la secuencia de aminoácidos (SEQ ID NO: 8) de ese conjugado; y
- 35 La figura 18 muestra gráficamente el efecto de D10-sALP sobre la inhibición de la mineralización mediada por PPi.

DESCRIPCIÓN DE LAS REALIZACIONES ILUSTRATIVAS

Se muestra que los péptidos poli-aspárticos específicos fusionados en marco a una proteína, como se ejemplifica en 40 la presente por la proteína glutatión-S-transferasa (GST), utilizada como una proteína indicadora, por sPHEX y por sALP, pueden aumentar significativamente la capacidad de unión ósea de estas proteínas.

La tabla 1 presenta la secuencia de oligonucleótidos utilizada en los ejemplos 1 a 7.

45 TABLA 1: SECUENCIA DE OLIGONUCLEÓTIDOS SINTÉTICOS UTILIZADOS EN LOS EJEMPLOS 1 A 7

D_6	SEQ ID NO:9.	5'-GATCCGATGACGATGACGC-3'
	SEQ ID NO:10	5'-GGCCGCGTCATCGTCATCG-3'
D ₁₀	SEQ ID NO:11	5'-GATCCGATGACGATGACGATGACGATGACGC-3'
	SEQ ID NO:12	5'-GGCCGCGTCATCGTCATOGTCATCGTCATCGTCATCG-3'
D ₁₆	SEQ ID NO:13	5'-
		GATCCGATGACGATGACGATGACGATGACGATGAC
		GATGACGATGACGC-3'
	SEQ ID NO:14	5'-
		GGCCGCGTCATCGTCATCGTCATCGTCATCQTCAT
		CQTCATCGTCATCG-3'
hMEPE	SEQ ID NO:15	5'-
		GATCCGATGACAGTAGTGAGTCATCTGACAGTGGCAGTTCA
		AGTGAGAGCGATGGTGACGC-3'
	SEQ ID NO:16	5'-

		GGCCGCGTCACCATCGCTCTCACTTGAACTGCCACTGTCAG ATGACTCACTACTGTCATCG-3'
hStatherin	SEQ ID NO:17	5'- GATCCGATTCATCTGAAGAGAAATTTTTGCGTAGAATTGGAA GATTCGGTGC-3'
	SEQ ID NO:18	5'- GGCCGCACCGAATCTTCCAATTCTACGCAAAAATTTCTCTTC AGATGAATCG-3'
hMGP	SEQ ID NO:19	5'- GATCCTGTTATGAATCACATGAAAGCATGGAATCTTATGAAC TTAATCCCTTCATTGC-3'
	SEQ ID NO:20	5- GGCCGCAATGAAGGGATTAAGTTCATAAGATTCCATGCTTT CATGTGATTCATAACAG-3,
hOsteoponti n	SEQ ID NO:21	S'- GATCCCAGAATGCTGTGTCCTCTGAAGAAACCAATGACTTTA AAGC-3'
	SEQ ID NO:22	5'- GGCCGCTTTAAAGTCATTGGTTTCTTCAGAGGACACAGCAT TCTGG-3'
hBSP2	SEQ ID NO:23	5'- GATCCGGCAGTAGTGACTCATCCGAAGAAAATGGAGATGACAGTTCAGAAGAGGAGGAGGAA 3'
	SEQ ID NO:24	5'-GGCCGCTTCCTCCTCTTCTGAACTGTCATCTCCATTTTCTTCGGATGAGTCACTACTGC
hIGFBP5	SEQ ID NO:25	5'- GATCCCGCAAAGGATTCTACAAGAGAAAGCAGTGCAAACCT TCCCGTGGGCCGCAAGCGTGC-3'
	SEQ ID NO:26	5'- GGCCGCACGCTTGCGGCCACGGGAAGGTTTGCACTGCTTT CTCTTGTAGAATCCTTTGCGG-3'
M81736	SEQ ID NO:21	5'-AGTCGGGATCCGGAACAAGCAGCGTGTTCTAC-3'
CBS	SEQ ID NO:28	5'-AGATCGCGGCCGCTCAATTGTGCACGGTGTGATTAAAGG-3'
D ₁₀	SEQ ID NO:29	5'-CCGGAGATGACGATGACGATGACGATGACT-3'
	SEQ ID NO:30	3'-TCTACTGCTACTGCTACTGCTACTGAGGCC-5'

EJEMPLO 1

Unión ósea de GST-D₆, GST-D₁₀ y GST-D₁₆

5

Se utilizó tecnología de ADN recombinante para generar un plásmido que contiene un ácido nucleico codificante de GST seguido en marco por un ácido nucleico codificante de un péptido ácido D₆, D₁₀ o D₁₆. Para obtener los conjugados de GST-D₆, GST-D₁₀ y GST-D₁₆, el oligonucleótido de SEQ ID NO:9 (véase la tabla 1) se mezcló en primer lugar con el oligonucleótido de SEQ ID NQ:10, el oligonucleótido de SEQ ID NO:11 mezclado con el oligonucleótido de SEQ ID NO:12, y el oligonucleótido de SEQ ID NO:13 mezclado con el oligonucleótido de SEQ ID NO:14. Este procedimiento generó oligonucleótidos dúplex codificantes para D₆, D₁₀ y D₁₆, respectivamente, y que tienen extremidades compatibles con la clonación en el plásmido pGEX3T-4 (Pharmacia biotechnology) predigerido con las endonucleasas de restricción BamHI y Notl. Se transformaron los vectores pGEX3T-4 en proteasa AP401 menos la cepa de bacterias E. coli (*Ion*::mini tetR*ara-\Dac-pro nalA argEam rifRthi*I [F'pro AB laclq Z M15]).

15

Se utilizaron colonias bacterianas positivas para sembrar un precultivo de 10 ml de medios YT dobles y 100 mg/litro de ampicilina. Se cultivaron las bacterias durante la noche a 37 °C en un agitador orbital a 250 rpm. Se agregó el precultivo a 500 ml de medio de ampicilina YT doble nuevo en un matraz de 2 litros Erlenmeyer. Se dejó crecer a las bacterias a 37 °C bajo agitación orbital hasta alcanzar una densidad óptica a 595 nm de 0,7. Después, se indujo la expresión de proteínas mediante el agregado de 500 µl de solución de IPTG 0,1 M y se volvieron a colocar en incubación las bacterias durante 2 horas. Se centrifugaron las bacterias a 8000 x g durante 10 minutos a 4 °C. Se suspendió el sedimento en 25 ml de PBS helado que contenía inhibidor de proteasa en cápsulas de EDTA completo (Boehringer Mannheim) y se congeló a -20 °C.

Se descongelaron las células bacterianas y se alteraron en hielo con 6 pulsos de sonicación cada 50 segundos antes de la centrifugación a 12000 x g durante 10 minutos a 4 °C. Se mezcló el sobrenadante con 500 μl de resina húmeda GS-4B (Amersham Pharmacia Biotech) equilibrada con PBS. Se mantuvo la resina como una suspensión durante la incubación durante la noche a 4 °C. Se enjuagó la resina con PBS hasta que la densidad óptica a 280 nm fue inferior a 0,01. Después, se colocó la resina en una columna vacía y se eluyeron las proteínas con glutatión 10 mM disuelto en PBS. Se dializaron las fracciones eluidas agrupadas contra PO₄ de sodio 1 mM a pH 7,4 y NaCl 150 mM. Se filtraron las proteínas dializadas en un entorno estéril en una membrana PES de 0,22 μm y se mantuvieron a 4 °C. Se recuperaron típicamente 40 y 60 mg de proteínas puras por litro de cultivo respectivamente. La figura 1 muestra un ejemplo de un análisis SDS-PAGE del GST purificado y GST-D₁₀. Se yodaron las proteínas purificadas utilizando el reactivo de yodación perlas de yodo (Pierce).

Se dializaron GST y GST fusionado a péptidos contra PBS y se fijó la concentración a 2 mg/ml. Se inició la reacción de yodación agregando 2 perlas de yodo enjuagadas con PBS a 2 mCi de Na125I (100μCi/μl, ICN) disuelto en 500 μl de PBS. Se incubaron las perlas a temperatura ambiente durante cinco minutos antes de agregar 1 mg de proteína dializada. La reacción de yodación avanzó durante 15 minutos antes de que se eliminara la perla y se enjuagara en 500 ml de PBS. A los 1,5 ml finales de solución de proteína yodada, se agregaron 15 μl de Nal 6 mM para diluir la radiactividad no específica. Después, se desaló la mezcla utilizando columnas de filtración en gel de PD-10 (Amersham Pharmacia Biotech) equilibradas con PBS. Se eluyeron las proteínas en el volumen vacío. Se concentraron y se dializaron contra el amortiguador *in vivo* (PO4 de sodio 1 mM a pH 7,4 y NaCl 150 mM) utilizando cartuchos Centriprep-YM10TM (Amicon). Se midió la radiactividad utilizando un contador de radiación gamma, se evaluó la concentración de proteínas mediante el ensayo Bradford y se reveló la unión química de ¹²⁵I a las proteínas mediante autorradiografía de SDS-PAGE seco. Se mantuvieron las muestras yodadas a 4 °C.

25 Capacidad de unión ósea de las proteínas de fusión de los péptidos GST-poli-aspárticos comparada con la de GST sola

Se inyectaron las proteínas de fusión a GST yodadas en ratones con anestesia de isoflurano como un bolo intravenoso a través de la vena subclavia. Se inyectó una dosis de 1 mg de proteína yodada/por kg de peso corporal. Se estableció el volumen de dosis máximo en 10 ml/kg. La duración del tratamiento fue de sesenta minutos. Diez y sesenta minutos después de la inyección, se tomaron muestras de sangre (0,1 a 0,2 ml) a través de la vena subclavia con anestesia en tubos activadores de la coagulación de suero/gel Microvette™ (Sarstedt, #20.1291). En la necropsia, se tomaron muestras de sangre y se sacrificaron los animales mediante desangrado del corazón con anestesia de isoflurano. Se recogieron los órganos (riñones, hígado, fémures, tibias y tiroides), se enjuagaron en solución salina al 0,9 % USP, se secaron en gasa y se transfirieron a tubos contadores de gamma. Se pesaron las muestras de suero y los órganos y se midió la radiactividad. Se expresaron los resultados como porcentaje de la dosis inyectada. Ni D₁₀-GST, ni D₁₆-GST promovieron la unión a otros órganos diferentes del hueso. Esto mostró la especificidad de estos conjugados con respecto al hueso (no se muestran los datos).

40 La figura 2 muestra que la proteína de fusión a GST-D₆ no se unió más a la tibia o el fémur que GST sola. En cambio, los motivos peptídicos de D₁₀ y D₁₆promovieron la unión de GST a los huesos.

El hecho de que D₆, un péptido que se ha demostrado que administra con éxito moléculas pequeñas al hueso, no pueda administrar con éxito una proteína, a saber, GST, al hueso demuestra que no se puede predecir si un péptido ácido específico que se sabe que administra con eficacia una molécula pequeña al hueso también resultará efectivo para administrar una proteína al hueso.

EJEMPLO 2

50 Capacidad de unión de GST fusionada con diversos péptidos

La fosfoglicoproteína extracelular de matriz humana (hMEPE) es una proteína sintetizada por osteoblastos que muestra similitudes importantes con un grupo de fósforo-glicoproteínas de la matriz mineral de huesos y dientes, proteínas que se sabe que se unen naturalmente a la matriz ósea (8). Cabe señalar que hMEPE presenta en su 55 extremo carboxi una secuencia de 18 residuos de aminoácidos (DDSSESSDSGSSSESDGD) (SEQ ID NO: 31) similar a los péptidos ácidos que se encuentran en la fosforina de dentina y la sialofosfoproteína de dentina, que se sabe que se unen a la matriz ósea (8).

La estaterina humana (hStatherin) es una proteína sintetizada por las glándulas salivales, que de modo similar a la 60 histatina modula directamente la nucleación y/o el crecimiento de la hidroxiapatita. Cabe señalar que la hStatherin

presenta una secuencia de 15 residuos de aminoácidos en las posiciones 20 a 34 (DSSEEKFLRRIGRFG) (SEQ ID NO: 32) que se ha demostrado que se unen estrechamente a la hidroxiapatita (9).

La proteína Gla de la matriz humana (hMGP) es una proteína sintetizada por células musculares lisas vasculares y condrocitos que funciona como inhibidor de la polimerización de hidroxiapatita al unirse a núcleos cristalinos. Cabe señalar que hMGP presenta en su extremo amino una secuencia de 17 residuos de aminoácidos en las posiciones 19 a 35 del marco de lectura abierto (CYESHESMESYELNPFI) (SEQ ID NO: 33) similar a los péptidos de ácido carboxiglutámicos gamma fosforilados que se encuentran en la osteocalcina que se sabe que se unen a la matriz ósea, y se cree que promueve la unión a la matriz ósea (10).

La osteopontina humana (hOPN) es una proteína sintetizada por osteoblastos que regula el crecimiento de cristales de hidroxiapatita. Esta proteína pertenece a la familia de sialofosfoproteína ósea. Cabe señalar que hOPN presenta una secuencia de 13 residuos de aminoácidos (QNAVSSEETNDFK) (SEQ ID NO: 34) en las posiciones 58 a 70 del marco de lectura abierto. Esta secuencia muestra un nivel alto de homología entre las especies de mamíferos. La predicción de la estructura secundaria hace que esta secuencia sea adecuada para la exposición a disolventes y se demostró que esta secuencia está fosforilada en sus residuos de serina. Se cree que esta última característica afecta la unión a la matriz ósea (11).

10

La sialoproteína ósea humana II (hBSP2) es una proteína sintetizada por osteoblastos que muestra similitudes importantes con un grupo de fósforo-glicoproteínas de la matriz mineral de huesos y dientes, proteínas que se sabe que se unen naturalmente a la matriz ósea. Cabe señalar que hBSPII presenta en su extremo amino una secuencia de 18 residuos de aminoácidos en las posiciones 62 a 79 del marco de lectura abierto (GSSDSSEENGDDSSEEEE) (SEQ ID NO: 35) similar a los péptidos ácidos que se encuentran en la fosforina de dentina y MEPE, y se cree que promueve la unión a la matriz ósea (8).

La proteína de unión del factor de crecimiento similar a la insulina humano-5 (hIGFBP5) es sintetizada por osteoblastos. Esta proteína, de forma similar a las proteínas de la familia IGFBP, se cree que regula la función de los osteoblastos en el proceso de remodelación ósea. Cabe señalar que la hIGFBP5 presenta una secuencia de 18 residuos de aminoácidos en las posiciones 221 a 238 del marco de lectura abierto (RKGFYKRKQCKPSRGRKR) 30 (SEQ ID NO: 36) que se ha demostrado que se unen estrechamente a la hidroxiapatita (12).

La adhesina de colágeno de staphylococcus *aureus* (M81736) es una proteína expresada en la superficie de S. *aureus* que promueve la unión de las bacterias a la matriz de colágeno del hueso de mamíferos y tejidos cartilaginosos. Se informó que dicha unión era fundamental para el desarrollo de patogénesis como la osteomielitis y 35 la artritis infecciosa. Cabe señalar que se informó que el dominio de unión a colágeno (CBS) de esta adhesina abarca 151 residuos de aminoácidos (G168 a N318) del marco de lectura abierto de la proteína (13, 14). La secuencia primaria de aminoácidos es la siguiente:

GTSSVFYYKTGDMLPEDTTHVRWFLNINNEKSYVSKDITI KDQIQGGQQLDLSTLNINVTGTHSNYYSGQSAITDFEKAFPGSKITVDNTKNTI DVTIPQGYGSYNSFSINYKTKITNEQQKEFVNNSQAWYQEHGKEEVNGKSFN HTVHN. (SEQ ID NO: 37)

se construyeron plásmidos que contenían las secuencias de péptidos ácidos derivados de hMEPE, hStatherin, hMGP, hOPN, hBSP2, hIGFBP5 y CBS después de GST en marco para determinar si podían promover el direccionamiento óseo de una proteína recombinante. Se utilizó tecnología de ADN recombinante tal como se describe en el ejemplo 1 para generar plásmidos para péptidos derivados de hMEPE, hStatherin, hMGP, hOPN, hBSP2 y hIGFBP5. Los pares de oligonucleótidos identificados en la tabla 1 para cada uno de estos péptidos se mezclaron para obtener la proteína de fusión de GST-péptido ácido correspondiente. Este procedimiento generó oligonucleótidos dúplex codificantes para estos péptidos ácidos y que tienen extremidades compatibles con la clonación en el plásmido pGEX3T-4 (Pharmacia biotechnology) predigeridos con las endonucleasas de restricción BamHI y Notl.

Se construyó un plásmido que contenía CBS del siguiente modo. Se obtuvo un gen sintético correspondiente a la secuencia de la CBS a partir de Bio S&T (Montreal) y se insertó en el plásmido pLIV Select. Los oligonucleótidos de SEQ ID NO: 27 y 28 se utilizaron como cebadores en las reacciones de PCR con el plásmido pLIV Select que

contenía el gen CBS para ampliar las secuencias específicas de CBS. Se transformaron los vectores pGEX-4T-3 en proteasa AP401 menos la cepa de bacterias E. coli (*Ion*::mini tetR*ara-* Δ*Iac-pro nalA argE*am*rif*R*thi*I [F'*pro AB Iaclq Z M15*]).

5 Se realizaron la producción y la purificación de proteínas y la farmacodistribución de la proteína de fusión yodada como se describe en el ejemplo 1.

Ninguno de estos péptidos ácidos de GST se unió a los huesos (no se muestra el resultado).

10 El hecho de que el péptido derivado de la estaterina, un péptido que se ha demostrado que administra con éxito una pequeña parte de osteopontina al hueso, no pueda administrar con éxito la proteína GST al hueso demuestra que no se puede predecir si un péptido ácido específico que se sabe que administra con eficacia un péptido pequeño al hueso también resultará efectivo para administrar una proteína al hueso.

15 **EJEMPLO 3**

30

D₁₀ aumenta la capacidad de sPHEX de corregir los niveles de fosfatasa alcalina en los ratones

PHEX es una metalopeptidasa que se cree ampliamente que controla el nivel de los factores peptídicos óseos que 20 participan en la regulación de la mineralización y la homeostasis de fosfato renal. PHEX se expresa en la superficie de los osteoblastos y los osteocitos que están en contacto o incrustados en la matriz ósea. Este ejemplo proporciona datos sobre el diseño, la producción y la purificación de una forma extendida de sPHEX que contiene en su extremo N una secuencia de 10 residuos de ácido aspártico diseñada para anclarse a la matriz ósea.

25 Vector de expresión de D₁₀sPHEX

Se insertó un sitio de restricción de endonucleasa de BspEl mediante mutagénesis dirigida al sitio (QuickChange, Stratagene) en el vector pCDNA3-RSV-sPHEX-NEO (Boileau G. y col., Biochem. J. (2001) 355, 707-13) utilizando los siguientes cebadores de oligonucleótidos:

5'-

CAGTCAAGGTCTCTTA<u>TCCGGA</u>AGTCTCCAAGCTAAACAGG-3' (SEQ ID NO: 38)

y 5'-CTGTTTAGCTTGGAGACTTCCGGATAAGAGACCTTGACTGG-3' (SEQ ID NO: 39).

35 Se insertó la secuencia del hexámero BspEl (subrayada) en marco con y corriente arriba de la secuencia de ADN de sPHEX. Esta construcción codifica una proteína recombinante que se puede escindir entre la leucina y la serina en las posiciones 41 y 42, respectivamente en la figura 8. Por lo tanto, está constituida por dos aminoácidos exógenos, seguidos corriente abajo por un deca-aspartato, que a su vez está seguido por dos aminoácidos exógenos adicionales. Estos 4 aminoácidos exógenos derivan de la estrategia de clonación utilizada para producir el 40 conjugado. Se demostró que estos aminoácidos exógenos no anulan la actividad enzimática del conjugado (véase la figura 12 que muestra la actividad específica de esta construcción), pero se puede prescindir de ellos. Corriente abajo de estos aminoácidos exógenos hay un fragmento de ectodominio de PHEX natural que comienza, por lo tanto, con la serina en la posición 46 de la secuencia presentada en la figura 10. Se escindió el vector pCDNA3-RSV-NEO modificado con BspEl y después se digirió con fosfatasa alcalina para eliminar los grupos fosfato 5'. Un oligonucleótido 45 dúplex de codificante para deca-aspartato: [5'-CCGGAGATGACGATGACGATGACGATGACT-3' (SEQ ID NO. 29) 3'-TCTACTGCTACTGCTACTGCTACTGAGGCC-5' (SEQ ID NO: 30)] se fosforiló en primer lugar en sus extremos 5' con la polinucleótido cinasa T4 y se ligó al vector digerido BspEl. Esto proporcionó el vector pCDNA3-RSV-D₁₀sPHEX-NEO (figure 3). Este vector comprendía la secuencia presentada en la figura 7, que codifica el 50 PHEX escindible recombinante que tiene la secuencia de aminoácidos presentada en la figura 8.

Expresión de D₁₀sPHEX recombinante

Para inducir la expresión estable de la proteína D₁₀sPHEX, se transfectó el vector pCDNA3-RSV-D₁₀sPHEX-NEO 55 en las células LLC-PK1 (células de riñón porcino; ATCC n.º CRL-1392) utilizando el kit de transfección de liposoma

Lipofectamine-PlusTM (Invitrogen). Se seleccionaron las células transfectadas mediante el agregado de 400 μg/ml G-418 (Life Technologies) al medio. Se seleccionaron clones de células resistentes a G-418 para la expresión de D₁₀sPHEX utilizando el ensayo enzimático fluorescente PHEX [Campos M. y col. Biochem. J. (2003) 373, 271-9]. Se calculó el peso molecular aparente de la proteína recuperada en el medio usado mediante inmunotransferencia utilizando un anticuerpo monoclonal elevado contra un fragmento de PHEX humano recombinante (K121-E294) como se describió anteriormente (Ruchon AF y col. J. Bone Miner. Res. (2000) 15, 1440-1450). Se utilizó un clon resistente a G-418 que expresa 1 a 2 mg de D10sPHEX por litro para la producción de proteína. Se sembraron las células en Cellstack-10TM (Coming) a una densidad de 7 X 10⁷ en 1,75 litros de medio (199 medio, FBS al 6 %, piruvato de Na 1 mM, penicilina 1x10⁵U/litro, estreptomicina 100 mg/litro y G-418 al 1 %. Se aumentó la expresión de 10 D₁₀sPHEX mediante incubación de las células en 1,75 litros de DMEM + butirato de sodio 10 mM durante cuatro días a 37 °C y CO₂ al 5 % antes de la recolección del medio usado.

Purificación y caracterización

15 Se centrifugó el sobrenadante celular a 500 x g durante 5 minutos a 4 °C y se filtró en fibra de vidrio (Fisher, APFC09050) y se concentró 10 a 40 veces utilizando un dispositivo de filtración de flujo tangencial Ultrasette™ 30 (Pall Canada). El pH de la solución se llevó a 5,6 con ácido acético 1 M antes de una diálisis durante la noche a 4 ºC contra acetato de sodio 50 mM, NaCl 100 mM pH 5,6 (amortiguador SP). Se cargó el sobrenadante dializado a una velocidad de flujo de 4 ml/min, en una columna de intercambio catiónico de SulfoPropyl-Sepharose de 20 ml 20 (Amersham Pharmacia Biotech) equilibrada anteriormente con amortiguador SP. Se lavó la columna con el mismo amortiguador a la misma velocidad de flujo hasta que se alcanzó la referencia de absorbancia de 280 nm. Después, se eluyó la mayoría de las proteínas contaminantes con una etapa de NaCl 226 mM en el amortiguador SP. Después, se eluyó D₁₀sPHEX con una etapa de NaCl 280 mM (figura 4A). Se analizaron las fracciones mediante SDS-PAGE y con el ensayo de la actividad enzimática PHEX. Se agruparon las fracciones que contenían sPHEX y 25 se dializaron ampliamente contra MOPS 20 mM pH 7, NaCl 250 mM antes de cargarse en una columna Blue-Sepharose™ HP de 5 ml (Amersham Pharmacia) a 5 ml/min. Se enjuagó la columna a la misma velocidad de flujo con el mismo amortiguador y se recuperó la mayoría de la proteína D₁₀sPHEX mediante el aumento de la concentración de NaCl en etapas hasta 350 mM (figura 4B). La pureza de la fracción final fue mayor que el 95 %. Alternativamente, la Blue-Sepharose™ se pudo reemplazar por Heparin-Sepharose™ (Amersham Pharmacia) en la 30 cual D₁₀sPHEX se une estrechamente en un intervalo de pH (5 a 8). Se eluyó D10sPHEX mediante el uso de gradiente de NaCl. Se determinó la pureza como mayor que el 90 %. Se concentró D₁₀sPHEX y se dializó contra PO4 de sodio 1 mM pH 7,4, NaCl 150 mM utilizando cartuchos Centriprep-50™. Se filtró la muestra dializada en un entorno estéril en una membrana de 0,22 µm. Se demostró que D₁₀sPHEX purificado permanece estable durante meses a 4 °C. Se determinaron las concentraciones de proteínas mediante el procedimiento de Bradford. (Kit de 35 ensayo de proteína DC; Biorad) con albúmina de suero bovino (BSA) como estándar. Se evaluó la pureza de la proteína mediante tinción con Sypro-Ruby™ (Molecular Probes) de las proteínas resueltas en SDS-PAGE 4-12 % (figura 3). Se determinó la actividad enzimática de D₁₀sPHEX utilizando el sustrato fluorigénico.

<u>Efecto de las invecciones de sPHEX y D₁₀-sPHEX sobre los niveles en circulación de fosfatasa alcalina en</u> 40 <u>ratones Hyp</u>

Los ratones *Hyp* ligados a X albergan una eliminación amplia en la región 3' del gen *PHEX* y es el homólogo murino de la hipofosfatemia ligada a X humana (XLH). Por lo tanto, estos ratones representan un modelo útil para estudiar la fisiopatología de la XLH, así como para probar la eficacia de los agentes terapéuticos en estudios preclínicos.

Por lo tanto, se investigó el posible efecto terapéutico de D_{10} sPHEX y sPHEX con inyección intravenosa de bolo a ratones Hyp/Y durante un período de 2 semanas.

Se dializaron D₁₀sPHEX y sPHEX contra el vehículo y se filtraron las soluciones a través de un filtro de proteína de 50 unión baja de 0,22 µm. Se dividieron en alícuotas las soluciones y se analizaron nuevamente para detectar la actividad enzimática y la concentración mediante ensayo enzimático fluorogénico y el procedimiento de Bradford, respectivamente.

Se anestesió a cada ratón con isoflurano vaporizado (2 %) y D₁₀sPHEX, o se inyectó sPHEX como un bolo intravenoso a través de la vena subclavia. La dosis fue 5 mg/kg de peso corporal para cada grupo. Se trataron los animales una vez al día durante 14 días consecutivos. Se recogieron las muestras de sangre (0,1-0,2 ml) a través de la vena subclavia con anestesia en los días del estudio - 3 y +15 (antes de la necropsia, 24 horas después de la última inyección). Se evaluaron los niveles totales de fosfatasa alcalina (ALP) en suero diluido (30 µl de muestra de suero con 90 µl de solución salina al 0,9 % USP). Aunque las dosificaciones adecuadas para los pacientes humanos 60 no son proporcionales a las utilizadas en los ratones, estas dosificaciones predicen los intervalos de dosificaciones

que pueden ser adecuados en los seres humanos utilizando las tablas publicadas.

Tal como se observa en la figura 6, la forma extendida de D₁₀ de sPHEX indujo una mayor disminución en los niveles de fosfatasa alcalina que la forma de sPHEX normal.

EJEMPLO 4

La fusión de D₁₀ a GST recombinante aumenta su unión a la fase mineral del hueso in vitro

10 Marcado con fluoresceína de proteínas purificadas

Se marcaron proteínas purificadas recombinantes con isotiocianato de fluoresceína (FITC, Molecular Probes F143). Se realizó la reacción mediante el agregado de proteínas a fosfato de sodio 10 mM, amortiguador de NaCl 50 mM pH 7 a una concentración de proteína final de 1 mg/ml. La reacción de marcado inició mediante el agregado de FITC disuelto en DMSO en una concentración de 20 mg/ml para alcanzar una proporción molar de 20:1 con respecto a la concentración de proteína. Se dejó reaccionar la mezcla a temperatura ambiente durante una hora. Se separó la proteína marcada de la fluoresceína libre en una columna PD-10™ (Pharmacia) antes de la diálisis en el amortiguador de unión (fosfato de sodio 1 mM NaCl 150 mM, pH 7,4).

20 Preparación de la fase mineral de los huesos

Se diseccionaron huesos largos de una rata y se trituraron hasta convertirlos en polvo en un mortero enfriado con nitrógeno líquido. El polvo se mantuvo a -80 °C o se utilizó directamente. Se lavó una alícuota del polvo (300 mg) 3 veces con 8 ml de PBS y se le agregaron 8 ml de HCl 1 M. Se mantuvo la mezcla en suspensión en un mezclador giratorio durante 1 hora a temperatura ambiente. Se centrifugó la fracción insoluble y se recogió el sobrenadante ácido claro. Esta solución ácida permaneció estable a temperatura ambiente durante al menos dos semanas.

Reacción de unión

30 Se mezclaron alícuotas de 20 µl de extracto óseo ácido con 2 µl de NaOH 10 M y se sedimentó el precipitado a 10.000 x g durante 3 minutos a temperatura ambiente. Se enjuagó el sedimento dos veces mediante resuspensión en 100 µl de amortiguador de unión. Después, se mezcló el extracto óseo con 100 µl de una solución que contenía 5 a 45 µg de proteína marcada con fluoresceína en el amortiguador de unión al cual se le agregó fosfato para alcanzar una concentración final de 80 mM. Se incubaron las muestras durante 30 minutos a temperatura ambiente en la 35 rueda giratoria para mantener la fase mineral en suspensión. Después, se centrifugaron las muestras durante 3 minutos a temperatura ambiente. Se disolvió el sedimento que contenía la proteína unida en 200 µl de EDTA 0,5 M pH 8. Para calcular la cantidad de proteína libre presente, se agregaron 100 µl de EDTA 0,5 M pH 8 al sobrenadante. Se midió la fluorescencia de las diferentes muestras en un lector de placas de 96 pocillos configurado a 494 nm para la excitación y a 516 nm para la emisión.

Resultados

40

50

Se utilizaron las muestras que contenían 50 µg de GST y GST-D₁₀ marcados con fluoresceína en el ensayo de unión descrito arriba. La figura 9A muestra que la fusión de la secuencia de D₁₀ a GST provocó un aumento de 6 veces en la unión a la fase mineral del hueso.

EJEMPLO 5

La fusión de D₁₀ a sPHEX aumenta su unión al hueso

Utilizando un procedimiento análogo al descrito en el ejemplo 4 arriba, se utilizaron muestras que contenían 50 μg de sPHEX y D₁₀sPHEX marcados con fluoresceína en un ensayo de unión. La figura 9B muestra que la fusión de la secuencia de D₁₀ a sPHEX provocó un aumento de 4,3 en la unión a la fase mineral del hueso.

55 En cambio, D₆-sPHEX se construyó y se evaluó después de la inyección *in vivo* en animales (como se describe en el ejemplo 1 arriba) y no promovió la unión de las proteínas recombinantes al hueso (no se muestran los datos).

EJEMPLO 6

60 La fusión de D₁₀ a una forma soluble de fosfatasa alcalina aumenta su direccionamiento a la fase mineral del

hueso

35

Construcción de vectores de expresión codificantes de fosfatasa alcalina soluble recombinante humana, sALP y sALP-D₁₀

Se obtuvo ADNc de longitud completa humano codificante de fosfatasa alcalina no específica de tejido (ALP) de ARN poliA de médula ósea (Clonetech) mediante RT-PCR. En resumen, se transcribieron de forma inversa 20 ng de poliA con SuperscriptII™ y un oligo dT₁₂₋₁₈ utilizando el First Strand Synthesis System (Invitrogen). Se utilizó directamente una alícuota que representa 1/20 de la etapa de RT en una reacción de PCR con oligos específicos de 10 ALP (5'-gataaagcaggtcttggggtgcacc-3' directo (SEQ ID NO: *); 5'-gttggcatctgtcacgggcttgtgg-3' inverso (SEQ ID NO: *)) y el Expand High Fidelity Enzyme Kit™ (Roche). Se separó el producto específico de ALP resultante (1644. bp) y se purificó a partir de un gel de agarosa (1 %) utilizando el Qiaquick Gel Extraction Kit™ (QIAGEN). El ADNc de ALP después se ligó en el vector pCR4-blunt-TOPO™ (Invitrogen), se transformó en bacterias Top10™ (Invitrogen) y un clon positivo identificado por PCR de colonia. Se verificó la identidad de ADNc mediante secuenciación de ADN 15 automática.

Se construyeron formas secretadas de ALP (sALP) con eliminación de la señal de anclaje de GPI mediante PCR utilizando el kit Expand High Fidelity Enzyme KitTM. Comprendían los residuos 1-502, seguidos de un codón de parada (sALP) o un motivo de direccionamiento de deca aspartato y un codón de parada (sALP-D10). En ambos 20 casos, el cebador directo (5-tggatccaccatgatttcaccattcttagtac-3' (SEQ ID NO: 40)) cubrió el iniciador metionina BamHI cursiva). Los cebadores e incluyó un sitio (en inversos ttctagactacgagctqgcaqgagcacagtggccg-3' sALP-D₁₀5'-(SEQ ID NO: 41); ttctagactagtcgtcatcatcgtcatcatcgtcgtcatccgagctggcaggagcacagtggccg-3' (SEQ ID NO: 42)) contenían un codón de parada (subrayado) y un sitio Xbal (en cursiva). Los productos de PCR fueron digeridos con BamHI y Xbal y se 25 clonaron en pCDNA3.1-RSV que se había predigerido con las mismas enzimas. Se secuenció el ADN de plásmido.

Ensayo enzimático fluorescente de ALP

Se evaluó la actividad enzimática de sALP y sALP-D₁₀ utilizando 4-metilumbeliferil fosfato (MUP, Molecular Probes, 30 M8425) como sustrato fluorigénico de acuerdo conGee KR y col. (Anal. Biochem. 273, 41-48 (1999)) Típicamente, se realizó el ensayo a 37 °C en placas de 96 pocillos en un volumen final de 200 μl con 10 μM de MUP. Se registraron las lecturas utilizando un lector de placas Spectramax GeminiTM (Molecular Devices) en cada minuto durante 30 minutos a 450 nm tras excitación a 360 nm. El límite de longitud de onda de emisión se fijó en 435 nm. Se calculó la tasa de velocidad inicial de la ALP mediante un ajuste de regresión lineal (con r² igual o mayor que 0,98).

Expresión de proteínas sALP y sALP-D₁₀ recombinantes

Para determinar si se secretaron las proteínas sALP y sALP-D₁₀ recombinantes, se transfectó transitoriamente cada construcción (pCDNA3-RSV-sALP-NEO y pCDNA3-RSV-sALP-D₁₀-NEO) en células HEK-293S (células de riñón 40 embrionarias humanas; ATCC n.º CRL-1392) utilizando el kit Lipofectamine-Plus liposome transfection kitTM (Invitrogen). Las células HEK-293S también se transfectaron de forma simulada como control negativo. El día después de la transfección, se incubaron las células durante 24 h en DMEM sin suero. Se recogieron los medios acondicionados y se centrifugaron a 14000 RPM durante 5 min a 4 °C para eliminar las células muertas y los desechos. Se evaluaron los sobrenadantes en cuanto a la actividad enzimática y la expresión de sALP o sALP-D₁₀ 45 utilizando el ensayo enzimático fluorescente de ALP y análisis de transferencia Western respectivamente. Para el análisis de transferencia Western, se precipitó el medio usado durante 1 h sobre hielo con ácido tricloroacético (concentración final de 10 % (v/v)). Se centrifugaron las proteínas precipitadas a 14000 RPM durante 20 min a 4 °C, se lavaron una vez con acetona fría, se secaron y se resuspendieron en 60 μl 1X de amortiguador de muestra Laemmli con DTT y se hirvieron durante 5 min.

Para evaluar el contenido intracelular de sALP y sALP-D₁₀, se lavaron las células 3 veces con PBS y se lisaron con 200 μl de Tris-HCl 50 mM (pH 8) que contenía NaCl 150 mM y NP-40 al 1 % sobre hielo durante 20 min. Se centrifugaron los lisados y se evaluó el sobrenadante en cuanto a la actividad enzimática y la expresión de sALP o sALP-D₁₀ utilizando el ensayo enzimático fluorescente de ALP y análisis de transferencia Western respectivamente. 55 Para el análisis de transferencia Western, se mezclaron alícuotas de 50 μl con 10 μl 6X de amortiguador de muestra Laemmli con DTT y se hirvieron durante 5 min.

Se cargaron las muestras en un gel de Tris-glicina poliacrilamida al 4-12 % Novex precast™ (Invitrogen) y se transfirieron a nitrocelulosa de 0,45 µm (Protran, Schleicher&Schuell, Keene, NH) con Tris-glicina que contenía 60 metanol al 10 %. Se tiñó la membrana con rojo Ponceau y se bloqueó durante 1 h a temperatura ambiente con PBS

que contenía Tween 20[™] al 0,05 % (PBST) y leche deshidratada 5 %. Después, se incubó la membrana secuencialmente a temperatura ambiente con el anticuerpo anti-hBAP (mAb 4B-78, Developmental Studies Hybridoma Bank) (1:1000 en PBST con leche deshidratada al 5 %) y una IgG de conejo anti-ratón acoplada con peroxidasa de rábano picante (Sigma) (1:12000 en PBST con leche deshidratada al 5 %). Se desarrolló la señal con 5 Western Lightning Chemiluminescence Reagent Plus[™] (PerkinElmer).

La actividad enzimática de ALP medida en los medios acondicionados de HEK293 después de la transfección transitoria fue muy alta y de magnitud similar para pCDNA3-RSV-sALP-NEO (sALP) y pCDNA3-RSV-sALP-D₁₀-NEO (sALP-D₁₀) (figura 13). Esta actividad fue específica del ADN del plásmido transfectado, ya que no se podía detectar en las células con transfección simulada (simulación). La actividad relativa medida en los medios fue 35 veces mayor que la medida en los extractos celulares, lo que demuestra la naturaleza secretora de sALP y sALP-D₁₀. En consecuencia, para sALP y sALP-D₁₀, la inmunotransferencia utilizando un anticuerpo monoclonal elevado contra fosfatasa alcalina humana no específica de tejido recombinante (mAb 4B-78, Developmental Studies Hybridoma Bank) reveló una señal mucho más fuerte en los medios acondicionados que en los extractos celulares (figura 14B, comparar los carriles 2, 3 frente a 5, 6). No se visualizó ninguna señal en las muestras transfectadas de forma simulada (figura 14B, carriles 4 y 7). La señal que aparece en las células con transfección simulada consiste en la traza de BSA. El peso molecular aparente de la proteína detectada se calculó en 70 kDa en los extractos celulares (flecha) y ligeramente superior en los medios acondicionados (punta de flecha). Se realizó una tinción con rojo Ponceau de la membrana para monitorizar la carga uniforme de las muestras (figura 14A).

20

Generación de células HEK293 que segregan constitutivamente sALP y sALP-D₁₀

Para inducir la expresión estable de las proteínas sALP y sALP-D₁₀, se transfectaron los vectores pCDNA3-RSV-sALP-NEO y pCDNA3-RSV-sALP-D₁₀-NEO por separado en células HEK-293S utilizando el kit Lipofectamine-Plus liposome transfection kit[™] (Invitrogen). Se seleccionaron las células transfectadas mediante el agregado de 800 μg/ml G418 (Life Technologies) al medio. Para cada transfección, se analizó un grupo de células resistentes a G-418 para la expresión de sALP o sALP-D₁₀ en el medio de cultivo usado utilizando el ensayo enzimático fluorescente de ALP. Los medios acondicionados recogidos de las líneas celulares estables se utilizaron para el estudio del ensayo de unión en el mineral óseo.

30

Unión a la fase mineral reconstituida del hueso

Se mezclaron alícuotas de 20 µl de extracto óseo ácido con 2 µl de NaOH 10 M y se sedimentó el precipitado a 10.000 x g durante 3 minutos a temperatura ambiente. Se enjuagó el sedimento dos veces en 100 µl de 35 amortiguador (fosfato de sodio 1 mM pH 7,4 + NaCl 150 mM). Después, se mezcló la fase mineral de hueso resultante (equivalente a 0,37 mg de polvo seco) con 100 µl de una solución que contenía proteínas de sALP o sALP-D₁₀ en el amortiguador de unión (fosfato de sodio 80 mM pH 7,4 + NaCl 150 mM). Se incubaron las muestras durante 30 minutos a temperatura ambiente en la rueda giratoria para mantener la fase mineral en suspensión. Después, se centrifugaron las muestras durante 3 minutos a temperatura ambiente. Se mezcló el sedimento que 40 contenía la proteína unida con 180 µl del amortiguador de ensayo enzimático ALP que contenía BSA al 0,1 % y se inició la reacción mediante el agregado de 20 µl de MUP 100 µM. Para permitir un ensayo más homogéneo, las condiciones de la placa de 96 pocillos se agitaron durante 10 segundos cada minuto durante la duración del ensayo.

Se comparó la actividad enzimática retenida en la fase ósea mineral reconstituida con la actividad enzimática 45 equivalente agregada en el ensayo de unión. Se calcularon valores de 0,98 % y 13,3 % de actividad de proteína total unida a la fase mineral ósea para sALP y sALP-D₁₀, respectivamente. Una diferencia de unión de más de 13 veces a favor de sALP-D₁₀ sugiere que la secuencia de deca-aspartato fusionada al extremo C dirige directamente a sALP a la fase mineral del hueso. Además, el hecho de que haya sido posible medir directamente la actividad de ALP unida a la fase mineral del hueso indica que la enzima está unida de forma competente desde el punto de vista catalítico a 50 los cristales de hidroxiapatita.

Dicha proteína de fusión se puede dirigir directamente a los huesos donde la acumulación de PPi inhibe la mineralización esquelética.

55 **EJEMPLO 7**

D₁₀-ALP disminuye el efecto inhibidor del pirofosfato sobre la mineralización ósea

Se cultivaron las células UMR106 hasta la confluencia. Después, se cultivaron durante otros 7 días en medio que 60 contenía β-glicerofosfato 10 mM para inducir la mineralización. A lo largo de este período de cultivo de 7 días, se

trataron las células con o sin pirofosfato (PPi) 75 µM, un inhibidor de la mineralización y un sustrato de fosfatasa alcalina. Para evaluar la capacidad de la fosfatasa alcalina de rescatar la inhibición de la mineralización inducida por PPi, se cultivaron células tratadas con o sin PPi con concentraciones variadas de D₁₀-sALP semipurificado producido a partir de HEK293, células de riñón embrionarias humanas. Se evaluó la mineralización mediante 5 absorción de ⁴⁵Ca. Los parámetros utilizados para este experimento se presentan en la tabla 2 abajo.

TABLA 2 - PARÁMETROS UTILIZADOS EN D_{10} -ALP SOBRE LA INHIBICIÓN DE LA MINERALIZACIÓN INDUCIDA POR PPI

ALP	[ALP] (unidades/pocillo)	μl ALP/pocillo	β-GP (mM)	PPi (µM)
-	0	0	10	0
-	0	0	10	75
D ₁₀ -sALP	1,5	0,5	10	0
D ₁₀ -sALP	1,5	0,5	10	75
D ₁₀ -sALP	3	1,0	10	0
D ₁₀ -sALP	3	1,0	10	75
D ₁₀ -sALP	4,5	1,5	10	0
D ₁₀ -sALP	4,5	1,5	10	75
D ₁₀ -sALP	6	2	10	0
D ₁₀ -sALP	6	2	10	75

- 10 7 días de tratamiento con PPi produjeron una disminución del 43 % en la mineralización. El cotratamiento de los cultivos con D₁₀sALP produjo un rescate que responde a la dosis de esta inhibición de la mineralización. El tratamiento con 1,5 unidades de D₁₀-sALP produjo una disminución del 30 %, 3 y 4,5 unidades una disminución del 24 % y 6 unidades produjeron una disminución del 15 % en la mineralización, lo que corresponde a un rescate del 65 % de la inhibición de la mineralización inducida por PPi.
 - Estos resultados muestran que el tratamiento de los osteoblastos mineralizantes con D₁₀-sALP rescata de forma que responde a la dosis la inhibición de la mineralización inducida por PPi.
- Los ejemplos anteriores muestran que una fusión de poli-aspartato con proteínas recombinantes aumenta su unión a 20 la fase mineral del hueso o al tejido óseo y aumenta la capacidad de la proteína para llevar a cabo su actividad biológica en comparación con cuando se administra sola.

REFERENCIAS:

- 25 1-Weinberg, JM (2003) An overview of infliximab, etanercept, efalizumab, and alefacept as biologic therapy for psoriasis. Clin Ther 25: 2487-2505.
 - 2-Whyte MP, Valdes R Jr, Ryan LM, McAlister WH (1982) Infantile hypophosphatasia: enzyme replacement therapy by intravenous infusion of alkaline phosphatase-rich plasma from patients with Paget bone disease. J Pediatr 101: 379-386.
- 30 3-Whyte MP, Kurtzberg J, McAlister WH, Mumm S, Podgomik MN, Coburn S, Ryan LM, Miller CR, Gottesman GS, Smith AK, Douville J, Waters-Pick B, Armstrong RD, Martin PL (2003) Marrow cell transplantation for infantile hypophosphatasia. J Bone Miner Res 18: 624-636.
- 4-Fujisaki J, Tokunaga Y, Takahashi T, Shimojo F, Kimura S, Hata T (1997) Osteotropic drug delivery system (ODDS) based on biphosphonic prodrugs. IV: Effects of osteotropic estradiol on bone mineral density and uterine weight in ovariectomized rats. J Drug Targeting 6: 129-138.
- 5-Uludag H, Gao T, Wohl GR, Kantoci D, Zemicke RF (2000) Bone affinity of a biphosphonate-conjugated protein in vivo. Biotechnol Prog 16: 1115-1118.
- 6-Sekido T, Sakura N, Higashi Y, Miya K, Nitta Y, Nomura M, Sawanishi H, Morito K, Masamune Y, Kasugai S, Yokogawa K, Miyamoto K-I (2001) Novel drug delivery system to bone using acidic oligopeptides: pharmacokinetic 40 characteristics and pharmacological potential. J Drug Targeting 9: 111-121.
- 7-Hunter GK, Kyle CL, Goldberg HA (1994) Modulation of crystal formation by bone phosphoproteins: structural specificity of the osteopontin-mediated inhibition of hydroxyapatite formation. Biochem J 300: 723-728.
 - 8-Rowe PSN, de Zoysa PA, Dong R, Wang HR, White KE, Econs MJ, Oudet CL (2000) MEPE, a new gene expressed in bone marrow and tumors causing osteomalacia. Genomics 67: 54-68.
- 45 9-Gilbert M, Shaw WJ, Long JR, Nelson K, Drobny GP, Giachelli CM, Stayton PS (2000) Chimeric peptides of statherin and osteopontin that bind hydroxyapatite and mediate cell adhesion. J Biol Chem 275: 16213-16218.
 10-Young MF, Kerr JM, Ibaraki K, Heegaard AM, Robey PG (1992) Structure, expression, and regulation of the major noncollagenous matrix proteins of bones. Clin Orthop 281: 275-294.

- 11-Salih E, Ashkar S, Gerstenfeld FC, Glimcher MJ (1997) Identification of the phosphorylated sites of metabollicaly 32P-labeled osteopontin from cultured chicken osteoblasts. J Biol Chem 272: 13966-13973.
- 12-Campbell PG, Andress DL (1997) Insulin-like growth factor (IGF)-binding protein-5-(201-218) region regulates hydroxyapatite and IGF-I binding. Am J Physiol 273: E1005-E1013.
- 5 13-Patti JM, House-Pompeo K, Boles JO, Garza N, Gurusiddappa S, Hook M (1995) Critical residues in the ligand-binding site of the Staphylococcus aureus collagen-binding adhesin (MSCRAMM). J Biol Chem 270: 12005-12011. 14-Symersky J, Patti JM, Carson M, House-Pompeo K, Teale M, Moore D, Jin L, Schneider A, DeLucas LJ, Hook M, Narayana SV (1997) Structure of the collagen-binding domain from a Staphylococcus aureus adhesin. Nat Struct Biol 4: 833-838.

10

Se describe:

1. Un conjugado para administración ósea que tiene una estructura seleccionada del grupo que consiste en:

15 A) $X-D_n-Y-proteina-Z;$ y

B) $Z-proteina-Y-D_n-X,$

donde X está ausente o es una secuencia de aminoácidos de al menos un aminoácido;

Y está ausente o es una secuencia de aminoácidos de al menos un aminoácido;

Z está ausente o es una secuencia de aminoácidos de al menos un aminoácido; y

 D_n es un poli aspartato donde n = 10 a 16.

25

20

- 2. Un conjugado para administración ósea como se menciona en 1, donde la proteína es un gen regulador de fosfato soluble con homología para las endopeptidasas en el cromosoma X (sPHEX).
- 3. Un conjugado para administración ósea como se menciona en 2, donde dicha estructura es: X-D_n-Y-sPHEX-Z.
- 4. Un conjugado para administración ósea como se menciona en 3, donde sPHEX tiene una secuencia seleccionada del grupo que consiste en los aminoácidos 46 a 749 de la figura 10; 47 a 749 de la figura 10; 48 a 749 de la figura 10; 50 a 749 de la figura 10; 51 a 749 de la figura 10; 52 a 749 de la figura 10; 53 a 749 de la figura 10; y 54 a 749 de la figura 10.

35

- 5. Un conjugado para administración ósea como se menciona en 3, donde el sPHEX consiste en la secuencia de aminoácidos 46 a 749 de la figura 10 y n=10.
- 6. Un conjugado para administración ósea como se menciona en 1, donde la proteína es una fosfatasa alcalina 40 soluble (sALP).
 - 7. Un conjugado para administración ósea como se menciona en 6, donde dicha estructura es: Z-sALP-X-D_n-Y.
- 8. Un conjugado para administración ósea como se menciona en 7, donde sALP está codificado por la secuencia 45 como se presenta en la figura 16A.
 - 9. Un conjugado para administración ósea como se menciona en 7, donde el sALP tiene la secuencia como se presenta en la figura 16B.
- 50 10. Un conjugado para administración ósea como se menciona en 7, donde n=10.
 - 11. Una molécula de ácido nucleico aislada que comprende una secuencia de polinucleótidos seleccionada del grupo que consiste en:
- 55 a) un polinucleótido codificante de un polipéptido que comprende una secuencia de aminoácidos como se presenta en la figura 8:
 - b) un polinucleótido codificante de un polipéptido que comprende una secuencia de aminoácidos como se presenta en la figura 11;
 - c) un polinucleótido que comprende la secuencia de nucleótidos como se presenta en la figura 7;
- 60 d) una secuencia de nucleótidos completamente complementaria con cualquiera de las secuencias de nucleótidos

en (a), (b) o (c); y

- e) una secuencia de nucleótidos que se puede hibridar en condiciones de rigurosidad elevada con cualquiera de las secuencias de nucleótidos en (a), (b), (c) o (d), donde las condiciones de rigurosidad alta comprenden: prehibridación e hibridación en 6XSSC, 5Xreactivo de Denhardt, SDS al 0,5 % y 100mg/ml de ADN de esperma de 5 salmón fragmentado desnaturalizado a 68 °C; y lavados en 2XSSC y SDS al 0,5 % a temperatura ambiente durante 10 min; en 2XSSC y SDS al 0,1 % a temperatura ambiente durante 10 min; y en 0,1XSSC y SDS al 0,5 % a 65 °C tres veces durante 5 minutos.
 - 12. Un vector recombinante que comprende una secuencia de nucleótidos aislada de 11.

10

- 13. Una célula hospedadora recombinante que comprende el vector de 12. La presente invención se refiere a:
- 14. Una molécula de ácido nucleico aislada que comprende una secuencia de polinucleótidos seleccionada del grupo que consiste en:

15

- a) un polinucleótido que comprende la secuencia de nucleótidos como se presenta en la figura 17A;
- b) un polinucleótido codificante de un polipéptido que comprende una secuencia de aminoácidos como se presenta en la figura 17B;
- c) una secuencia de nucleótidos completamente complementaria con cualquiera de las secuencias de nucleótidos en 20 (a) o (b); y
 - d) una secuencia de nucleótidos que se puede hibridar en condiciones de rigurosidad elevada con la secuencia de nucleótidos en (c), donde las condiciones de rigurosidad alta comprenden: prehibridación e hibridación en 6XSSC, 5Xreactivo de Denhardt, SDS al 0,5 % y 100mg/ml de ADN de esperma de salmón fragmentado desnaturalizado a 68 °C; y lavados en 2XSSC y SDS al 0,5 % a temperatura ambiente durante 10 min; en 2XSSC y SDS al 0,1 % a
- 25 temperatura ambiente durante 10 min; y en 0,1XSSC y SDS al 0,5 % a 65 °C tres veces durante 5 minutos; donde dicha molécula de ácido nucleico codifica una fosfatasa alcalina soluble activa que comprende en el extremo C una secuencia de poliaspartato Dn, donde n = 10 a 16.

Se describe:

30

- 15. Una molécula de ácido nucleico aislada codificante de PHEX soluble funcional que comprende una secuencia de polinucleótidos seleccionada del grupo que consiste en:
- a) un polinucleótido codificante de un sPHEX que comprende los aminoácidos 54 a 749 como se presenta en la 35 figura 10;
 - b) un polinucleótido codificante de un sPHEX que comprende los aminoácidos 53 a 749 como se presenta en la figura 10:
 - c) un polinucleótido codificante de un sPHEX que comprende los aminoácidos 52 a 749 como se presenta en la figura 10;
- 40 d) un polinucleótido codificante de un sPHEX que comprende los aminoácidos 51 a 749 como se presenta en la figura 10;
 - e) un polinucleótido codificante de un sPHEX que comprende los aminoácidos 50 a 749 como se presenta en la figura 10;
- f) un polinucleótido codificante de un sPHEX que comprende los aminoácidos 49 a 749 como se presenta en la 45 figura 10;
 - g) un polinucleótido codificante de un sPHEX que comprende los aminoácidos 48 a 749 como se presenta en la figura 10;
 - h) un polinucleótido codificante de un sPHEX que comprende los aminoácidos 47 a 749 como se presenta en la figura 10;
- 50 i) un polinucleótido codificante de un sPHEX que comprende los aminoácidos 46 a 749 como se presenta en la figura 10;
 - j) una secuencia de nucleótidos completamente complementaria con cualquiera de las secuencias de nucleótidos en (a) a (i); y
- k) una secuencia de nucleótidos que se puede hibridar en condiciones de rigurosidad elevada con cualquiera de las secuencias de nucleótidos en (a) a (j), donde las condiciones de rigurosidad alta comprenden: prehibridación e hibridación en 6XSSC, 5Xreactivo de Denhardt, SDS al 0,5 % y 100mg/ml de ADN de esperma de salmón fragmentado desnaturalizado a 68 °C; y lavados en 2XSSC y SDS al 0,5 % a temperatura ambiente durante 10 min; en 2XSSC y SDS al 0,1 % a temperatura ambiente durante 10 min; y en 0,1XSSC y SDS al 0,5 % a 65 °C tres veces durante 5 minutos.

- 16. Una molécula de ácido nucleico aislada como se menciona en 15 que además comprende en su extremo 5', un polinucleótido codificante de un poli-aspartato seleccionado del grupo que consiste en D₁₀ a D₁₆.
- 17. Un polipéptido de sPHEX aislado que comprende una secuencia seleccionada del grupo que consiste en:

- a) los aminoácidos 54 a 749 como se presenta en la figura 10;
- b) los aminoácidos 53 a 749 como se presenta en la figura 10;
- c) los aminoácidos 52 a 749 como se presenta en la figura 10;
- d) los aminoácidos 51 a 749 como se presenta en la figura 10;
- 10 e) los aminoácidos 50 a 749 como se presenta en la figura 10;
 - f) los aminoácidos 49 a 749 como se presenta en la figura 10:
 - g) los aminoácidos 48 a 749 como se presenta en la figura 10;

 - h) los aminoácidos 47 a 749 como se presenta en la figura 10; y
 - i) los aminoácidos 46 a 749 como se presenta en la figura 10.

15

- 18. Una composición para administración ósea que comprende un conjugado para administración ósea como se menciona en 1 y un vehículo farmacéuticamente aceptable.
- 19. Un uso de un conjugado para administración ósea como se menciona en cualquiera de las reivindicaciones 1 a 20 10 para administrar una proteína al tejido óseo de un mamífero.
- 20. Un uso de un conjugado para administración ósea como se menciona en cualquiera de las reivindicaciones 2 a 5 para tratar una afección o enfermedad relacionada con un defecto óseo caracterizado por una falta de o una cantidad insuficiente de gen regulador de fosfato funcional con homología para las endopeptidasas en el cromosoma 25 X (PHEX), donde dicho conjugado se encuentra en un vehículo farmacéuticamente aceptable.
- 21. Un uso de un conjugado para administración ósea como se menciona en cualquiera de las reivindicaciones 2 a 5 en la fabricación de un medicamento para tratar una afección o enfermedad relacionada con un defecto óseo caracterizado por una falta de o una cantidad insuficiente de gen regulador de fosfato funcional con homología para 30 las endopeptidasas en el cromosoma X (PHEX).
 - 22. Un uso como se menciona en 20 o 21, donde la afección o la enfermedad es raquitismo hipofosfatémico ligado a X (XLH).
- 35 23. Un uso de un conjugado para administración ósea como se menciona en cualquiera de las reivindicaciones 6 a 10 para tratar una afección o enfermedad relacionada con un defecto óseo caracterizado por una falta de o una cantidad insuficiente de fosfatasa alcalina funcional, donde dicho conjugado se encuentra en un vehículo farmacéuticamente aceptable.
- 40 24. Un uso de un conjugado para administración ósea como se menciona en cualquiera de las reivindicaciones 6 a 10 en la fabricación de un medicamento para tratar una afección o enfermedad relacionada con un defecto óseo caracterizado por una falta de o una cantidad insuficiente de fosfatasa alcalina funcional, donde dicho conjugado se encuentra en un vehículo farmacéuticamente aceptable.
- 45 25. Un uso como se menciona en 23 o 24, donde la afección o la enfermedad es hipofosfatasia.
 - 26. Un procedimiento para evaluar péptidos para uso en un conjugado de proteína-péptido para administración ósea que comprende las etapas de:
- 50 fusionar un péptido candidato con una proteína indicadora para formar un conjugado de proteína-péptido; poner en contacto el conjugado con tejido óseo o la fase mineral del hueso; y donde el péptido candidato se selecciona cuando la presencia de la proteína indicadora en el tejido óseo o la fase mineral del hueso es mayor cuando se conjuga con el péptido candidato que cuando no lo hace.

55 LISTADO DE SECUENCIAS

<110> ENOBIA PHARMA INC. Crine, Philippe Loisel, Thomas

60 Lemire, Isabelle

Boileau, Guy

_			NJUGADOS P AS AL HUESO		STRACIÓN ÓS	SEA Y PROCE	EDIMIENTO D	E USO DE ESTO	OS PARA DIRIGII	R
5	<130>	129	87.50							
10	_	_	Г/СА05/00061 5-04-21	5						
10			60/563,828 4-04-21							
15			60/614,984 4-10-04							
			60/590,347 4-07-23							
20	<160>	44								
	<170>	Ver	sión de patente	e 3.2						
25	<210> <211> <212> <213>	228 ADI	N							
30	<220> <223>	Cor	ijugado escind	ible codificante	Э					
	<400>	1	atggaagcag	aaacagggag	cagcgtggag	actggaaaga	aggccaacag	aggcactcga	60	
			attgccctgg	tcgtgtttgt	cctgacagtg	atcgctcaac	aaacaaccag	tcaaggtctc	120	
			ttatccggag	atgacgatga	cgatgacgat	gacgatgact	ccggaagtct	ccaagctaaa	180	
			caggagtact	gcctgaagcc	agaatgcatc	gaagcggctg	ctgccatctt	aagtaaagta	240	
			aatctgtctg	tggatccttg	tgataatttc	ttccggttcg	cttgtgatgg	ctggataagc	300	
			aataatccaa	ttcccgaaga	tatgccaagc	tatggggttt	atccttggct	gagacataat	360	
			gttgacctca	agttgaagga	acttttggag	aaatcaatca	gtagaaggcg	ggacaccgaa	420	
			gccatacaga	aagccaaaat	cctttattca	tcctgcatga	atgagaaagc	gattgaaaaa	480	
			gcagatgcca	agccactgct	acacatccta	cggcattcac	ctttccgctg	gcccgtgctt	540	
			gaatctaata	ttggccctga	aggggtttgg	tcagagagaa	agttcagcct	tctgcagaca	600	

```
cttgcaacgt ttcgtggtca atacagcaat tctgtgttca tccgtttgta tgtgtccct
                                                                       660
 gatgacaaag catccaatga acatatettg aagetggace aageaacaet eteeetggee
                                                                       720
 gtgagggaag actaccttga taacagtaca gaagccaagt cttatcggga tgccctttac
                                                                       780
 aagttcatgg tggatactgc cgtgctttta ggagctaaca gttccaqagc agagcatqac
                                                                       840
 atgaagtcag tgctcagatt ggaaattaag atagctgaga taatgattcc acatgaaaac
                                                                       900
 cgaaccagcg aggccatgta caacaaaatg aacatttctg aactgagtgc tatgattccc
                                                                       960
 cagttcgact ggctgggcta catcaagaag gtcattgaca ccagactcta cccccatctg
                                                                     1020
 aaagacatca gcccctccga gaatgtggtg gtccgcgtcc cqcaqtactt taaaqatttq
                                                                     1080
 tttaggatat tagggtctga gagaaagaag accattgcca actatttggt gtggagaatg
                                                                     1140
 gtttattcca gaattccaaa ccttagcagg cgctttcagt atagatggct ggaattctca
                                                                     1200
 agggtaatcc aggggaccac aactttgctg cctcaatggg acaaatgtgt aaactttatt
                                                                     1260
 gaaagtgccc tcccttatgt tgttggaaag atgtttgtag atgtgtactt ccaggaagat
                                                                     1320
aagaaggaaa tgatggagga attggttgag ggcgttcgct gggcctttat tgacatgcta
                                                                     1380
gagaaagaaa atgagtggat ggatgcagga acgaaaagga aagccaaaga aaaggcgaga
                                                                     1440
gctgttttgg caaaagttgg ctatccagag tttataatga atgatactca tgttaatgaa
                                                                     1500
gacctcaaag ctatcaagtt ttcagaagcc gactactttg gcaacgtcct acaaactcgc
                                                                     1560
aagtatttag cacagtotga tttottotgg otaagaaaag cogttocaaa aacagagtgg
                                                                     1620
tttacaaatc cgacgactgt caatgccttc tacagtgcat ccaccaacca gatccgattt
                                                                     1680
ccagcaggag agctccagaa gcctttcttt tggggaacag aatatcctcg atctctqagt
                                                                     1740
tatggtgcta taggagtaat tgtcggacat gaatttacac atggatttga taataatggt
                                                                    1800
agaaaatatg ataaaaatgg aaacctggat ccttggtggt ctactgaatc agaagaaaag
                                                                    1860
tttaaggaaa aaacaaaatg catgattaac cagtatagca actattattg qaagaaagct
                                                                    1920
ggcttaaatg tcaaggggaa gaggaccctg ggagaaaata ttgctgataa tggaggcctg
                                                                    1980
cgggaagctt ttagggctta caggaaatgg ataaatgaca gaaggcaggg acttgaggag
                                                                    2040
cctcttctac caggcatcac attcaccaac aaccagctct tcttcctgag ttatgctcat
                                                                    2100
gtgaggtgca attoctacag accagaaget goocgagaac aagtocaaat tggtgctcac
                                                                    2160
agtocccctc agtttagggt caatggtgca attagtaact ttgaagaatt ccagaaagct
                                                                    2220
tttaactgtc cacccaattc cacgatgaac agaggcatgg actcctgccg actctggtag
                                                                    2280
```

<210> 2 <211> 759 5 <212> PRT

<213> Artificial

<220

<223> Conjugado de PHEX escindible

<4		

Met Glu Ala Glu Thr Gly Ser Ser Val Glu Thr Gly Lys Lys Ala Asn
1 5 10 15

Arg Gly Thr Arg Ile Ala Leu Val Val Phe Val Leu Thr Val Ile Ala $20 \hspace{1.5cm} 25 \hspace{1.5cm} 30$

Gln Gln Thr Thr Ser Gln Gly Leu Leu Ser Gly Asp Asp Asp Asp 35 40 45

Asp Asp Asp Asp Ser Gly Ser Leu Gln Ala Lys Gln Glu Tyr Cys 50 60

Leu Lys Pro Glu Cys Ile Glu Ala Ala Ala Ile Leu Ser Lys Val 65 70 75 80

Asn Leu Ser Val Asp Pro Cys Asp Asn Phe Phe Arg Phe Ala Cys Asp 85 90 95

Gly Trp Ile Ser Asn Asn Pro Ile Pro Glu Asp Met Pro Ser Tyr Gly 100 105 110

Val Tyr Pro Trp Leu Arg His Asn Val Asp Leu Lys Leu Lys Glu Leu 115 120 125

Leu Glu Lys Ser Ile Ser Arg Arg Arg Asp Thr Glu Ala Ile Gln Lys 130 135 140

Ala Lys Ile Leu Tyr Ser Ser Cys Met Asn Glu Lys Ala Ile Glu Lys 145 150 155 160

Ala Asp Ala Lys Pro Leu Leu His Ile Leu Arg His Ser Pro Phe Arg 165 170 175

Trp Pro Val Leu Glu Ser Asn Ile Gly Pro Glu Gly Val Trp Ser Glu 180 185 190

Arg	Lys	195		r Leu	ı Leu	Glr	200		ı Ala	a Thi	r Phe	205		y Gl	n Ty
Ser	Asn 210		Val	Phe	lle	215		туг	(Va)	l Sei	220		As _l	o Ly	s Ala
Ser 225		Glu	His	Ile	230		: Leu	ı Asp	Glr	Ala 235		Leu	ı Sei	Le	u Ala 240
Val	Arg	Glu	Asp	Tyr 245	Leu	Asp	Asn	Ser	Thr 250		Ala	Lys	Ser	255	
Asp	Ala	Leu	Tyr 260		Phe	Met	Val	Asp 265		Ala	Val	Leu	270		/ Ala
Asn	Ser	Ser 275	_	Ala	Glu	His	Asp 280		Lys	Ser	Val	Leu 285	-	Leu	ı Glu
Ile	Lys 290		Ala	Glu	Ile	Met 295		Pro	His	Glu	Asn 300		Thr	Ser	Glu
Ala 305	Met	Tyr	Asn	Lys	Met 310	Asn	Ile	Ser	Glu	Leu 315	Ser	Ala	Met	Ile	Pro 320
Gln	Phe	Asp	Trp	Leu 325	Gly	Tyr	Ile	Lys	Lys 330	Val	Ile	Asp	Thr	Arg 335	
Гуr	Pro	His	Leu 340	Lys	Asp	Ile	Ser	Pro 345	Ser	Glu	Asn	Val	Val 350		Arg
/al	Pro	Gln 355	Tyr	Phe	Lys	Asp	Leu 360	Phe	Arg	Ile	Leu	Gly 365	Ser	Glu	Arg
Lys	Lys 370	Thr	Ile	Ala	Asn	Tyr 375	Leu	Val	Trp	Arg	Met 380	Val	Tyr	Ser	Arg
le 385	Pro	Asn	Leu		Arg 390	Arg	Phe	Gln	Tyr	Arg 395	Trp	Leu	Glu	Phe	Ser 400
irg	Val	Ile		Gly 405	Thr	Thr		Leu			Gln	Trp	Asp	Lys 415	_

Val	. Asn	Phe	11e 420		Ser	Ala	Leu	425	_	r Val	l Val	Gly	430		Phe
Val	. Asp	Val 435	_	Phe	Gln	Glu	Asp 440	_	Lys	Glu	Met	Met 445		Glu	Leu
Val	Glu 450		Val	Arg	Trp	Ala 455		Ile	Asp	Met	Leu 460		Lys	Glu	Asn
Glu 465		Met	Asp	Ala	Gly 470		Lys	Arg	Lys	Ala 475		Glu	Lys	Ala	Arg 480
Ala	Val	Leu	Ala	Lys 485	Val	Gly	Tyr	Pro	Glu 490		Ile	Met	Asn	Asp 495	Thr
His	Val	Asn	Glu 500	Asp	Leu	Lys	Ala	Ile 505	Lys	Phe	Ser	Glu	Ala 510	Asp	Tyr
Phe	Gly	Asn 515	Val	Leu	Gln	Thr	Arg 520	Lys	Tyr	Leu	Ala	Gln 525	Ser	Asp	Phe
Phe	Trp 530	Leu	Arg	Lys	Ala	Val 535	Pro	Lys	Thr	Glu	Trp 540	Phe	Thr	Asn	Pro
Thr 545	Thr	Val	Asn	Ala	Phe 550	Tyr	Ser	Ala	Ser	Thr 555	Asn	Gln	Ile	Arg	Phe 560
Pro	Ala	Gly	Glu	Leu 565	Gln	Lys	Pro	Phe	Phe 570	Trp	Gly	Thr	Glu	Tyr 575	Pro
Arg	Ser	Leu	Ser 580	Tyr	Gly	Ala	Ile	Gly 585	Val	Ile	Val		His 590	Glu	Phe
Thr	His	Gly 595	Phe	Asp	Asn	Asn	Gly 600	Arg	Lys	Tyr	Asp	Lys 605	Asn	Gly	Asn
Leu	Asp 610	Pro	Trp	Trp	Ser	Thr 615	Glu	Ser	Glu	Glu	Lys 620	Phe	Lys	Glu	Lys

Thr Lys Cys Met Ile Asn Gln Tyr Ser Asn Tyr Tyr Trp Lys Lys Ala 625 $$ 630 $$ 635 $$ 640

Gly Leu Asn Val Lys Gly Lys Arg Thr Leu Gly Glu Asn Ile Ala Asp

650

Asn Gly Gly Leu Arg Glu Ala Phe Arg Ala Tyr Arg Lys Trp Ile Asn Asp Arg Arg Gln Gly Leu Glu Glu Pro Leu Leu Pro Gly Ile Thr Phe 680 Thr Asn Asn Gln Leu Phe Phe Leu Ser Tyr Ala His Val Arg Cys Asn 690 695 700 Ser Tyr Arg Pro Glu Ala Ala Arg Glu Gln Val Gln Ile Gly Ala His Ser Pro Pro Gln Phe Arg Val Asn Gly Ala Ile Ser Asn Phe Glu Glu 730 Phe Gln Lys Ala Phe Asn Cys Pro Pro Asn Ser Thr Met Asn Arg Gly 740 745 Met Asp Ser Cys Arg Leu Trp 755 <210> 3 <211> 749 5 <212> PRT <213> Homo sapiens <220> <223> PHEX humano natural <400>3 Met Glu Ala Glu Thr Gly Ser Ser Val Glu Thr Gly Lys Lys Ala Asn Arg Gly Thr Arg Ile Ala Leu Val Val Phe Val Gly Gly Thr Leu Val 25 20 Leu Gly Thr Ile Leu Phe Leu Val Ser Gln Gly Leu Leu Ser Leu Gln Ala Lys Gln Glu Tyr Cys Leu Lys Pro Glu Cys Ile Glu Ala Ala Ala 50 55 60

Ala 65	Ile	Leu	ı Ser	. Lys	70	. Ası	n Leu	ı Se	r Val	I Asp 75) Pro	о Су:	s Asp) Ası	n Phe 80
Phe	Arg	Phe	Ala	Cys 85	Asp	Gly	y Trp) Ile	90	c Asr	n Asr	n Pro	o Ile	95	Glu
Asp	Met	Pro	Ser 100		Gly	Val	l Tyr	Pro 105) Leu	Arg	, His	Asr 110		l Asp
Leu	Lys	Leu 115	_	Glu	Leu	Leu	1 Glu 120		Ser	Ile	Ser	125		Arç	, Asp
Thr	Glu 130		Ile	Gln	Lys	Ala 135	Lys	Ile	Leu	Tyr	Ser 140		Cys	Met	Asn
Glu 145	Lys	Ala	Ile	Glu	Lys 150		Asp	Ala	Lys	Pro 155		Leu	His	Ile	Leu 160
Arg	His	Ser	Pro	Phe 165		Trp	Pro	Val	Leu 170		Ser	Asn	Ile	Gly 175	
Glu	Gly	Val	Trp 180	Ser	Glu	Arg	Lys	Phe 185		Leu	Leu	Gln	Thr 190		Ala
Thr	Phe	Arg 195	Gly	Gln	Tyr	Ser	Asn 200	Ser	Val	Phe	Ile	Arg 205		Tyr	Val
Ser	Pro 210	Asp	Asp	Lys	Ala	Ser 215	Asn	Glu	His	Ile	Leu 220	Lys	Leu	Asp	Gln
Ala 225	Thr	Leu	Ser	Leu	Ala 230	Val	Arg	Glu	Asp	Tyr 235	Leu	Asp	Asn	Ser	Thr 240
Glu	Ala	Lys	Ser	Tyr 245	Arg	Asp	Ala	Leu	Tyr 250	Lys	Phe	Met	Val	Asp 255	Thr
Ala	Val	Leu	Leu 260	Gly	Ala	Asn	Ser	Ser 265	Arg	Ala	Glu	His	Asp 270	Met	Lys
Ser	Val	Leu 275	Arg	Leu	Glu	Ile	Lys 280	Ile	Ala	Glu	Ile	Met 285	Ile	Pro	His

- Glu Asn Arg Thr Ser Glu Ala Met Tyr Asn Lys Met Asn Ile Ser Glu 290 295 300
- Leu Ser Ala Met Ile Pro Gln Phe Asp Trp Leu Gly Tyr Ile Lys Lys 305 310 315
- Val Ile Asp Thr Arg Leu Tyr Pro His Leu Lys Asp Ile Ser Pro Ser 325 330 335
- Glu Asn Val Val Arg Val Pro Gin Tyr Phe Lys Asp Leu Phe Arg 340 345 350
- Ile Leu Gly Ser Glu Arg Lys Lys Thr Ile Ala Asn Tyr Leu Val Trp 355 360 365
- Arg Met Val Tyr Ser Arg Ile Pro Asn Leu Ser Arg Arg Phe Gln Tyr 370 375 380
- Arg Trp Leu Glu Phe Ser Arg Val Ile Gln Gly Thr Thr Thr Leu Leu 385 390 395 400
- Pro Gln Trp Asp Lys Cys Val Asn Phe Ile Glu Ser Ala Leu Pro Tyr 405 410 415
- Val Val Gly Lys Met Phe Val Asp Val Tyr Phe Gln Glu Asp Lys Lys 420 425 430
- Giu Met Met Glu Glu Leu Val Glu Gly Val Arg Trp Ala Phe Ile Asp 435 440 445
- Met Leu Glu Lys Glu Asn Glu Trp Met Asp Ala Gly Thr Lys Arg Lys 450 455 460
- Ala Lys Glu Lys Ala Arg Ala Val Leu Ala Lys Val Gly Tyr Pro Glu 465 470 475 480
- Phe Ile Met Asn Asp Thr His Val Asn Glu Asp Leu Lys Ala Ile Lys 485 490 495
- Phe Ser Glu Ala Asp Tyr Phe Gly Asn Val Leu Gln Thr Arg Lys Tyr 500 505 510
- Leu Ala Gln Ser Asp Phe Phe Trp Leu Arg Lys Ala Val Pro Lys Thr

		51	5				52	0				525	5		
Gli	7rp 530		e Thi	c Ası	n Pro	535		r Va	l Ası	n Ala	Phe 540		Sez	: Ala	Ser
Th: 545		Glr	ı Ile	e Arq	Phe 550		Ala	a Gly	y Glu	1 Lev 555		Lys	Pro	Phe	Phe 560
Trp	Gly	Thi	Glu	565		Arç	g Ser	Lei	570		Gly	Ala	Ile	Gly 575	Val
Ile	val	Gly	/ His 580		Phe	Thr	His	585		Asp	Asn	Asn	Gly 590	_	Lys
Tyr	Asp	Lys 595		Gly	Asn	Leu	Asp 600		Trp	Trp	Ser	Thr 605		Ser	Glu
Glu	Lys 610		Lys	Glu	Lys	Thr 615	-	Cys	Met	Ile	Asn 620	Gln	Tyr	Ser	Asn
Tyr 625		Trp	Lys	Lys	Ala 630	Gly	Leu	Asn	Val	Lys 635	Gly	Lys	Arg	Thr	Leu 640
Gly	Glu	Asn	Ile	Ala 645	Asp	Asn	Gly	Gly	Leu 650		Glu	Ala	Phe	Arg 655	Ala
Tyr	Arg	Lys	Trp 660	Ile	Asn	Asp	Arg	Arg 665	Gln	Gly	Leu	Glu	Glu 670	Pro	Leu
Leu	Pro	Gly 675	Ile	Thr	Phe	Thr	Asn 680	Asn	Gln	Leu	Phe	Phe 685	Leu	Ser	Tyr
Ala	His 690	Val	Arg	Cys	Asn	Ser 695	Tyr	Arg	Pro	Glu	Ala 700	Ala	Arg	Glu	Gln
Val 705	Gln	Ile	Gly	Ala	His 710	Ser	Pro	Pro	Gln	Phe 715	Arg	Val	Asn	_	Ala 720
Ile	Ser	Asn	Ser	Glu 725	Glu	Phe	Gln	Lys	Ala 730	Phe	Asn	Cys		Pro 735	Asn

<210> 4 <211> 718 5 <212> PRT <213> artificial

<220>

Ser Thr Met Asn Arg Gly Met Asp Ser Cys Arg Leu Trp 740 745

<223> Conjugado de PHEX soluble

-1	\sim	n		1
<4	U	u	>	4

Ser Gly Asp Asp Asp Asp Asp Asp Asp Asp Asp Ser Gly Ser Leu

1 10 15

Ala Ala Ile Leu Ser Lys Val Asn Leu Ser Val Asp Pro Cys Asp Asn 35 40 45

Phe Phe Arg Phe Ala Cys Asp Gly Trp Ile Ser Asn Asn Pro Ile Pro $50 \hspace{1cm} 55 \hspace{1cm} 60 \hspace{1cm}$

Glu Asp Met Pro Ser Tyr Gly Val Tyr Pro Trp Leu Arg His Asn Val 70 75 80

Asp Leu Lys Leu Lys Glu Leu Leu Glu Lys Ser Ile Ser Arg Arg Arg 85 90 95

Asp Thr Glu Ala Ile Gln Lys Ala Lys Ile Leu Tyr Ser Ser Cys Met
100 105 110

Asn Glu Lys Ala Ile Glu Lys Ala Asp Ala Lys Pro Leu Leu His Ile 115 120 125

Leu Arg His Ser Pro Phe Arg Trp Pro Val Leu Glu Ser Asn Ile Gly 130 135 140

Pro Glu Gly Val Trp Ser Glu Arg Lys Phe Ser Leu Leu Gln Thr Leu 145 150 155 160

Ala Thr Phe Arg Gly Gln Tyr Ser Asn Ser Val Phe Ile Arg Leu Tyr 165 170 175

Val Ser Pro Asp Asp Lys Ala Ser Asn Glu His Ile Leu Lys Leu Asp

			180)				185	5				190)	
Glr	n Ala	195		ı Se	r Leu	Ala	200		g Glu	ı Asp	Tyr	Leu 205		Ası	n Ser
Thr	Glu 210		Lys	Sei	Tyr	215		Ala	. Leu	туг	Lys 220		: Met	. Val	Asp
Thr 225		Val	Leu	Leu	Gly 230		Asn	Ser	Ser	235		Glu	His	Asp	Met 240
Lys	Ser	Val	Leu	Arg 245		Glu	Ile	Lys	11e 250		Glu	Ile	Met	Ile 255	Pro
His	Glu	Asn	Arg 260		Ser	Glu	Ala	Met 265	_	Asn	Lys	Met	Asn 270		Ser
Glu	Leu	Ser 275		Met	Ile	Pro	Gln 280		Asp	Trp	Leu	Gly 285	Tyr	Ile	Lys
Lys	Val 290		Asp	Thr	Arg	Leu 295	_	Pro	His	Leu	Lys 300	Asp	Ile	Ser	Pro
Ser 305	Glu	Asn	Val	Val	Val 310	Arg	Val	Pro	Gln	Tyr 315	Phe	Lys	Asp	Leu	Phe 320
Arg	Ile	Leu	Gly	Ser 325	Glu	Arg	Lys	Lys	Thr 330	Ile	Ala	Asn	Tyr	Leu 335	Val
Trp	Arg	Met	Val 340	Tyr	Ser	Arg	Ile	Pro 345	Asn	Leu	Ser	Arg	Arg 350	Phe	Gln
Tyr,	Arg	Trp 355	Leu	Glu	Phe	Ser	Arg 360	Val	Ile	Gln	Gly	Thr 365	Thr	Thr	Leu
Leu	Pro 370	Gln	Trp	Asp	Lys	Cys 375	Val	Asn	Phe	Ile	Glu 380	Ser	Ala	Leu	Pro
Tyr 385	Val	Val	Gly	Lys	Met 390	Phe	Val	Asp	Val	Tyr 395	Phe	Gln	Glu	Asp	Lys 400
Lys	Glu	Met	Met	Glu 405	Glu	Leu	Val	Glu	Gly 410	Val	Arg	Trp		Phe 415	Ile

ASP	met	Let	420		9 610	ASI	1 610	425		c Asi	o MI	a GI	43	_	s Ar
Lys	Ala	Lys 435		Lys	Ala	Arc	440		Le	u Ala	a Lys	44!		у Ту:	r Pro
Glu	Phe 450		Met	Asn	a Asp	Th: 455		val	. Ası	n Glu	460		ı Lys	s Ala	a Ile
Lys 465		Ser	Glu	Ala	470		Phe	Gly	Asr	1 Val 475		Glr	n Thi	r Arg	480
Tyr	Leu	Ala	Gln	Ser 485	Asp	Phe	Phe	Trp	490		Lys	Ala	a Val	. Pro 495	
Thr	Glu	Trp	Phe 500		Asn	Pro	Thr	Thr 505		. Asn	Ala	Phe	туг 510		Ala
Ser	Thr	Asn 515	Gln	Ile	Arg	Phe	Pro 520		Gly	Glu	Leu	Gln 525	-	Pro	Phe
Phe	Trp 530		Thr	Glu	Tyr	Pro 535		Ser	Leu	Ser	Tyr 540		Ala	Ile	Gly
Val 545	Ile	Val	Gly	His	Glu 550	Phe	Thr	His	Gly	Phe 555	_	Asn	Asn	Gly	Arg 560
Lys	Туr	Asp	Lys	Asn 565	Gly	Asn	Leu	Asp	Pro 570		Trp	Ser	Thr	Glu 575	
Glu	Glu	Lys	Phe 580	Lys	Glu	Lys	Thr	Lys 585	Cys	Met	Ile	Asn	Gln 590	Tyr	Ser
Asn	Tyr	Tyr 595	Trp	Lys	Lys	Ala	Gly 600	Leu	Asn	Val	Lys	Gly 605	Lys	Arg	Thr
Leu	Gly 610	Glu	Asn	Ile	Ala	Asp 615	Asn	Gly	Gly	Leu	Arg 620	Glu	Ala	Phe	Arg
Ala 625	Tyr	Arg	Lys	Trp	Ile 630	Asn	Asp	Arg	Arg	Gln 635	Gly	Leu	Glu	Glu	Pro 640

Leu Leu Pro Gly Ile Thr Phe Thr Asn Asn Gln Leu Phe Phe Leu Ser 655

Tyr Ala His Val Arg Cys Asn Ser Tyr Arg Pro Glu Ala Ala Arg Glu 660

Gln Val Gln Ile Gly Ala His Ser Pro Pro Gln Phe Arg Val Asn Gly 685

Ala Ile Ser Asn Phe Glu Glu Phe Gln Lys Ala Phe Asn Cys Pro Pro 690

Asn Ser Thr Met Asn Arg Gly Met Asp Ser Cys Arg Leu Trp

<210> 5 <211> 1524 5 <212> ADN <213> Artificial

<220>

<223> Fosfatasa alcalina soluble codificante

10

<400>5

ggatccacca tgatttcacc attcttagta ctggccattg gcacctgcct tactaactcc 60 ttagtgccag agaaagagaa agaccccaag tactggcgag accaagcgca agagacactg 120 aaatatgccc tggagcttca gaagctcaac accaacgtgg ctaagaatgt catcatgttc 180 ctgggagatg ggatgggtgt ctccacagtg acggctgccc gcatcctcaa gggtcagctc 240 caccacacc ctggggagga gaccaggctg gagatggaca agttcccctt cgtggccctc 300 tecaagacgt acaacaccaa tgcccaggtc cctgacagcg ccggcaccgc caccgcctac 360 ctgtgtgggg tgaaggccaa tgagggcacc gtgggggtaa gcgcagccac tgagcgttcc 420 eggtgeaaca ceacceaggg gaacgaggte acetecatee tgegetggge caaggaeget 480 gggaaatctg tgggcattgt gaccaccacg agagtgaacc atgccacccc cagcgccgcc 540 tacgcccact cggctgaccg ggactggtac tcagacaacg agatgccccc tgaggccttg 600 agccagggct gtaaggacat cgcctaccag ctcatgcata acatcaggga cattgacgtg 660 atcatggggg gtggccggaa atacatgtac cccaagaata aaactgatgt ggagtatgag 720 agtgacgaga aagccagggg cacgaggctg gacggcctgg acctcgttga cacctggaag 780 agetteaaac egagatacaa geacteecac tteatetgga acegeaegga acteetgace 840

cttgaccccc	acaatgtgga	ctacctattg	ggtctcttcg	agccagggga	catgcagtac	900
gagctgaaca	ggaacaacgt	gacggacccg	tcactctccg	agatggtggt	ggtggccatc	960
cagatcctgc	ggaagaaccc	caaaggcttc	ttcttgctgg	tggaaggagg	cagaattgac	1020
cacgggcacc	atgaaggaaa	agccaagcag	gccctgcatg	aggcggtgga	gatggaccgg	1080
gccatcgggc	aggcaggcag	cttgacctcc	tcggaagaca	ctctgaccgt	ggtcactgcg	1140
gaccattccc	acgtcttcac	atttggtgga	tacacccccc	gtggcaactc	tatctttggt	1200
ctggccccca	tgctgagtga	cacagacaag	aagcccttca	ctgccatcct	gtatggcaat	1260
gggcctggct	acaaggtggt	gggcggtgaa	cgagagaatg	tctccatggt	ggactatgct	1320
cacaacaact	accaggcgca	gtctgctgtg	cccctgcgcc	acgagaccca	cggcggggag	1380
gacgtggccg	tcttctccaa	gggccccatg	gcgcacctgc	tgcacggcgt	ccacgagcag	1440
aactacgtcc	cccacgtgat	ggcgtatgca	gcctgcatcg	gggccaacct	cggccactgt	1500
gctcctgcca	gctcgtagtc	taga				1524

<210> 6 <211> 502 5 <212> PRT <213> Artificial

<220> <223> Fosfatasa alcalina soluble

10 <400> 6

Met Ile Ser Pro Phe Leu Val Leu Ala Ile Gly Thr Cys Leu Thr Asn

Ser Leu Val Pro Glu Lys Glu Lys Asp Pro Lys Tyr Trp Arg Asp Gln 20 25 30

Ala Gln Glu Thr Leu Lys Tyr Ala Leu Glu Leu Gln Lys Leu Asn Thr 35 40 45

Asn Val Ala Lys Asn Val Ile Met Phe Leu Gly Asp Gly Met Gly Val 50 60

Ser Thr Val Thr Ala Ala Arg Ile Leu Lys Gly Gln Leu His His Asn 70 75 80

Pro Gly Glu Glu Thr Arg Leu Glu Met Asp Lys Phe Pro Phe Val Ala

				85					90)				95	,
Lei	ı Se	r Ly	s Th:		r Ası	n Th	r As	n Al 10		n Va	l Pr	o As	p Se		a Gl
Thi	c Ala	a Th		а Ту	r Leu	з Су	s Gly		l Ly	s Al	a Ası	12		y Th	r Va
Gly	/ Val		r Ala	a Ala	a Thr	13		g Se	r Ar	g Cy	s Ası 140		r Thi	r Gl	n Gl
Asn 145		ı Va	l Thr	Sei	11e		ı Arç	Tr	Al.	a Ly:	s Asp 5	Alá	Gl)	/ Ly	s Ser 160
Val	Gly	/ Ile	e Val	Th:		Thi	Arg	y Val	170		s Ala	Thr	Pro	Se:	
Ala	Tyr	Ala	His 180		: Ala	Asp	Arg	185	Tr	э Туг	Ser	Asp	190		ı Met
Pro	Pro	Glu 195		Leu	Ser	Gln	Gly 200		Lys	Asp	Ile	Ala 205		Gln	Leu
Met	His 210		Ile	Arg	Asp	Ile 215		Val	Ile	Met	Gly 220	Gly	Gly	Arg	Lys
Tyr 225	Met	Tyr	Pro	Lys	Asn 230	Lys	Thr	Asp	Val	Glu 235	Tyr	Glu	Ser	Asp	Glu 240
Lys	Ala	Arg	Gly	Thr 245	Arg	Leu	Asp	Gly	Leu 250		Leu	Val	Asp	Thr 255	
Lys	Ser	Phe	Lys 260	Pro	Arg	Tyr	Lys	His 265	Ser	His	Phe	Ile	Trp 270	Asn	Arg
Thr	Glu	Leu 275	Leu	Thr	Leu	Asp	Pro 280	His	Asn	Val	Asp	Tyr 285	Leu	Leu	Gly
	290					295					Asn 300				
Thr 305	Asp	Pro	Ser	Leu	Ser 310	Glu	Met	Val	Val	Val 315	Ala	Ile	Gln	Ile	Leu 320

Arg Lys Asn Pro Lys Gly Phe Phe Leu Leu Val Glu Gly Gly Arg Ile 325 330 Asp His Gly His His Glu Gly Lys Ala Lys Gln Ala Leu His Glu Ala 345 Val Glu Met Asp Arg Ala Ile Gly Gln Ala Gly Ser Leu Thr Ser Ser 355 360 Glu Asp Thr Leu Thr Val Val Thr Ala Asp His Ser His Val Phe Thr Phe Gly Gly Tyr Thr Pro Arg Gly Asn Ser Ile Phe Gly Leu Ala Pro 390 395 Met Leu Ser Asp Thr Asp Lys Lys Pro Phe Thr Ala Ile Leu Tyr Gly 405 Asn Gly Pro Gly Tyr Lys Val Val Gly Gly Glu Arg Glu Asn Val Ser 425 Met Val Asp Tyr Ala His Asn Asn Tyr Gln Ala Gln Ser Ala Val Pro Leu Arg His Glu Thr His Gly Glu Asp Val Ala Val Phe Ser Lys 455 Gly Pro Met Ala His Leu Leu His Gly Val His Glu Gln Asn Tyr Val 470 475 Pro His Val Met Ala Tyr Ala Ala Cys Ile Gly Ala Asn Leu Gly His 485 490 Cys Ala Pro Ala Ser Ser 500

<210> 7 <211> 1554 5 <212> ADN <213> Artificial

<220>

<223> Conjugado de fosfatasa alcalina soluble codificante 10

<400> 7

```
ggatccacca tgatttcacc attettagta etggecattg geacetgeet tactaactee
                                                                        60
 ttagtgccag agaaagagaa agaccccaag tactggcgag accaagcgca agagacactg
                                                                       120
 aaatatgccc tggagcttca gaagctcaac accaacgtgg ctaagaatgt catcatgttc
                                                                       180
 ctgggagatg ggatgggtgt ctccacagtg acggctgccc gcatcctcaa gggtcagctc
                                                                      240
 caccacaacc ctggggagga gaccaggctg gagatggaca agttcccctt cgtggccctc
                                                                      300
 tocaagacgt acaacaccaa tgcccaggtc cctgacagcg ccggcaccgc caccgcctac
                                                                      360
 ctgtgtgggg tgaaggccaa tgagggcacc gtgggggtaa gcgcagccac tgagcgttcc
                                                                      420
 cggtgcaaca ccacccaggg gaacgaggtc acctccatcc tgcgctgggc caaggacgct
                                                                      480
 gggaaatctg tgggcattgt gaccaccacg agagtgaacc atgccacccc cagegeegee
                                                                      540
 tacgcccact cggctgaccg ggactggtac tcagacaacg agatgccccc tgaggccttg
                                                                      600
agccaggget gtaaggacat egectaceag eteatgeata acateaggga eattgaegtg
                                                                      660
atcatggggg gtggccggaa atacatgtac cccaagaata aaactgatgt ggagtatgag
                                                                      720
agtgacgaga aagccagggg cacgaggctg gacggcctgg acctcgttga cacctggaag
                                                                      780
agetteaaac egagatacaa geacteecac tteatetgga acegeaegga acteetgace
                                                                      840
cttgaccccc acaatgtgga ctacctattg ggtctcttcg agccagggga catgcagtac
                                                                      900
gagotgaaca ggaacaacgt gaoggacoog toactotoog agatggtggt ggtggcoato
                                                                      960
cagateetge ggaagaacee caaaggette ttettgetgg tggaaggagg cagaattgae
                                                                     1020
cacgggcacc atgaaggaaa agccaagcag gccctgcatg aggcggtgga gatggaccgg
                                                                    1080
gccatcggc aggcaggcag cttgacctcc tcggaagaca ctctgaccgt ggtcactgcg
                                                                    1140
gaccattccc acgtcttcac atttggtgga tacacccccc gtggcaactc tatctttggt
                                                                    1200
ctggcccca tgctgagtga cacagacaag aagcccttca ctgccatcct gtatggcaat
                                                                    1260
gggcctggct acaaggtggt gggcggtgaa cgagagaatg tctccatggt ggactatgct
                                                                    1320
cacaacaact accaggogoa gtotgotgtg cocotgogoo acgagaccoa oggoggggag
                                                                    1380
gacgtggccg tcttctccaa gggccccatg gcgcacctgc tgcacggcgt ccacgagcag
                                                                    1440
aactacgtcc cccacgtgat ggcgtatgca gcctgcatcg gggccaacct cggccactgt
                                                                    1500
gctcctgcca gctcggatga cgacgatgat gacgatgatg acgactagtc taga
                                                                    1554
```

```
<210> 8
<211> 512
5 <212> PRT
<213> Artificial
```

<220>
<223> Conjugado de fosfatasa alcalina soluble

<400>8

Met	Ile	Ser	Pro	Phe	Leu	Val	Leu	Ala	Ile	Gly	Thr	Cys	Leu	Thr	Asn
1				5					10					15	

- Ser Leu Val Pro Glu Lys Glu Lys Asp Pro Lys Tyr Trp Arg Asp Gln
 20 25 30
- Ala Gln Glu Thr Leu Lys Tyr Ala Leu Glu Leu Gln Lys Leu Asn Thr 35 40 45
- Asn Val Ala Lys Asn Val Ile Met Phe Leu Gly Asp Gly Met Gly Val 50 55 60
- Ser Thr Val Thr Ala Ala Arg Ile Leu Lys Gly Gln Leu His His Asn 65 70 75 80
- Pro Gly Glu Glu Thr Arg Leu Glu Met Asp Lys Phe Pro Phe Val Ala 85 90 95
- Leu Ser Lys Thr Tyr Asn Thr Asn Ala Gln Val Pro Asp Ser Ala Gly
 100 105 110
- Thr Ala Thr Ala Tyr Leu Cys Gly Val Lys Ala Asn Glu Gly Thr Val 115 120 125
- Gly Val Ser Ala Ala Thr Glu Arg Ser Arg Cys Asn Thr Thr Gln Gly 130 140
- Asn Glu Val Thr Ser Ile Leu Arg Trp Ala Lys Asp Ala Gly Lys Ser 145 150 155 160
- Val Gly Ile Val Thr Thr Thr Arg Val Asn His Ala Thr Pro Ser Ala 165 170 175
- Ala Tyr Ala His Ser Ala Asp Arg Asp Trp Tyr Ser Asp Asn Glu Met 180 185 190

Pro Pro Glu Ala Leu Ser Gln Gly Cys Lys Asp Ile Ala Tyr Gln Leu

		19	5				20	0				20	5		
Met	His 210		n Ile	e Ar	g Asp	215		o Va	1 11	e Me	t Gl:		y Gl	y Ar	g Ly
Tyr 225		Ту	r Pro	Ly:	230		Th:	c Ası	p Va	1 G1: 23	u T y:	Gl:	u Se	r Ası	240
Lys	Ala	Arq	Gl _y	7 Thi 245		Leu	ı Asp	Gly	y Let 250		p Let	ı Val	l Ası	255	
Lys	Ser	Phe	260		Arg	.Tyr	Lys	His 265		r His	s Phe	: Ile	270		n Arç
Thr	Glu	Lev 275		Thr	Leu	Asp	Pro 280		Asr	n Val	l Asp	Tyr 285		Leu	Gly
Leu	Phe 290		Pro	Gly	Asp	Met 295		Tyr	Glu	Leu	300		, Asn	Asn	Val
Thr 305	-	Pro	Ser	Leu	Ser 310		Met	Val	Val	Val 315	Ala	Ile	Gln	Ile	Leu 320
Arg	Lys	Asn	Pro	Lys 325		Phe	Phe	Leu	Leu 330		Glu	Gly	Gly	Arg 335	
Asp	His	Gly	His 340	His	Glu	Gly	Lys	Ala 345	-	Gln	Ala	Leu	His 350		Ala
Val	Glu	Met 355	Asp	Arg	Ala	Ile	Gly 360	Gln	Ala	Gly	Ser	Leu 365	Thr	Ser	Ser
Glu	Asp 370	Thr	Leu	Thr	Val	Val 375	Thr	Ala	Asp	His	Ser 380	His	Val	Phe	Thr
Phe 385	Gly	Gly	Tyr	Thr	Pro 390	Arg	Gly	Asn	Ser	Ile 395	Phe	Gly	Leu	Ala	Pro 400
Met	Leu	Ser	Asp	Thr 405	Asp	Lys	Lys	Pro	Phe 410	Thr	Ala	Ile	Leu	Tyr 415	Gly
Asn	Gly	Pro	Gly 420	Tyr	Lys	Val	Val	Gly 425	Gly	Glu	Arg	Glu	Asn 430	Val	Ser

Met Val Asp Tyr Ala His Asn Asn Tyr Gln Ala Gln Ser Ala Val Pro

				435					440					445			
		Leu	Arg 450		Glu	Thr	His	Gly 455	Gly	Glu	Asp	Val	Ala 460	Val	Phe	Ser	Lys
		Gly 465	Pro	Met	Ala	His	Leu 470	Leu	His	Gly	Val	His 475	Glu	Gln	Asn	Tyr	Val 480
		Pro	His	Val	Met	Ala 485	Туг	Ala	Ala	Суѕ	Ile 490	Gly	Ala	Asn	Leu	Gly 495	His
		Cys	Ala	Pro	Ala 500	Ser	Ser	Asp	Asp	Asp 505	Asp	Asp	Asp	Asp	Asp 510	Asp	Asp
5	<210> 9 <211> 25 <212> ADN <213> Artificia	al															
40	<220> <223> Oligoni	ucleót	ido														
10	<400> 9 gatccgatga cg	atgac	gat ga	acgc													25
15	<210> 10 <211> 25 <212> ADN <213> Artificial																
20	<220> <223> Oligon	ucleót	ido														
	<400> 10 ggccgcgtca tc	gtcato	gt cat	tcg													25
25	<210> 11 <211> 37 <212> ADN <213> Artificia	al															
30	<220> <223> Oligoni	ucleót	ido														
35	<400> 11 gatccgatga cg	atgac	gat ga	acgato	gacg a	atgaco	gc										37
30	<210> 12 <211> 37 <212> ADN <213> Artificia	al															
40	<220> <223> Oligoni	ucleót	ido														

	<400> 12 ggccgcgtca tcgtcatcgt catcgtcatc gtcatcg	37
5	<210> 13 <211> 55 <212> ADN <213> Artificial	
10	<220> <223> Oligonucleótido	
	<400> 13 gatccgatga cgatgacgat gacgatgacg atgacgatga cgatgacgat gacgc	55
15	<210> 14 <211> 55 <212> ADN <213> Artificial	
20	<220> <223> Oligonucleótido	
25	<400> 14 ggccgcgtca tcgtcatcgt catcgtcatc gtcatcgtca tcgtcatcgt catcg	55
	<210> 15 <211> 61 <212> ADN <213> Artificial	
30	<220> <223> Oligonucleótido	
35	<400> 15 gatccgatga cagtagtgag tcatctgaca gtggcagttc aagtgagagc gatggtgacg	60
	C	61
40	<210> 16 <211> 61 <212> ADN <213> Artificial	
45	<220> <223> Oligonucleótido	
	<400> 16 ggccgcgtca ccatcgctct cacttgaact gccactgtca gatgactcac tactgtcatc	60
50	g	61
55	<210> 17 <211> 52 <212> ADN <213> Artificial	
	<220> <223> Oligonucleótido	
60	<400 \ 17	

	gatccgattc atctgaagag aaattttttgc gtagaattgg aagattcggt gc	52
5	<210> 18 <211> 55 <212> ADN <213> Artificial	
10	<220> <223> Oligonucleótido <400> 18 ggccgcaccg aatcttccaa ttctacgcaa aaatttctct tcagatgaat cg	52
15	<210> 19 <211> 58 <212> ADN <213> Artificial	
20	<220> <223> Oligonucleótido	
	<400> 19 gatcctgtta tgaatcacat gaaagcatgg aatcttatga acttaatccc ttcattgc	58
25	<210> 20 <211> 58 <212> ADN <213> Artificial	
30	<220> <223> Oligonucleótido	
35	<400> 20 ggccgcaatg aagggattaa gttcataaga ttccatgctt tcatgtgatt cataacag	58
	<210> 21 <211> 46 <212> ADN <213> Artificial	
40	<220> <223> Oligonucleótido	
45	<400> 21 gatcccagaa tgctgtgtcc tctgaagaaa ccaatgactt taaagc	46
50	<210> 22 <211> 46 <212> ADN <213> Artificial	
	<220> <223> Oligonucleótido	
55	<400> 22 ggccgcttta aagtcattgg tttcttcaga ggacacagca ttctgg	46
60	<210> 23 <211> 64 <212> ADN	

	<213> Artificial	
_	<220> <223> Oligonucleótido	
5	<400> 23 gatccggcag tagtgactca tccgaagaaa atggagatga cagttcagaa gaggaggagg	60
10	aagc	64
	<210> 24 <211> 64 <212> ADN <213> Artificial	
15	<220> <223> Oligonucleótido	
20	<400> 24 ggccgcttcc tcctcctctt ctgaactgtc atctccattt tcttcggatg agtcactact	60
	gccg	64
25	<210> 25 <211> 61 <212> ADN <213> Artificial	
30	<220> <223> Oligonucleótido	
	<400> 25 gatcccgcaa aggattctac aagagaaagc agtgcaaacc ttcccgtggc cgcaagcgtg	60
35	c	61
40	<210> 26 <211> 61 <212> ADN <213> Artificial	
	<220> <223> Oligonucleótido	
45	<400> 26 ggccgcacgc ttgcggccac gggaaggttt gcactgcttt ctcttgtaga atcctttgcg	60
	g	61
50	<210> 27 <211> 32 <212> ADN <213> Artificial	
55	<220> <223> Oligonucleótido	
60	<400> 27 agtcgggatc cggaacaagc agcgtgttct ac	32

```
<210> 28
   <211>39
   <212> ADN
   <213> Artificial
   <220>
   <223> Oligonucleótido
   <400> 28
10 agatcgcggc cgctcaattg tgcacggtgt gattaaagg
                                                                                            39
   <210> 29
   <211>36
   <212> ADN
15 <213> Artificial
   <220>
   <223> Oligonucleótido
20 <400> 29
   ccggagatga cgatgacgat gacgatgacg atgact
                                                                                            36
   <210> 30
   <211>36
25 <212> ADN
   <213> Artificial
   <220>
   <223> Oligonucleótido
30
   <400> 30
                                                                                            36
   tctactgcta ctgctactgc tactgctact gaggcc
   <210> 31
35 <211> 18
   <212> PRT
   <213> Artificial
   <220>
40 <223> Fragmento humano de MEPE
   <400> 31
    Asp Asp Ser Ser Glu Ser Ser Asp Ser Gly Ser Ser Ser Glu Ser Asp
                                         10
    Gly Asp
45 <210> 32
   <211> 15
   <212> PRT
   <213> Artificial
50 <220>
   <223> Fragmento humano de estaterina
   <400> 32
    Asp Ser Ser Glu Glu Lys Phe Leu Arg Arg Ile Gly Arg Phe Gly
                                           10
55
```

```
<210> 33
   <211> 17
   <212> PRT
   <213> Artificial
   <220>
   <223> Fragmento humano de MGP
   <400> 33
   Cys Tyr Glu Ser His Glu Ser Met Glu Ser Tyr Glu Leu Asn Pro Phe
                                        10
10
   Ile
   <210> 34
   <211> 13
15 <212> PRT
   <213> Artificial
   <220>
   <223> Fragmento humano de OPN
20
   <400> 34
   Gln Asn Ala Val Ser Ser Glu Glu Thr Asn Asp Phe Lys
   <210> 35
25 <211> 18
   <212> PRT
   <213> Artificial
   <220>
30 <223> Fragmento humano de BSP2
   <400> 35
   Gly Ser Ser Asp Ser Ser Glu Glu Asn Gly Asp Asp Ser Ser Glu Glu
   Glu Glu
35 <210> 36
   <211> 18
   <212> PRT
   <213> Artificial
40 <220>
   <223> Fragmento humano de IGFBP5
   <400> 36
   Arg Lys Gly Phe Tyr Lys Arg Lys Gln Cys Lys Pro Ser Arg Gly Arg
   Lys Arg
45
   <210> 37
   <211> 151
   <212> PRT
```

```
<213> Artificial
   <220>
   <223> Dominio de unión a colágeno de adhesina de colágeno de staphilococcus aureus M81736
    Gly Thr Ser Ser Val Phe Tyr Tyr Lys Thr Gly Asp Met Leu Pro Glu
    Asp Thr Thr His Val Arg Trp Phe Leu Asn Ile Asn Asn Glu Lys Ser
    Tyr Val Ser Lys Asp Ile Thr Ile Lys Asp Gln Ile Gln Gly Gly Gln
    Gln Leu Asp Leu Ser Thr Leu Asn Ile Asn Val Thr Gly Thr His Ser
    Asn Tyr Tyr Ser Gly Gln Ser Ala Ile Thr Asp Phe Glu Lys Ala Phe 65 70 75 80
    Pro Gly Ser Lys Ile Thr Val Asp Asn Thr Lys Asn Thr Ile Asp Val
    Thr Ile Pro Gln Gly Tyr Gly Ser Tyr Asn Ser Phe Ser Ile Asn Tyr
                                     105
    Lys Thr Lys Ile Thr Asn Glu Gln Gln Lys Glu Phe Val Asn Asn Ser
   Gln Ala Trp Tyr Gln Glu His Gly Lys Glu Glu Val Asn Gly Lys Ser
   Phe Asn His Thr Val His Asn
   145
   <210> 38
10 <211>41
   <212> ADN
   <213> Artificial
   <220>
15 <223> Cebador de oligonucleótidos
   cagtcaaggt ctcttatccg gaagtctcca agctaaacag g
                                                                                           41
20 <210>39
   <211>41
   <212> ADN
   <213> Artificial
25 <220>
   <223> Cebador de oligonucleótidos
   <400>39
```

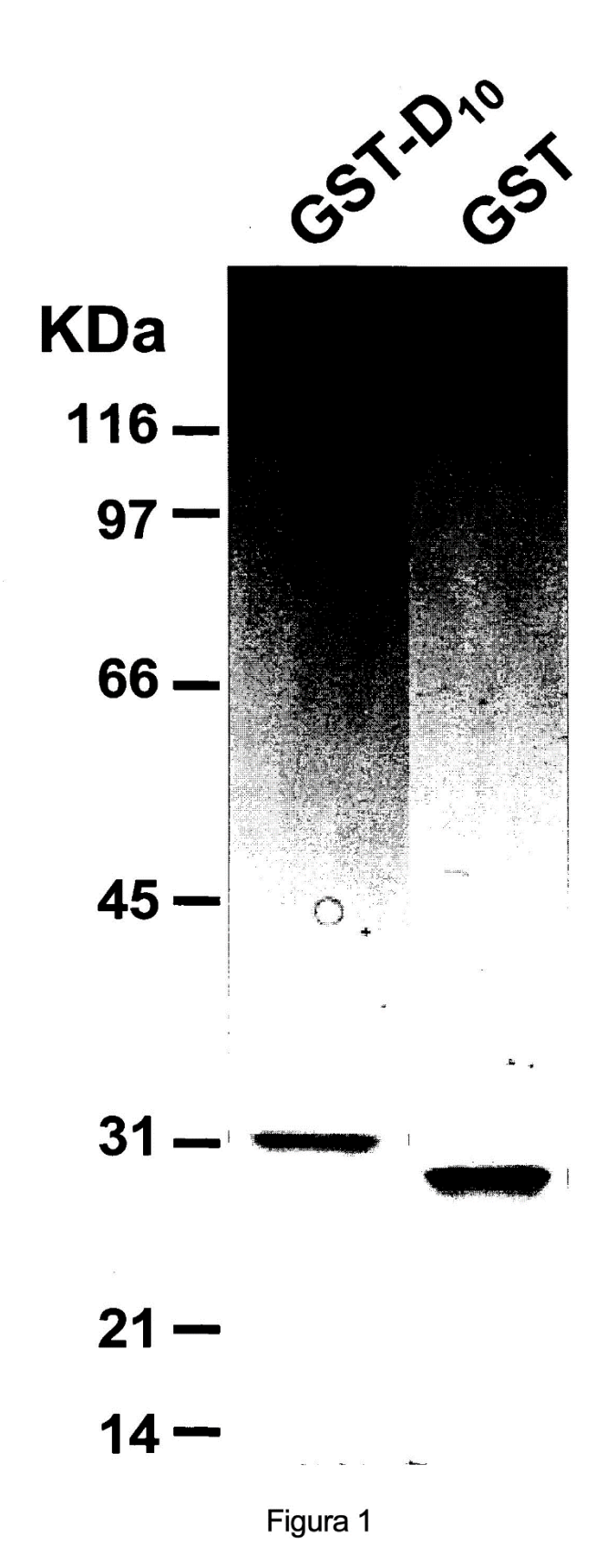
	ctgtttagct tggagacttc cggataagag accttgactg g	41
5	<210> 40 <211> 25 <212> ADN <213> Artificial	
10	<220> <223> Cebador de oligonucleótidos	
10	<400> 40 gataaagcag gtcttggggt gcacc	25
15	<210> 41 <211> 25 <212> ADN <213> Artificial	
20	<220> <223> Cebador de oligonucleótidos	
	<400> 41 gttggcatct gtcacgggct tgtgg	25
25	<210> 42 <211> 32 <212> ADN <213> Artificial	
30	<220> <223> Cebador de oligonucleótidos	
35	<400> 42 tggatccacc atgatttcac cattcttagt ac	32
	<210> 43 <211> 35 <212> ADN <213> Artificial	
40	<220> <223> Cebador de oligonucleótidos	
45	<400> 43 ttctagacta cgagctggca ggagcacagt ggccg	35
50	<210> 44 <211> 65 <212> ADN <213> Artificial	
	<220> <223> Cebador de oligonucleótidos	
55	<400> 44 ttctagacta gtcgtcatca tcgtcatcat cgtcgtcatc cgagctggca ggagcacagt	60
	ggccg	65

REIVINDICACIONES

- 1. Una molécula de ácido nucleico aislada que comprende una secuencia de polinucleótidos seleccionada del grupo que consiste en:
- 5 a. Un polinucleótido que comprende la secuencia de nucleótidos como se presenta en la SEQ ID NO: 7;
 - b. Un polinucleótido codificante de un polipéptido que comprende una secuencia de aminoácidos como se presenta en la SEQ ID NO: 8;
 - c. Una secuencia de nucleótidos completamente complementaria con cualquiera de las secuencias de nucleótidos en a) o b); y
- 10 d. Una secuencia de nucleótidos que se puede hibridar en condiciones de rigurosidad elevada con la secuencia de nucleótidos en c), donde las condiciones de rigurosidad alta comprenden: prehibridación e hibridación en 6 x SSC, 5 x reactivo de Denhardt, SDS al 0,5 % y 100 mg/ml de ADN de esperma de salmón fragmentado desnaturalizado a 68 °C; y lavados en 2 x SSC y SDS al 0,5 % a temperatura ambiente durante 10 min; en 2 x SSC y SDS al 0,1 % a temperatura ambiente durante 10 min; y en 0,1 x SSC y SDS al 0,5 % a 65 °C tres veces durante 5 min; donde dicha
- 15 molécula de ácido nucleico codifica una fosfatasa alcalina soluble activa que comprende en el extremo C una secuencia de poliaspartato D_n, donde n=10 a 16.
- 2. Una molécula de ácido nucleico aislada de acuerdo con la reivindicación 1 que comprende una secuencia de polinucleótidos codificante de la fosfatasa alcalina soluble activa que comprende en el extremo C una 20 secuencia de poliaspartato D₁₀(sALP- D₁₀).
 - 3. Un vector recombinante que comprende una secuencia de nucleótidos aislada de acuerdo con las reivindicaciones 1 o 2.
- 25 4. Una célula hospedadora recombinante que comprende el vector recombinante de acuerdo con la reivindicación 3.
 - 5. El vector recombinante de acuerdo con la reivindicación 3, que es pCDNA3-RSV-sALP-D₁₀-NEO, donde dicho sALP-D₁₀ tiene la secuencia de nucleótidos como se presenta en SEQ ID NO: 7.
 - 6. Una célula hospedadora recombinante que comprende el vector recombinante de la reivindicación 5, donde la célula hospedadora es una célula HEK293.
- 7. La molécula de ácido nucleico aislada de acuerdo con la reivindicación 1, donde el polipéptido en b) es 35 la fosfatasa alcalina soluble que comprende en el extremo C una secuencia de poliaspartato D₁₀(sALP-D₁₀).

30

- 8. La molécula de ácido nucleico aislada de acuerdo con la reivindicación 1, donde la fosfatasa alcalina soluble activa disminuye los niveles de PPi extracelulares.
- 40 9. La molécula de ácido nucleico aislada de acuerdo con la reivindicación 1, donde la fosfatasa alcalina soluble activa es una fosfatasa alcalina biológicamente activa.



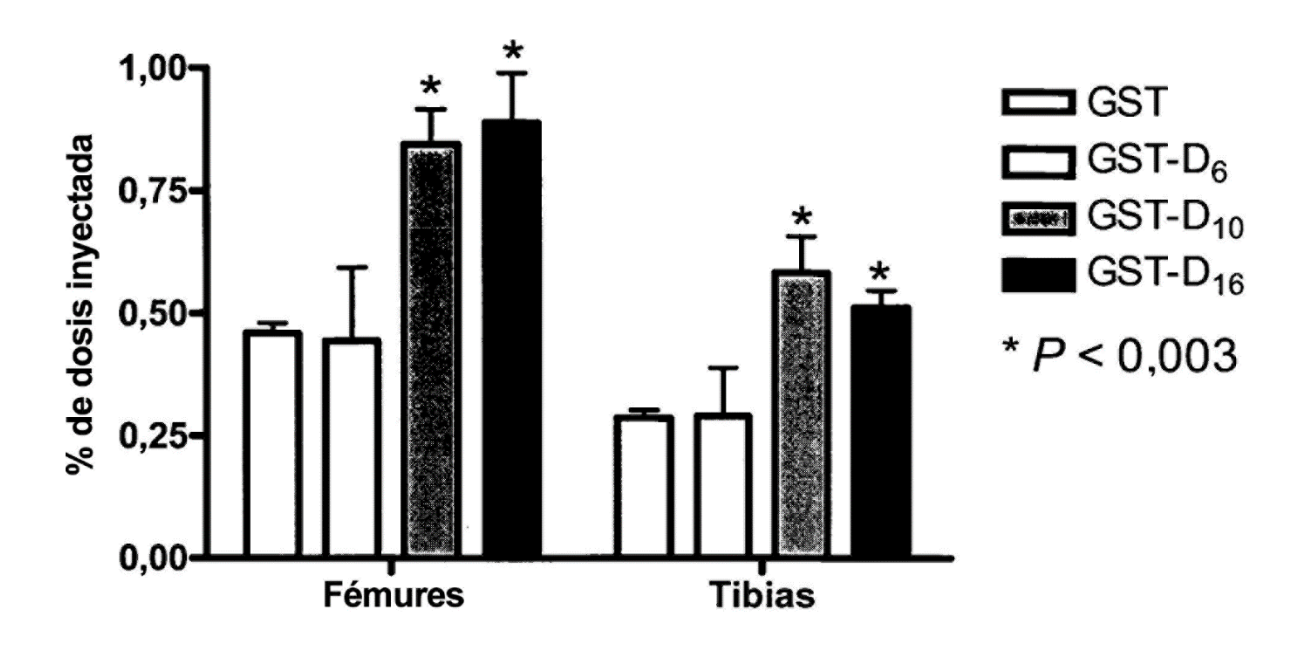


Figura 2

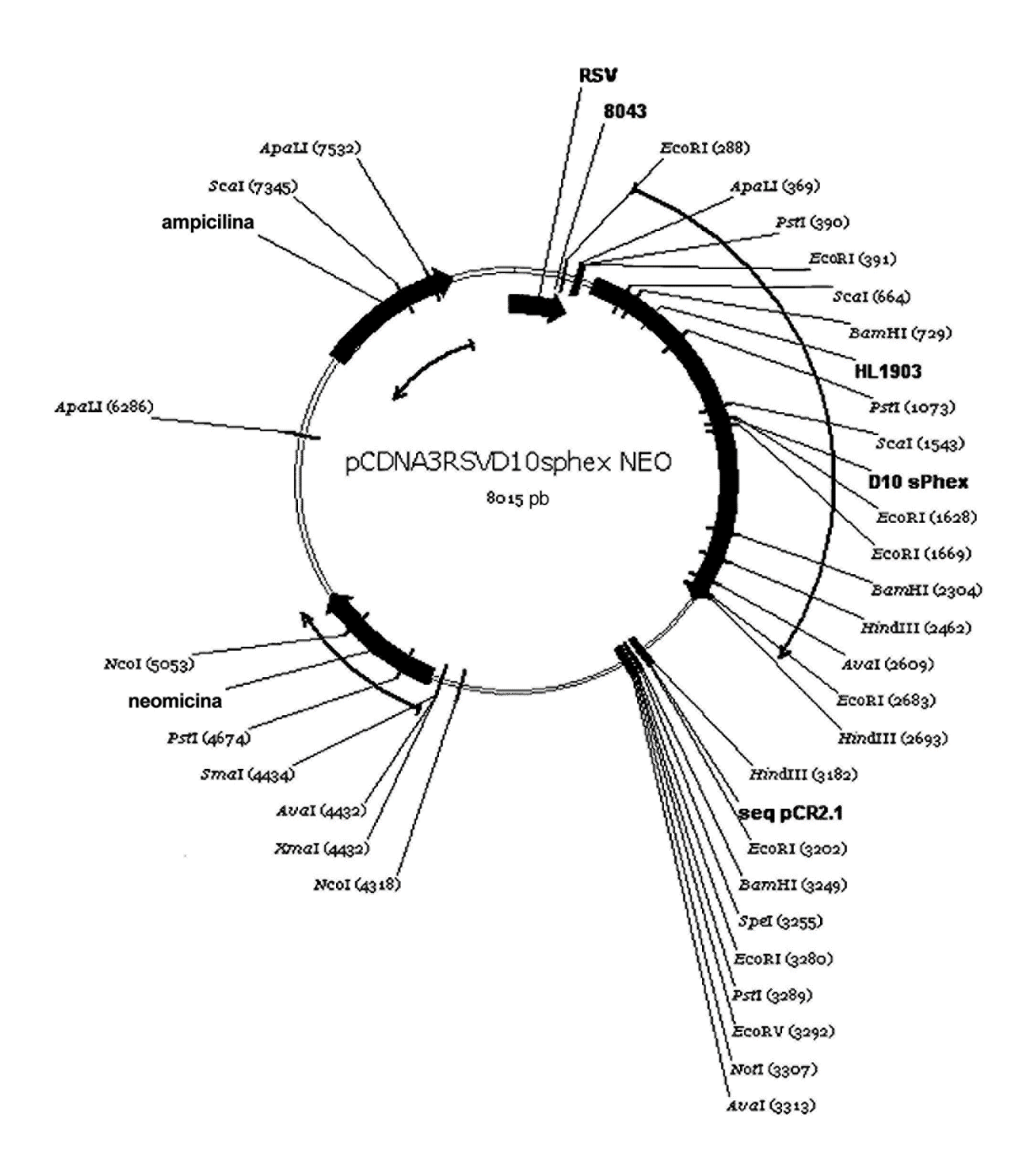
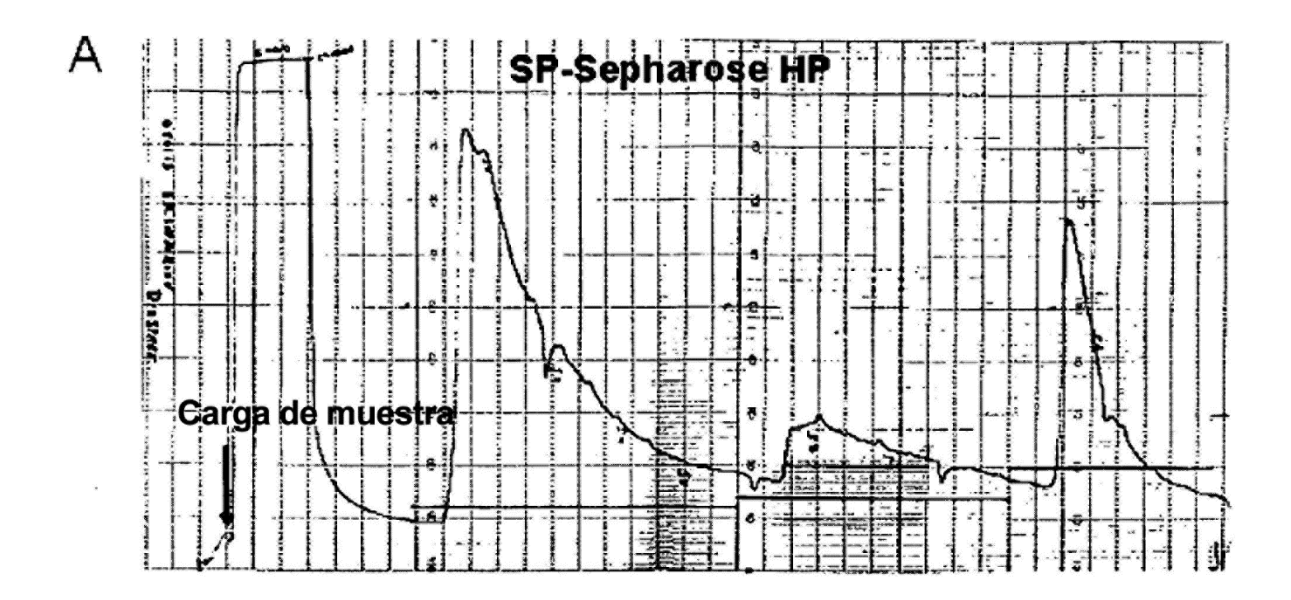


Figura 3



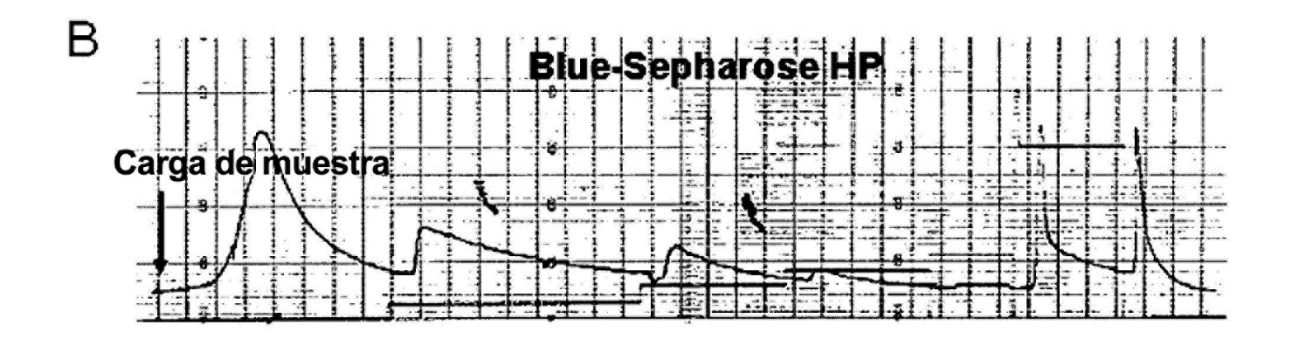


Figura 4

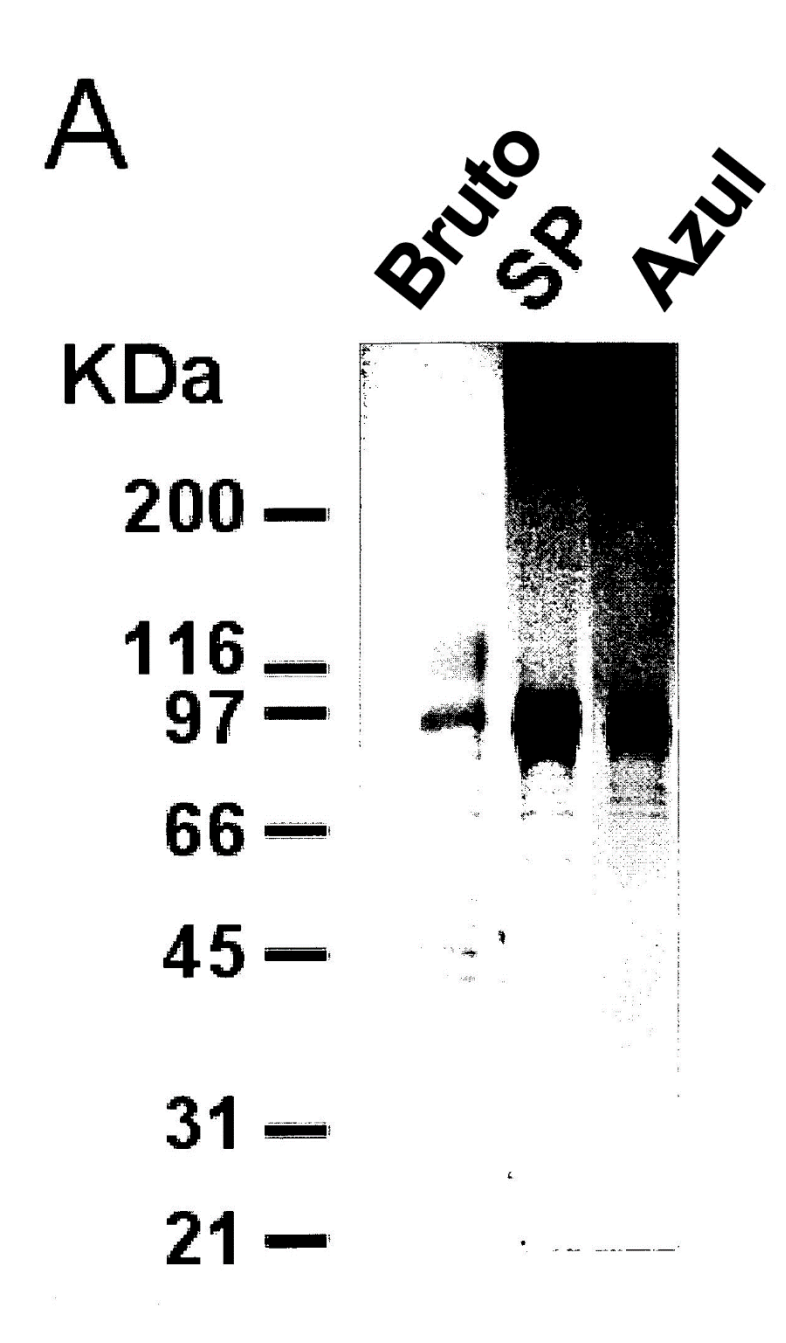


Figura 5

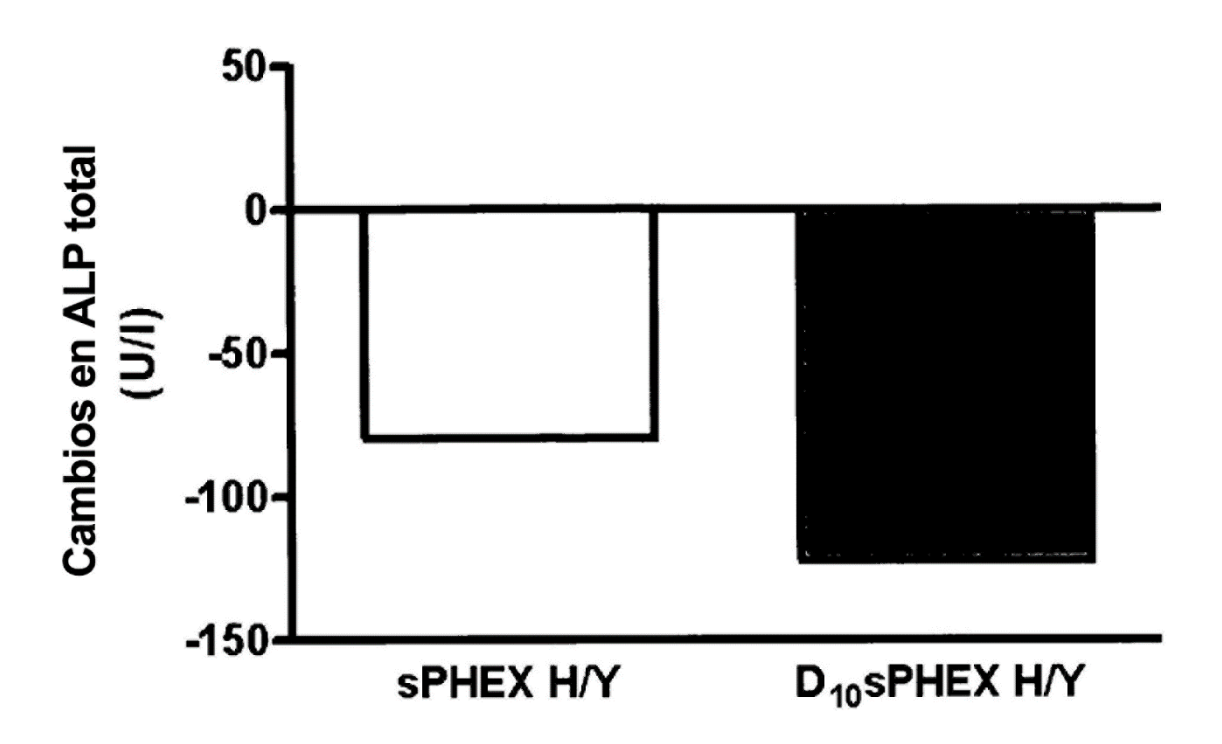


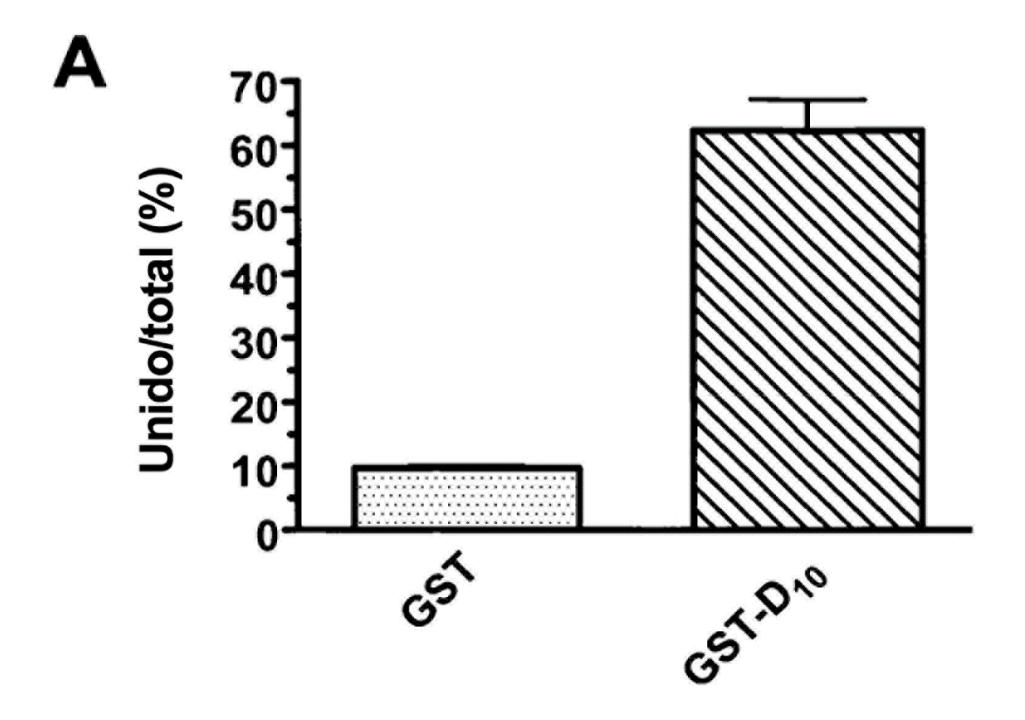
Figura 6

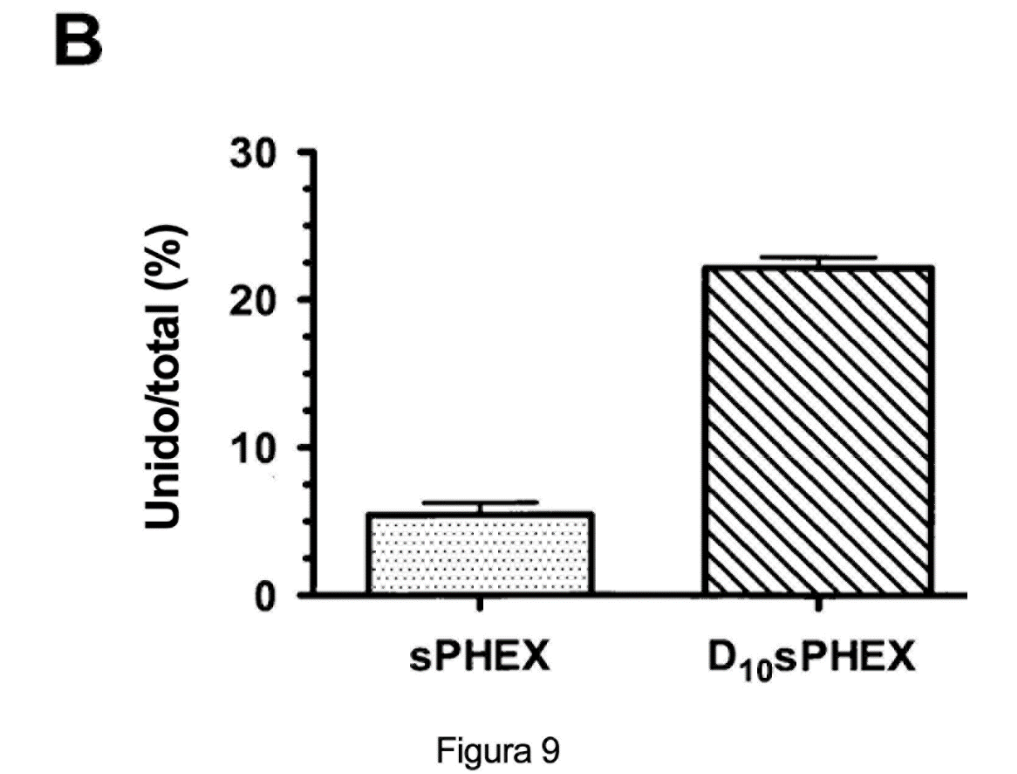
atggaagcagaaacagggagcagcgtggagactggaaagaaggccaacagaggcac tcgaattgccctggtcgtgtttgtcctgacagtgatcgctcaacaacaaccagtc aaggtctcttatccggagatgacgatgacgatgacgatgactccggaagt ctccaagctaaacaggagtactgcctgaagccagaatgcatcgaagcggctgctgc catcttaagtaaagtaaatctgtctgtggatccttgtgataatttcttccggttcg cttgtgatggctggataagcaataatccaattcccgaagatatgccaagctatggg gtttatccttggctgagacataatgttgacctcaagttgaaggaacttttggagaa atcaatcagtagaaggcgggacaccgaagccatacagaaagccaaaatcctttatt catcctgcatgaatgagaaagcgattgaaaaagcagatgccaagccactgctacac atcctacggcattcacctttccgctggcccgtgcttgaatctaatattggccctga aggggtttggtcagagagaaagttcagccttctgcagacacttgcaacgtttcgtg gtcaatacagcaattctgtgttcatccgtttgtatgtgtcccctgatgacaaagca tccaatgaacatatcttgaagctggaccaagcaacactctccctggccgtgaggga agactaccttgataacagtacagaagccaagtcttatcgggatgccctttacaagt tcatggtggatactgccgtgcttttaggagctaacagttccagagcagagcatgac atgaagtcagtgctcagattggaaattaagatagctgagataatgattccacatga aaaccgaaccagcgaggccatgtacaacaaaatgaacatttctgaactgagtgcta tgattccccagttcgactggctgggctacatcaagaaggtcattgacaccagactc tacccccatctgaaagacatcagcccctccgagaatgtggtggtccgcgtcccgca actatttggtgtggagaatggtttattccagaattccaaaccttagcaggcgcttt cagtatagatggctggaattctcaagggtaatccaggggaccacaactttgctgcc agatgtttgtagatgtgtacttccaggaagataagaaggaaatgatggaggaattg ggatgcaggaacgaaaaggaaagccaaagaaaaggcgagagctgtttttggcaaaag ttggctatccagagtttataatgaatgatactcatgttaatgaagacctcaaagct atcaagttttcagaagccgactactttggcaacgtcctacaaactcgcaagtattt agcacagtctgatttcttctggctaagaaaagccgttccaaaaacagagtggttta ccagcaggagagctccagaagcctttcttttggggaacagaatatcctcgatctct gagttatggtgctataggagtaattgtcggacatgaatttacacatggatttgata ataatggtagaaaatatgataaaaatggaaacctggatccttggtggtctactgaa tcagaagaaaagtttaaggaaaaaacaaaatgcatgattaaccagtatagcaacta ttattggaagaaagctggcttaaatgtcaaggggaagaggaccctgggagaaaata ttgctgataatggaggcctgcgggaagcttttaggggcttacaggaaatggataaat gacagaaggcagggacttgaggagcctcttctaccaggcatcacattcaccaacaa ccagctcttcttcctgagttatgctcatgtgaggtgcaattcctacagaccagaag ctgcccgagaacaagtccaaattggtgctcacagtccccctcagtttagggtcaat ggtgcaattagtaactttgaagaattccagaaagcttttaactgtccacccaattc cacgatgaacagaggcatggactcctgccgactctggtag

Figura 7

MEAETGSSVETGKKANRGTRIALVVFVLTVIAQQTTSQGLLSGDDDDDDDDDDSGS
LQAKQEYCLKPECIEAAAAILSKVNLSVDPCDNFFRFACDGWISNNPIPEDMPSYG
VYPWLRHNVDLKLKELLEKSISRRRDTEAIQKAKILYSSCMNEKAIEKADAKPLLH
ILRHSPFRWPVLESNIGPEGVWSERKFSLLQTLATFRGQYSNSVFIRLYVSPDDKA
SNEHILKLDQATLSLAVREDYLDNSTEAKSYRDALYKFMVDTAVLLGANSSRAEHD
MKSVLRLEIKIAEIMIPHENRTSEAMYNKMNISELSAMIPQFDWLGYIKKVIDTRL
YPHLKDISPSENVVVRVPQYFKDLFRILGSERKKTIANYLVWRMVYSRIPNLSRRF
QYRWLEFSRVIQGTTTLLPQWDKCVNFIESALPYVVGKMFVDVYFQEDKKEMMEEL
VEGVRWAFIDMLEKENEWMDAGTKRKAKEKARAVLAKVGYPEFIMNDTHVNEDLKA
IKFSEADYFGNVLQTRKYLAQSDFFWLRKAVPKTEWFTNPTTVNAFYSASTNQIRF
PAGELQKPFFWGTEYPRSLSYGAIGVIVGHEFTHGFDNNGRKYDKNGNLDPWWSTE
SEEKFKEKTKCMINQYSNYYWKKAGLNVKGKRTLGENIADNGGLREAFRAYRKWIN
DRRQGLEEPLLPGITFTNNQLFFLSYAHVRCNSYRPEAAREQVQIGAHSPPQFRVN
GAISNFEEFQKAFNCPPNSTMNRGMDSCRLW

Figura 8





```
MEAETGSSVE TGKKANRGTR IALVVFVGGT LVLGTILFLV SQGLLSLQAK QEYCLKPECI EAAAAILSKV NLSVDPCDNF FRFACDGWIS NNPIPEDMPS YGVYPWLRHN VDLKLKELLE XSISRRRDTE AIQKAKILYS SCMNEKAIEK ADAKPLLHIL RHSPFRWPVL ESNIGPEGVW 181 SERKFSLLQT LATFRGQYSN SVFIRLYVSP DDKASNEHIL KLDQATLSLA VREDYLDNST LAKSYRDALY KFMVDTAVLL GANSSRAEHD MKSVLRLEIK IAEIMIPHEN RTSEAMYNKM 301 NISELSAMIP QFDWLGYIKK VIDTRLYPHL KDISPSENVV VRVPQYFKDL FRILGSERKK YILANYLVWRM VYSRIPNLSR RFQYRWLEFS RVIQGTTTLL PQWDKCVNFI ESALPYVVGK WFVDVYFQED KKEMMEELVE GVRWAFIDML EKENEWMDAG TKRKAKEKAR AVLAKVGYPE KYLAQSDFFW LRKAVPKTEW FTNPTTVNAF DLKAIKFSEA DYFGNVLQTR KYLAQSDFFW LRKAVPKTEW FTNPTTVNAF PAGELQKPFF WGTEYPRSLS YGAIGVIVGH EFTHGFDNNG RKYDKNGNLD RWSTESEEK FKEKTKCMIN QYSNYYWKKA GLNVKGKRTL GENIADNGGL REAFRAYRKW 661 INDRRQGLEE PLLPGITFTN NQLFFLSYAH VRCNSYRPEA AREQVQIGAH SPPQFRVNGA 721 ISNSEEFQKA FNCPPNSTMN RGMDSCRLW
```

Figura 10

SGDDDDDDDDSGSLQAKQEYCLKPECIEAAAAILSKVNLSVDPCDNFFRFACDG
WISNNPIPEDMPSYGVYPWLRHNVDLKLKELLEKSISRRRDTEAIQKAKILYSSCM
NEKAIEKADAKPLLHILRHSPFRWPVLESNIGPEGVWSERKFSLLQTLATFRGQYS
NSVFIRLYVSPDDKASNEHILKLDQATLSLAVREDYLDNSTEAKSYRDALYKFMVD
TAVLLGANSSRAEHDMKSVLRLEIKIAEIMIPHENRTSEAMYNKMNISELSAMIPQ
FDWLGYIKKVIDTRLYPHLKDISPSENVVVRVPQYFKDLFRILGSERKKTIANYLV
WRMVYSRIPNLSRRFQYRWLEFSRVIQGTTTLLPQWDKCVNFIESALPYVVGKMFV
DVYFQEDKKEMMEELVEGVRWAFIDMLEKENEWMDAGTKRKAKEKARAVLAKVGYP
EFIMNDTHVNEDLKAIKFSEADYFGNVLQTRKYLAQSDFFWLRKAVPKTEWFTNPT
TVNAFYSASTNQIRFPAGELQKPFFWGTEYPRSLSYGAIGVIVGHEFTHGFDNNGR
KYDKNGNLDPWWSTESEEKFKEKTKCMINQYSNYYWKKAGLNVKGKRTLGENIADN
GGLREAFRAYRKWINDRRQGLEEPLLPGITFTNNQLFFLSYAHVRCNSYRPEAARE
QVQIGAHSPPQFRVNGAISNFEEFQKAFNCPPNSTMNRGMDSCRLW

Figura 11

	Construcción de proteína	Actividad específica (UAF/seg/μg)	Representación esquemática
1	sPHEX	12,3	SLQAK
2	Fc-sPHEX	5,75	TSDKTH. SLQAK
3	pCDNA3-RSV-NL1 furina-sPHEX	N/A	SVSLQAK
4	D ₁₀ sPHEX	12,0	SGDDDDDDDDDDSGSLQAK
5	D ₆ sPHEX	8,55	SDDDDDDYVSLQAK

: Representa el dominio transmembrana mutado de PHEX

: Representa el péptido señal de IgG1 humano

Representa la bisagra de dominios de cadena pesada de IgG1 humano, CH2 y CH3

: Secuencia de extremo N 1 con el sitio de escisión de furina (RTVVKR|SV).

: Sitio de escisión de furina

Sitio de escisión de señal de peptidasa

Figura 12

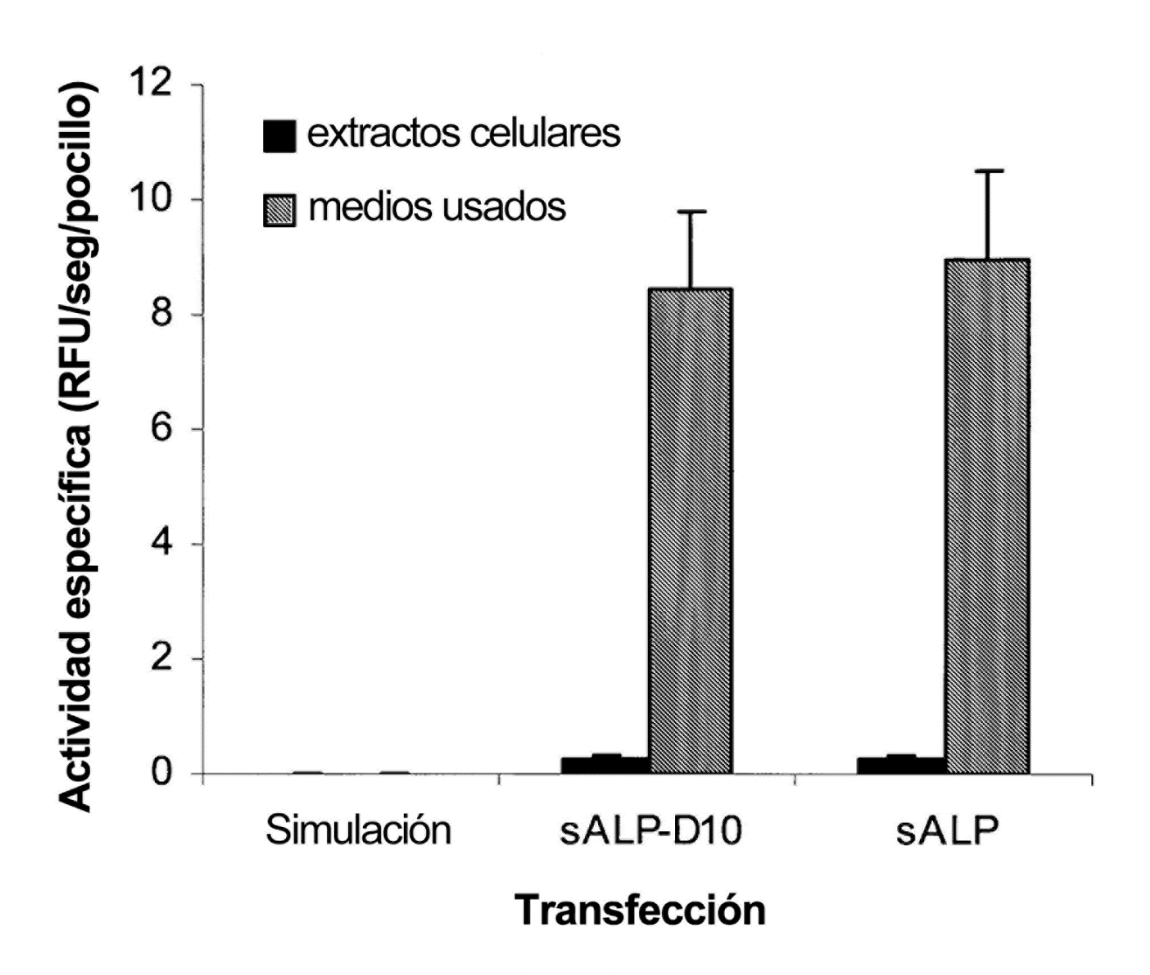
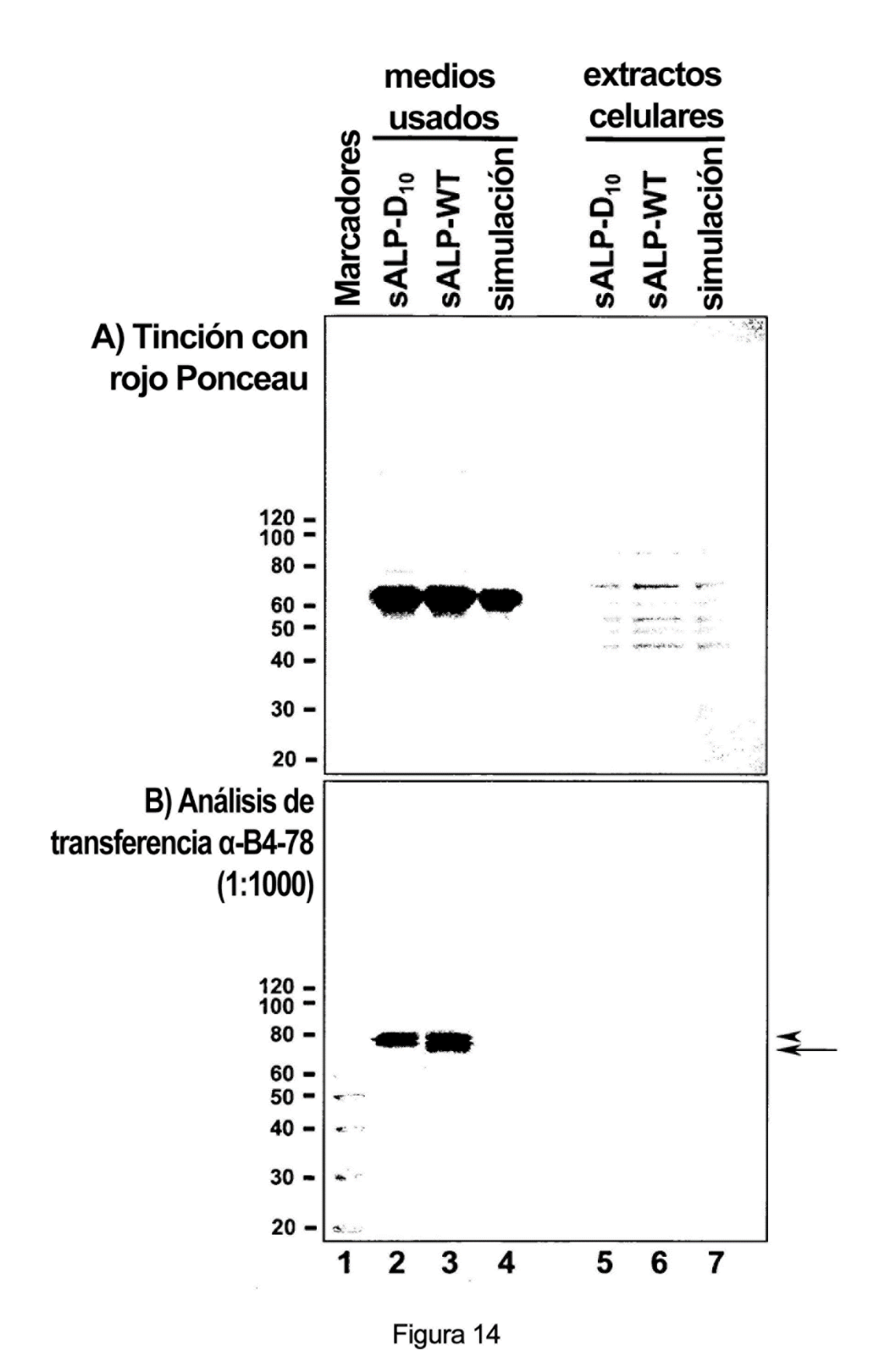


Figura 13



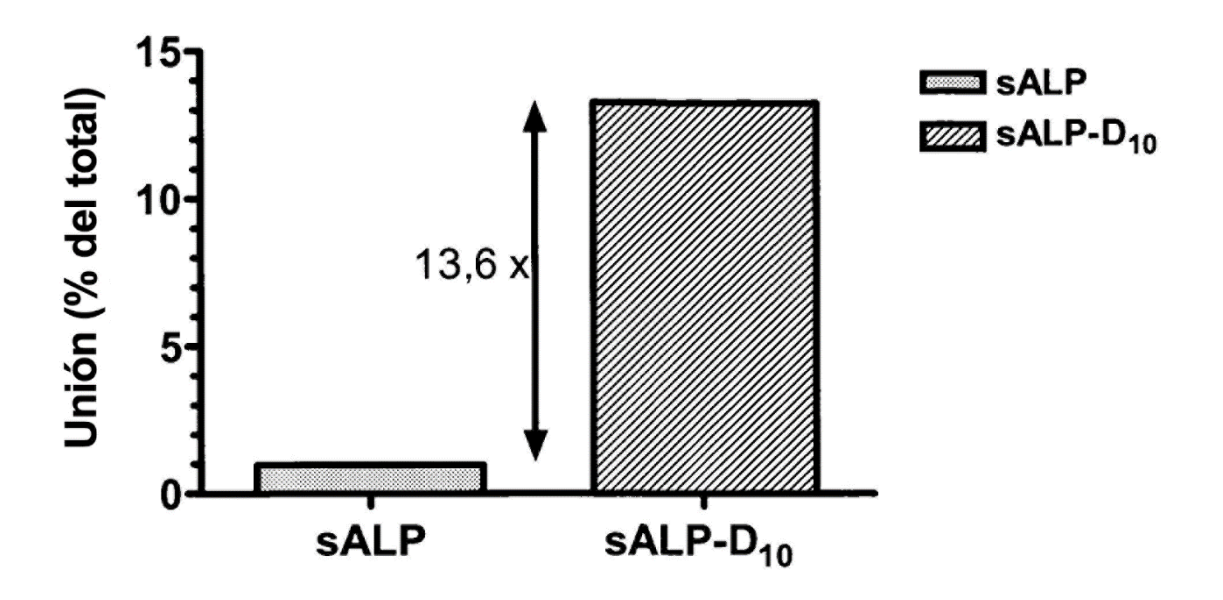


Figura 15

Α							
	BamHI						
	~~~~~						
1			ATTCTTAGTA	control to the territory and the same and the same			
71			TACTGGCGAG				
141			CTAAGAATGT				
211			GGGTCAGCTC				
281			TCCAAGACGT				
351			TGAAGGCCAA				
421			GAACGAGGTC				
491			AGAGTGAACC				
561			AGATGCCCCC				
631			CATTGACGTG				
701			AGTGACGAGA				
771			CGAGATACAA				
841			CTACCTATTG				
911			TCACTCTCCG				
981			TGGAAGGAGG	The state of the s			
1051	the contract of the contract o		GATGGACCGG				
1121			GACCATTCCC				
1191			TGCTGAGTGA	,,,,,,,,,,,			
1261			GGGCGGTGAA				
1331			CCCCTGCGCC				
1401	GGGCCCCATG	GCGCACCTGC	TGCACGGCGT	CCACGAGCAG			GGCGTATGCA
					-	oaI	
21222						m. a.	
1471	GCCTGCATCG	GGGCCAACCT	CGGCCACTGT	GCTCCTGCCA	GCTCGTAGTC	TAGA	
В							
1			EKEKDPKYWR				
51			RILKGQLHHN				
101	YNTNAQVPDS	AGTATAYLCG	VKANEGTVGV	SAATERSRCN	TTQGNEVTSI		
151	LRWAKDAGKS	VGIVTTTRVN	HATPSAAYAH	SADRDWYSDN	EMPPEALSQG		
201	CKDIAYQLMH	NIRDIDVIMG	GGRKYMYPKN	KTDVEYESDE	KARGTRLDGL		
251	DLVDTWKSFK	PRYKHSHFIW	NRTELLTLDP	HNVDYLLGLF	EPGDMQYELN		
301			RKNPKGFFLL				
351			TLTVVTADHS				
401			YKVVGGEREN				
451		VFSKGPMAHL	LHGVHEQNYV	PHVMAYAACI	GANLGHCAPA		
501	SS						

Figura 16

#### Α BamHI GGATCCACCA TGATTTCACC ATTCTTAGTA CTGGCCATTG GCACCTGCCT TACTAACTCC TTAGTGCCAG 71 AGAAAGAGA AGACCCCAAG TACTGGCGAG ACCAAGCGCA AGAGACACTG AAATATGCCC TGGAGCTTCA GAAGCTCAAC ACCAACGTGG CTAAGAATGT CATCATGTTC CTGGGAGATG GGATGGGTGT CTCCACAGTG 141 ACGGCTGCCC GCATCCTCAA GGGTCAGCTC CACCACAACC CTGGGGAGGA GACCAGGCTG GAGATGGACA 281 AGTTCCCCTT CGTGGCCCTC TCCAAGACGT ACAACACCAA TGCCCAGGTC CCTGACAGCG CCGGCACCGC CACCGCCTAC CTGTGTGGGG TGAAGGCCAA TGAGGGCACC GTGGGGGTAA GCGCAGCCAC TGAGCGTTCC CGGTGCAACA CCACCCAGGG GAACGAGGTC ACCTCCATCC TGCGCTGGGC CAAGGACGCT GGGAAATCTG 351 421 TGGGCATTGT GACCACCACG AGAGTGAACC ATGCCACCCC CAGCGCCGCC TACGCCCACT CGGCTGACCG 491 GGACTGGTAC TCAGACAACG AGATGCCCCC TGAGGCCTTG AGCCAGGGCT GTAAGGACAT CGCCTACCAG 561 631 CTCATGCATA ACATCAGGGA CATTGACGTG ATCATGGGGG GTGGCCGGAA ATACATGTAC CCCAAGAATA 701 AAACTGATGT GGAGTATGAG AGTGACGAGA AAGCCAGGGG CACGAGGCTG GACGGCCTGG ACCTCGTTGA CACCTGGAAG AGCTTCAAAC CGAGATACAA GCACTCCCAC TTCATCTGGA ACCGCACGGA ACTCCTGACC 771 CTTGACCCC ACAATGTGGA CTACCTATTG GGTCTCTTCG AGCCAGGGGA CATGCAGTAC GAGCTGAACA 841 GGAACAACGT GACGGACCCG TCACTCTCCG AGATGGTGGT GGTGGCCATC CAGATCCTGC GGAAGAACCC 911 CAAAGGCTTC TTCTTGCTGG TGGAAGGAGG CAGAATTGAC CACGGGCACC ATGAAGGAAA AGCCAAGCAG 981 GCCCTGCATG AGGCGGTGGA GATGGACCGG GCCATCGGGC AGGCAGGCAG CTTGACCTCC TCGGAAGACA 1051 CTCTGACCGT GGTCACTGCG GACCATTCCC ACGTCTTCAC ATTTGGTGGA TACACCCCCC GTGGCAACTC 1121 1191 TATCTTTGGT CTGGCCCCCA TGCTGAGTGA CACAGACAAG AAGCCCTTCA CTGCCATCCT GTATGGCAAT GGGCCTGGCT ACAAGGTGGT GGGCGGTGAA CGAGAGAATG TCTCCATGGT GGACTATGCT CACAACAACT 1261 ACCAGGCGCA GTCTGCTGTG CCCCTGCGCC ACGAGACCCA CGGCGGGGAG GACGTGGCCG TCTTCTCCAA 1331 GGGCCCCATG GCGCACCTGC TGCACGGCGT CCACGAGCAG AACTACGTCC CCCACGTGAT GGCGTATGCA 1401 GCCTGCATCG GGGCCAACCT CGGCCACTGT GCTCCTGCCA GCTCGGATGA CGACGATGAT GACGATGATG 1471 XbaI 1541 ACGACTAGTC TAGA $\mathbf{B}$ MISPFLVLAI GTCLTNSLVP EKEKDPKYWR DQAQETLKYA LELQKLNTNV 1 AKNVIMFLGD GMGVSTVTAA RILKGQLHHN PGEETRLEMD KFPFVALSKT YNTNAQVPDS AGTATAYLCG VKANEGTVGV SAATERSRCN TTQGNEVTSI 101 LRWAKDAGKS VGIVTTTRVN HATPSAAYAH SADRDWYSDN EMPPEALSQG 151 CKDIAYQLMH NIRDIDVIMG GGRKYMYPKN KTDVEYESDE KARGTRLDGL 201 DLVDTWKSFK PRYKHSHFIW NRTELLTLDP HNVDYLLGLF EPGDMQYELN 251 RNNVTDPSLS EMVVVAIQIL RKNPKGFFLL VEGGRIDHGH HEGKAKQALH 301 351 EAVEMDRAIG QAGSLTSSED TLTVVTADHS HVFTFGGYTP RGNSIFGLAP MLSDTDKKPF TAILYGNGPG YKVVGGEREN VSMVDYAHNN YQAQSAVPLR 401 HETHGGEDVA VFSKGPMAHL LHGVHEONYV PHVMAYAACI GANLGHCAPA 451

Figura 17

501

SSDDDDDDDDD DD

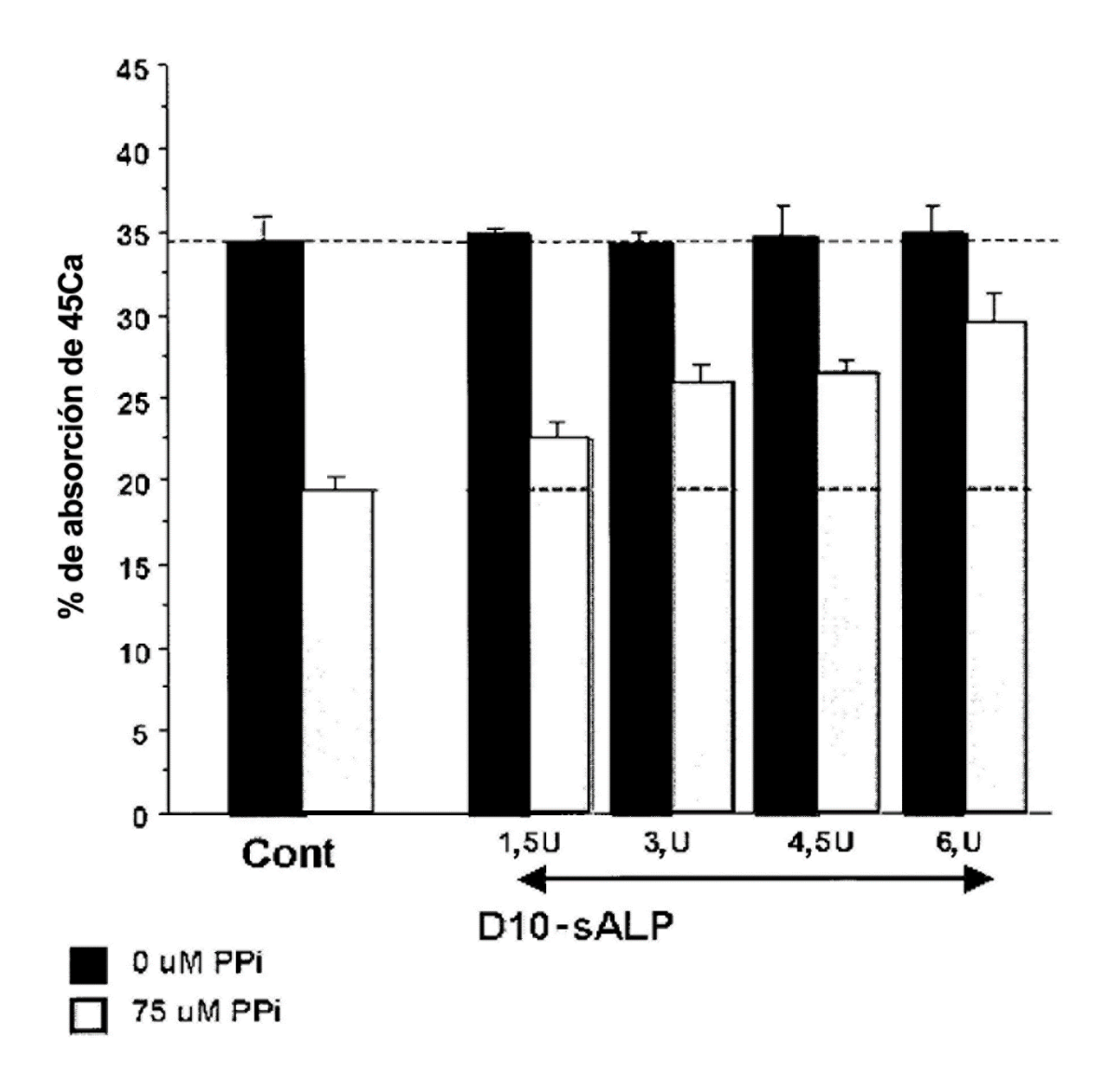


Figura 18